

Project 8: EWAL-UAV 2000
Electronic Warfare Air Launched
Unmanned Aerial Vehicle
פרויקט 8: מזל"ט לוחמה אלקטרונית משוגר
מהאוויר



17 במרץ 2001

תוכן עניינים

	1 מבוא	
4	1.1 מפרט טכני	1.1
4	1.2 תוכן הדוח	1.2
6	1.3 שיטת עבודה	1.3
6		
8	2 קונספט מבני וניתוח חזק של המבנה	
8	2.1 גוף המזל"ט	2.1
9	2.1.1 קונספט מבני של המזל"ט	2.1.1
14	2.1.2 אינסטלציה של הרכיבים הפנימיים	2.1.2
19	2.2 אנליזת מבנה כנף בשיטת אלמנטים סופיים	2.2
19	2.2.1 רקע תיאורטי	2.2.1
26	2.2.2 ניתוח תוצאות של האNALיזה	2.2.2
26		
31	3 צורת חיבור הכנפיים	
31	3.1 חיבור חד-צيري	3.1
31	3.2 חיבור דו-צيري	3.2
31	3.3 יתרונות וחסרונות של שיטות חיבור הכנפיים	3.3
33	3.4 מסקנה	3.4
34	3.5 תאור של אופן חיבור הכנף	3.5
34	3.5.1 השוואה בין שתי אופציות של חיבור הכנף	3.5.1
36	3.5.2 סיכום	3.5.2
36	3.6 תאור מפורט של חיבור הדו-צيري	3.6
36	3.6.1 חישוב עומסי חיבור הכנף - חיבור דו-צירי	3.6.1
41	3.6.2 חישוב כוח הגיר המתפלג על הכנף	3.6.2
44	3.7 מגנון פיתחת כנפיים	3.7
44	3.7.1 חישוב כוח הקפיצי לפיתחת הכנף ממצב סגור למצב פתוח	3.7.1
44		

49	תכנון מערכת בקרת טיסה	4
49	רקע תאורטי	4.1
49	динаміка, мішоаот тенуя шел мэзл"т:	4.1.1
50	питомае функції та місія аорківт і рохбійт	4.1.2
53	чоги бекрае уїкрайм	4.1.3
56	майдісм лекбіут аорайанція бемрхб лезорж ніют	4.1.4
60	Control system devices and MP-2000 (Full-Feature Autopilot)	4.2
60	თаор گلی	4.2.1
61	თаор տենі	4.2.2
61	մարկոտ բերա սկրійուտ	4.2.3
62	діаграма блокім	4.2.4
62	Installation	4.2.5
63	такно и знатн шел гебріи бекрае лбічоуміс оптимальім:	4.2.6
64	հսձր հմոմլա լեтакно гебріи մաշբ	4.2.7
64	փոզот տіса ըմսլու	4.2.8
66	майдісм	4.2.9
66	4.2.10 бхирет կонфігурасіт servos	4.2.10
70	מציאת מקדמים אווירודינמיים	4.3
70	4.3.1 নیتوخ اووירודינמי բամչուտ CFD	4.3.1
79		5 شתח ҳатк мс"м
79	մեօա	5.1
79	דרישות המזל"ט	5.2
81	سکریت ٿڪنیم ٻسيبيم له گڊلت شچ"م	5.3
81	پینوت ٿڙوڙا Corner Reflectors	5.3.1
83	عڊشوت لونبرگ Luneberg Lenses	5.3.2
86	ڪرتیسیم مگدیلی شچ"م Retro-reflector circuits	5.3.3
88	الهٿڪنیم شنڀھرو عبور ه - EWAL-UAV-2000	5.4
88	Lens Reflector	5.4.1
89	Retro-reflector circuits	5.4.2
92		6 نیتوخ علويوت
92	մեօա	6.1
92	چيسيوبيم	6.2
98		7 سیڪوم
100		8 تودوت

פרק 1

מבוא

פרויקט זה עוסק בתכנון מזל"ט שמטרתו היא הרויה אלكتروנית של השמיים לצורך הטעייה מערכות המכ"ם של האויב.

1.1 מפרט טכני

המזל"ט תוכנן לפי מפרט טכני להלן:

ממשק חיבור למוטוס נושא (F-16)

- חיבור של 10 מזל"טים ל- TER(Triple Ejector Rack F-16 ע"י
- חיבור ל-TER ע"טפסים 14 סטנדרטיים
- מרכז הכוח בהתאם לדרישות MIL STD
- מרוחחים וקוי קרקע בהתאם לדרישות MIL STD

שייגור

- שייגור ממוטוס נושא (F-16) מגבאים נמוכים וגובהים

מערכת בקרה

- יכולת טיסה אוטונומית עם מסלול מתוכנת ובקרה עצמית לדימוי מוטס מאוי-יש
- תכונות המסלול תוך 30 שניות
- תהיה באוויר 30 דקות

נתוני טיסה

- גובה טיסה $10000 - 30000 [ft]$
- מהירות שיגור עד $0.95 Mach$

יכולת תמרון

- מהלך תמרונים מתוכנת: פניות של $30^0, 45^0, 60^0$ לאורך 4-1 מיילים ימיים
- זמן תמרון: 12,60,120,180,240,300,360,420 שניות
- טווח מרבי של 76 מיילים ימיים ללא תמרון

חתימת מכ"ם

- הגברת חתימה אקטיבית/פסיבית להדמית מטוס קרב אמיתי

משקל מרבי

- 100[lb]

תחזוקתיות

- בדיקת תקינות תוך 15 שניות

יכולת נחיתה

- אין

מחיר מטרה

- \$ 20000 ליח' ביצור סידרתי

1.2 תוכן הדוח

דו"ח זה מכיל חלקים שעוסקים בנושאים הבאים:

1. בחירת אמצעי הגברה של חתימת מכ"ם
2. קונספט מבני וניתוח חזק של המבנה
3. צורה ומנגנון של פתיחת כנפים
4. תכנון מערכת הבקרה ובחרת המכשור למע' בקרה
5. חישוב מקדים אווירודינמיים
6. ניתוח עלויות תכנון וייצור

דוח זה אינו מכיל נושאים הבאים שמופיעים בדו"ח של סטטיסטיקה ראשונה של הפרויקט:

1. סקר תצורות
2. קביעת צורה גיאומטרית ומקום ראשון של מערכות
3. קביעת פרופילים אווירודינמיים של כנף ומשתחי זנב
4. בחירת מנוע
5. שיטת תלייה לRTOS נושא
6. מרוחחי תלייה ומרוחחי קרקע
7. תכנון דגם מנהרה

1.3 שיטת עבודה

עקב דרישת עיקרית למחיר נמוך כל נושא התחליל בסקר תצורות קיימות זה-הتبסס על תצורות של מוצרים קיימים המתאימים/קרובים לדרישות ספציפיות. במקרים הבאים נבחרו לשילוב במזל"ט שלנו מערכות קיימות בשוק:

1. מערכת בקרה משולבת עם טיס אוטומטי MP-2000
2. שלושת האופציות הנוחיות של המנוע למזל"ט שלנו הן מנועים קיימים בשוק

במהלך בחירת תצורה גיאומטרית nahתקבלה צורה דומה לצורה גיאומטרית של מזלת קיים MALD מתוצרת חברת Teledyne Ryan גם הוא משוגר אוירית.

במהלך הפרויקט שילבנו שיטות אנליטיות (לדוגמא: בדיקת חזק של גוף המזל"ט) ושיטות נומריות (חישובי חזק של הכנף וчисוב פרמטרים אווירודינמיים).

בסיום הפרויקט ביצענו הערכת עלויות של מרכיבים שונים של הפרויקט בשתי שיטות: שיטה אמפירית DAPCA-IV ועל סמך ניסיון קיים של מנהה הפרוייקט. בשלב זה נראה שמחיר מטרה סביר הינו כ-\$2500.

פרק 2

קונספט מבני וניתוח חזק של המבנה

בפרק זה נציג בקצרה את הקווים המנחים אשר בעורתם נגבש את הקונספט המבני של UAV 2000 תוך ניתוח חזק של המבנה. הניתוח יתחלק לשני חלקים:

1. תכנן מבני וניתוח חזק (בצורה אנגלית) של גוף המזל"ט
2. ניתוח חזק של הגוף באמצעות אלמנטים סופיים

2.1 גוף המזל"ט

מבנה המזל"ט מיועד בראש ובראשוונה לשאת את המטען המועיל של המזל"ט וUMBON להגנו עליו. מטרת המבנה היא לחת צורה חיצונית ולשאת בעומסים המתפתחים על המטוס. על מנת לבצע את הדרישות שהוצבו יש לקבוע עקרונות מנחים:

- רציפות המבנה כדיוע ממבנה רציף הוא מבנה החזק ביותר והמבנה האידיאלי מבחרינו הוא גליל עם כנפיים ללא פתחים, אבל זה בלתי אפשרי, לכן נצטרך לכפות בדרך כלשהי על אי רציפות בפתחים ובחריצי כנפיים.
- פשיות המבנה הדרישת החזקה על המבנה היא לעמוד בעומסים, אבל יש לשמור על העובדה כי המבנה חייב להיות קל. מזה נוצרת עובדה כי המבנה הקל ביותר הוא המבנה הפשט ביותר ללא חיזוקים מיוחדים וקטוע חפיר מיותרים.
- מקדמי בטחון של המבנה עקב העובדה כי אין חי אדם המונחים על הכב, אנו נדרש מקדמי בטחון נמוכים מאוד וכך נוכל לחסוך במשקל.
- תחזוקת המבנה על המזל"ט להיות נוח לטיפול קרקע. כתוצאה מהעובדה כי הכליה הוא כלי מתכלה (חדר פuumi ואין צורך טיפול שוטף, מספיקים לנו שני פתחים:

1. פתוח הזנת נתוני טיסה (מקום וכו')
2. פתוח למיכל דלק.

2.1.1. קונספט מבני של המזל"ט

הكونספט הכללי של המבנה הראשי נבחר בסמסטר הקודם תוך שיקולים כאלה או אחרים. החלטנו ללבת עם מבנה גלילי, מפני שהוא המבנה הכי אופטימי לצרכים שלנו.

עקב המידע הקטנות של המנפחים ובגלל שאין צורך באכסון הדלק במנפחים נבנה אותו חלק אחד בשיטות עיבוד שבבי. חישובי חיווקים ייעשו מתוך ידיעת נקודות תורפה של הגוף. נקודות אלו הן הפתחים שצויינו קודם לכן אם עובי פח מקיים איינו יספיק על מנת לשאת בעומסם נចרך להוציא חיווקים. יוספו חיצים על מנת למנוע קריסה של המעלפת - אפילו אם עובי הפח עומד בדרישה, שימוש בחיצים יمنع קריסת מעטפת בעת טיפול במזל"ט על הקרקע ונשיאה למקום, טיענת המזל"ט על המטוס וכו').

תכנון החיצים בגוף המטוס

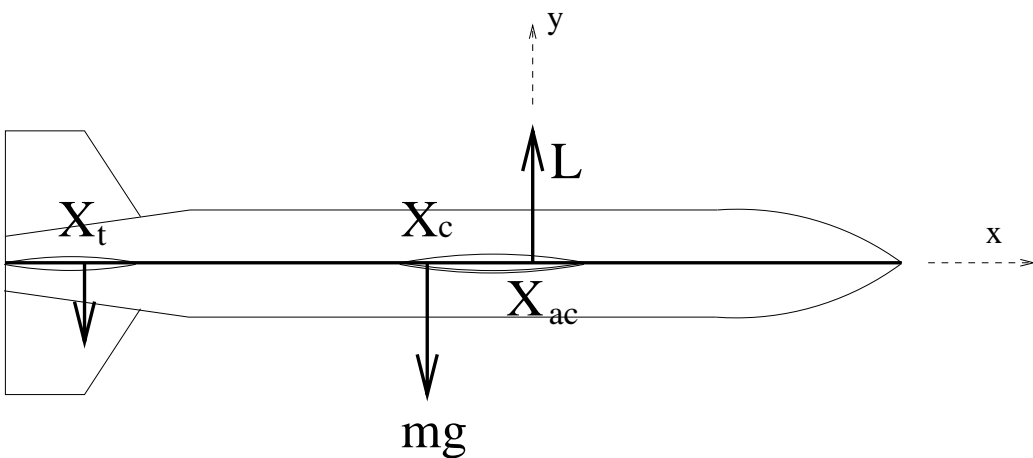
צורך בהוספת חיצים נובע מסכנת קריסה של המעלפת וחיווק הגוף בנקודות תורפה. ראשית כל יש לקבוע את מיקום החיצים (משני צדי הפתחים ומשני צדי של חירץ הכנף).

חישוב מומנט כפיפה

נמצא את מומנטי ההפיפה הפעילים על הגוף מתוך קירוב לכוחות ולמומנטים הפעילים במישור אנכי של המטוס. הכוחות הגדולים ביותר הם הכוחות האנכיים לאורך המטוס: כוח עילי על הכנף, כוח עילי על הזנב וכוח הגוף. ניתן להזינה את כוח הגיר ודחף עקב הזרוע הקטנה סביב ציר האורך של המטוס.

הכוחות ומומנטים תלויים הן בתנאי הטישה של הכנף והן במיקום מרכז הגוף של המטוס. בغالל שמייקום מרכז הגוף נוצר מתוך הקונפיגורציה של רכיבי המזל"ט (קבועים במקום) ישנו צורך לבדוק שינוי במהלך המומנטים עקב תזוזה של מרכז הגוף הנובעת מהתרוקנות של מיכל הדלק.

נתאר את פילוג המוחות לאורך ציר המטוס.



נבנה משוואות ש"מ עבור כוחות ומומנטים:

$$\begin{aligned}
 L - L_t - n \cdot W &= 0 \\
 L \cdot x_{ac} - L_t \cdot x_t - n \cdot W \cdot x_{cg} &= 0 \\
 L &= \frac{n \cdot W \cdot (x_t - x_{cg})}{(x_t - x_{ac})} \\
 L_t &= L - n \cdot W
 \end{aligned}
 \tag{2.1}$$

פילוג המומנטים עבור שלושת האזוריים:

$$\begin{aligned}
 M_1(x) &= 0 \\
 M_2(x) &= n \cdot W (x_{cg} - x) \\
 M_3(x) &= \frac{n \cdot W (x_{ac} - x_{cg}) \cdot (x_t - x)}{x_w - x_t}
 \end{aligned}
 \tag{2.2}$$

בחצבת הערכים היודיעים ניתן למצוא את המומנט המקסימלי ואת מיקומו. ניתן לנחש כי המומנט המירבי יתפתח באוזר הכנפיים. המאמץ שmotפחת בפח

עקב מומנט כפיפה:

$$\sigma = \frac{M_{\max} \cdot y_{\max}}{I}$$

(2.3)

- $M_{\max}(x)$ - מומנט ההפפה המקסימלי
- y_{\max} - מרחק מקסימלי בין ציר המוטס לבין הפת
- I - מומנט אינרציה של שטח החתך

מתוך נוסחה זו ניתן לקבל את המאמץ המקסימלי. המטרה שלנו היא לא לעבור את המאמץ המותר בכך ע"י שינוי של הפרמטרים של מומנט האינרציה או הגדרת מומנט אינרציה עצמו נוכל להישאר בתחום המותר של המאמצים. ידוע שדה מאמצי כפיפה אינם קבועים לאורך הגוף (מומנט כפיפה משתנה) ולכן ישנים אמורים שלא יצטרכו חיזוקים.

חישוב עובי דופן

$$\begin{aligned}
 x_{cg} &:= 1200 \text{ mm} \\
 n &:= 3 \\
 W &:= 45.36 \text{ kg} \\
 x_{ac} &:= 1225 \text{ mm} \\
 x_t &:= \left(2300 - \frac{3}{4} \cdot 176 \right) \text{ mm} \\
 M(x) &:= \begin{cases} 0 & \text{if } (x \geq 0) \wedge (x < x_{cg}) \\ n \cdot W \cdot (x_{cg} - x) & \text{if } (x \geq x_{cg}) \wedge (x < x_{ac}) \\ \frac{n \cdot W \cdot (x_{ac} - x_{cg}) \cdot (x_t - x)}{x_{ac} - x_t} & \text{otherwise} \end{cases} \\
 x &:= 0 \text{ mm}, 1 \text{ mm} .. x_t
 \end{aligned} \tag{2.4}$$

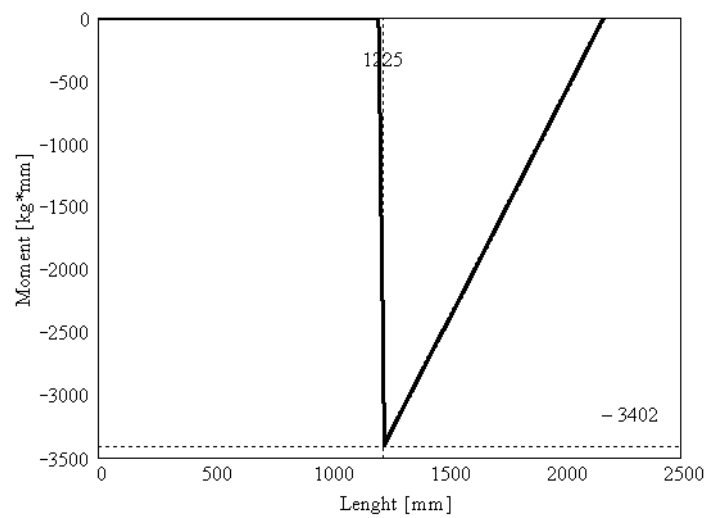


Figure 2.1:
Bending Moment Vs. Length of UAV

$$\begin{aligned}
 R &:= 75 \text{ mm} \\
 M_{\max} &:= -3402 \text{ kg} \cdot \text{mm} \\
 \sigma_{\text{all}} &:= -20.98 \frac{\text{kg}}{\text{mm}^2} \\
 (2.5) \quad \sigma(t) &:= \frac{M_{\max} \cdot R}{\pi \cdot R^3 \cdot t} \\
 t &:= 0.1 \text{ mm}, 0.11 \text{ mm}.. 5 \text{ mm}
 \end{aligned}$$

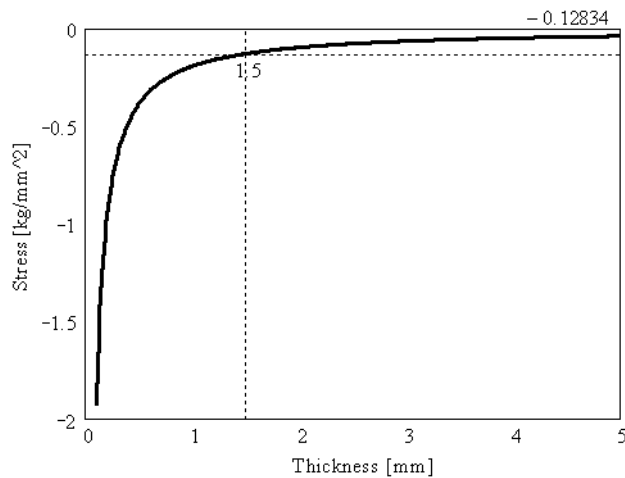


Figure 2.2: Bending stress Vs. Thickness of the skin

Stress for the desired thickness :

$$\sigma(1.5 \cdot \text{mm}) = -0.128 \frac{\text{kg}}{\text{mm}^2} \tag{2.6}$$

Allowed stress for aluminum :

$$\sigma_{\text{all}} = -20.98 \frac{\text{kg}}{\text{mm}^2}$$

This equation finds the minimum thickness of the skin:

$$z := 0.01 \text{ mm}$$

$$\begin{aligned}
 & Given : \\
 & \sigma_{all} = \frac{M_{max} \cdot R}{\pi \cdot R^3 \cdot z} \\
 (2.7) \quad & Guess value for the program : \\
 & Find(z) = 9.176 \times 10^{-3} \text{ mm} \\
 & Minimal thickness of the skin : \\
 & t = 9.176 \times 10^{-3} \text{ mm}
 \end{aligned}$$

מסקנות

מתוך התוצאות הנ"ל אנו יכולים לראות כי העומסים המתפתחים על הכליל אינם מתקבבים למאץ המקסימלי המותר. עובי זה מאפשר טיפול קרקע. $1.5mm$. העובי המוצע הוא אין צורך בחזוקים נוספים. יוספו שני פתחים:

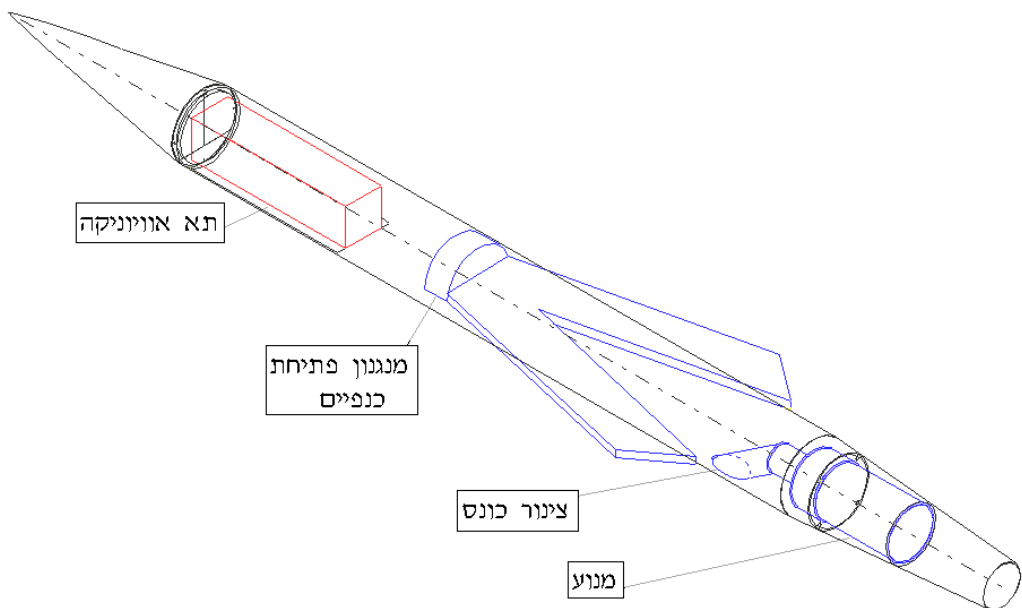
- 1)פתח הזנת נתונים.
- 2)פתח למילוי מיכל דלק. אין צורך בחזוקים על הפתחים.

عقب העבודה כי אין עדין תצורה סופית, לא נקבעו מקומות הפתחים. התוצאה המתקבלת היא חשודה בעיננו, מפני שלפיה בעומסים המתפתחים אנו רוחקים ב-2 סדרי גודל מהמאץ המותר וזה לא הגיוני, אך לא נמצאה טעות חישוב.

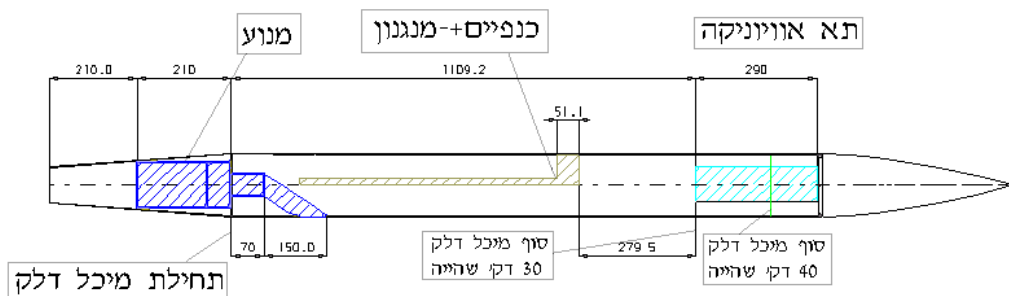
2.1.2 אינסטלציה של הרכיבים הפנימיים

בשלב הראשון מוקם המנווע בקצה הכליל (כל האפשר). מנגנון פתיחת כנפיים שמו במקומות המיועד לו, בנקודות חיבור עם כנף. תא האוירונית מוקם לאחר

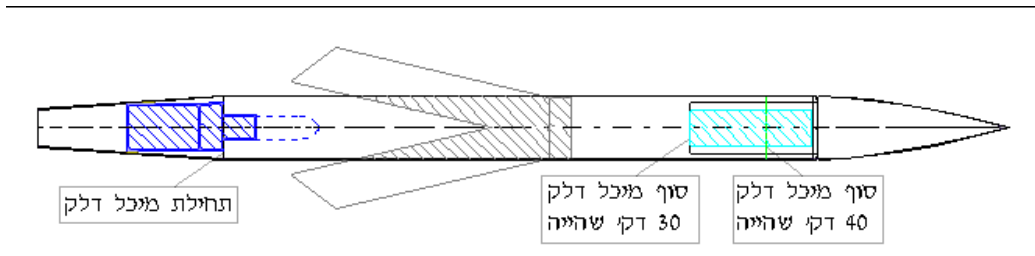
הchipor של RADOME עם הגוף הגלילי



מבט צד:



מבט על:



מיכל דלק

עבור 30 דקוטר שהייה אנו צריכים כ-14 ק"ג דלק.

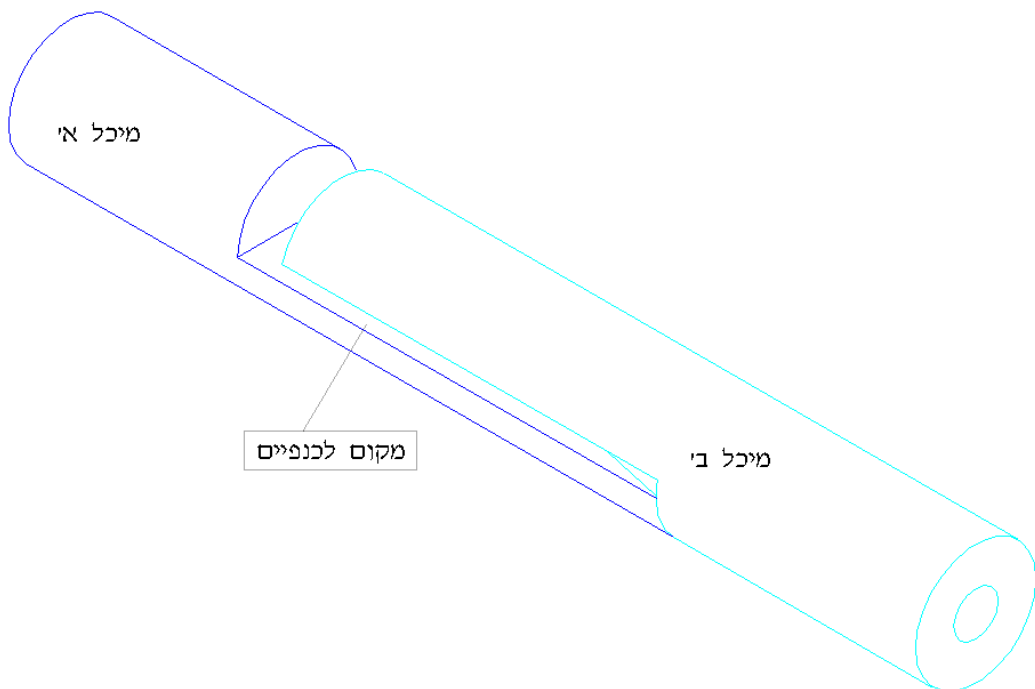
$$\begin{aligned}
 m &:= 14.25 \text{ kg} \\
 \rho &:= 0.8 \frac{\text{kg}}{\text{liter}} \\
 V &:= \frac{m}{\rho} \\
 V &= 0.018 \text{ m}^3
 \end{aligned}
 \tag{2.8}$$

לצורך ההדגמה בלבד ניקח גליל ברדיוס כרדייס פנימי של הכליל, 5.37 מ"מ, ונחשב את אורכו:

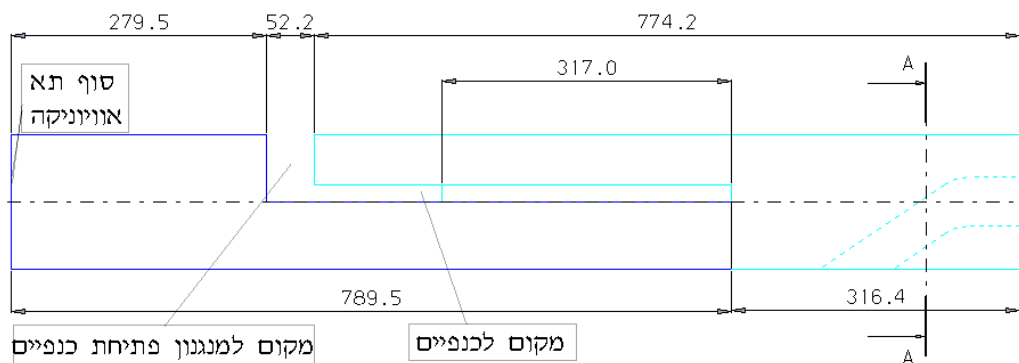
$$\begin{aligned}
 V &:= 0.018 \text{ m}^3 & r &:= 73.5 \text{ mm} \\
 V &= h \cdot \pi \cdot r^2 \\
 h &:= \frac{V}{\pi \cdot r^2} \\
 h &= 1.061 \text{ m}
 \end{aligned}
 \tag{2.9}$$

במקרה שלנו הרכיבים הפנימיים מקטינים את הנפח הפנוי של הכליל הפנימי, ולכן יש להשתמש בכל נפח אפשרי על מנת שנוכל לאחסן 14.25 ק"ג. הצעתנו למכיל דלק היא: עקב קושי ביצור אנו מציעים להרכיב את מיכל הדלק משני חלקים.

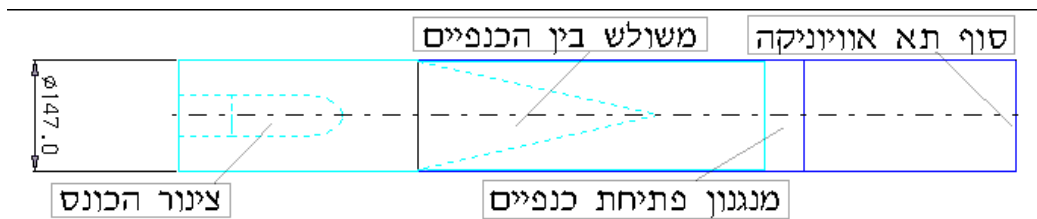
מבחן צד:



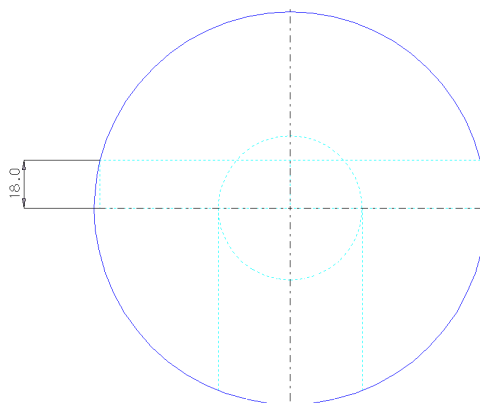
מבחן על:



מבט פנים:



מבט A :



תוך אחרון בא להסביר את צורת החור בתוך המכל הנובע מצינור הכונס. כנפיים במצבם הסגור משאירות חלקט נפח בצורת משולש. הוחלט להשתמש גם בනפח זה לצורכי המכל. מתוך השרטוטים הנ"ל ניתן לראות כי אם נבנה את מיכל הדלק בצורה זו ניתן לאחסן דלק המספיק ל-30 דקות טיסה. ניסינו לבדוק האם אפשרות של 35 דקות שהיא ניתנת לביצוע, אך הדבר אפשרי אם ורק אם ישאר כמעט ללא תא אוויניקה. סוף מיכל דלק של 35 דקות שהיא מסומן בקו ורוד בשרטוטים של הרכיבים הפנימיים. אם לא קיימת בעיה טכנית לייצור מיכל חלק אחד איזי אין שום סיבה לבנותו משני חלקים, ולסבך את המערכת.

מסקנות

מייל דלק ירכיב שני חלקים, כאשר כל חלק יאכשו כמחצית המשקל הכולל של הדלק. נלקח בחשבון עובי הפח של 1 מ"מ מעבר המכל. ישנו שטח מגע בין המכלים, הדבר אפשר חיבור ביניהם. אם איז כל קושי בייצור המכל וברכיבתו הסופית על המזול"ט לחלק אחד איזי כך יעשה. הדבר יפשט את המערכת. התוצרת המוצעת מבטיחה 30 דקות טיסה. ניסינו להגדיל את זמן השהייה לא策ילע עקב מגבלות גיאומטריות.

2.2 אָנְלִיזַת מַבּוֹנָה כְּנֶף בְּשִׁיטַת אַלְמַנְטִים סּוֹפִיִּים.

2.2.1 רַקֵּעַ תִּיאוֹרֶתִי

מבוא

שיטת אלמנטים סופיים משמשת כדי לספק קירוב דיסקרטי של התנוגות המערכת הרציפה. שיטות אלמנטים סופיים היא יישום של שיטת ריליא-רייצ' למערכות רציפות מחולקות למספר סופי של אלמנטים דיסקרטיים. פונקציות תזוזה נבחרות כך, שהן מספקות תנאי גבול גיאומטריים ורציפות בין האלמנטים.

תאור השיטה

נקבע a להיות אורך האלמנט. נגדיר קווארדיינטה מקומית $(0 < \zeta < 1)$.
נקבע $(\zeta, t) u$ להציג תזוזות האלמנט. אז, אם u_1, u_2, \dots, u_k מציגות דרגות חופש של האלמנט:

$$(2.10) \quad u(\zeta, t) = \sum_1^k \phi_i(\zeta) \cdot u_i(t)$$

איפה ש- $\phi_i(\zeta)$ היא פונקציות צורה. אנרגיה פוטנציאלית של האלמנט מחושבת ע"י הנוסחה 1.1 לתזוזות והיא מהכורה:

$$(2.11) \quad V = \frac{1}{2} \cdot u^T \cdot k \cdot u$$

כאשר $u = [u_1, u_2, \dots, u_k]^T$ היא מטריצת קשיות מקומית או מטריצת קשיות של אלמנט.

אנרגיה קינטית של אלמנט מחושבת בעזרת נוסחה 1.1 והיא:

$$(2.12) \quad T = \frac{1}{2} \cdot \left(\frac{du}{dt} \right)^T \cdot m \cdot \frac{du}{dt}$$

כאשר m היא מטריצת מסות מקומית או מטריצת מסות של אלמנט. מספר כללי של דרגות חופש באלמנט סופי הוא n שווה למספר האלמנטים כפול מספר דרגות חופש לאלמנט פחות מספר תנאי גבול גיאומטריים.

נגדיר וקטור תזוזות גלובלי $[U_1, U_2, \dots, U_n]^T = U$ כאשר U_1, U_2, \dots, U_n מציג תזוזות מודל לא ספציפיות. אנרגיה פוטנציאלית כללית של מערכת מולה היא:

$$(2.13) \quad V = \frac{1}{2} \cdot (U)^T \cdot K \cdot U$$

כאשר K היא מטריצת **קשיחות גלובלית**, המתקבלת ע"י הרכבה מתאימה של מטריצות **קשיחות מקומיות**.

אנרגייה קינטית של המערכת כולה היא:

$$(2.14) \quad T = \frac{1}{2} \cdot \left(\frac{dU}{dt} \right)^T \cdot M \cdot \frac{dU}{dt}$$

כאשר M היא מטריצת **מסות גלובלית**, המתקבלת ע"י הרכבה מתאימה של **מסות מקומיות**.

המשוואת הדיפרנציאלית של התנוגות המערכת היא:

$$(2.15) \quad M \cdot \frac{d^2 U}{dt^2} + K \cdot U = 0$$

קירוב אלמנטים סופיים ל**תזריות טבעיות** ו**צורות מודים** מתתקבל **בעזרה שיטת שורשים ריבועיים**.

לכן, **תזריות טבעיות** הן שורשים ריבועיים של **ערכים עצמיים** (λ) של $K^{-1}M$, ו**צורות מודים** מפותחות מוקטורים עצמיים שלהם.

$$(2.16) \quad \lambda = M^{-1} \cdot K$$

ותזריות טבעיות היא:

$$(2.17) \quad \omega = \sqrt{\lambda}$$

תנודות מאולצות:

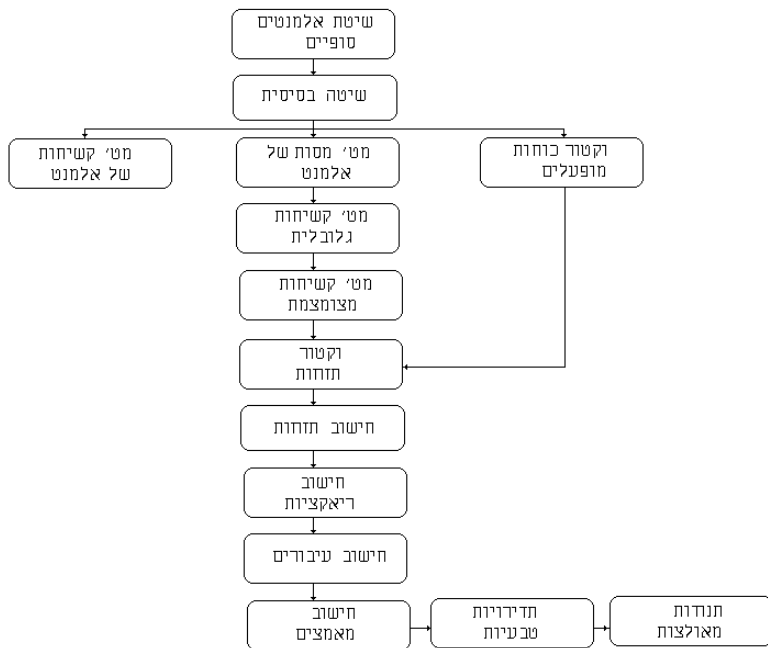
אם $F(x, t)$ הוא כוח חיצוני המופעל על מערכת, אז עבודה וירטואלית הנעשית ע"י כוח חיצוני עקב **שינויים בתוצאות גלובליות** היא:

$$(2.18) \quad \begin{aligned} \delta W &= \int_0^a F(x, t) \cdot \delta u(x) dx \\ \delta W &= \sum_{i=1}^n f_i(t) \cdot \delta U_i \end{aligned}$$

בעזרה **משוואות לגרנץ'** ניתן **לכתוב את המשוואות הדיפרנציאליות** **המקורבות** **בצורה:**

$$(2.19) \quad M \cdot \frac{d^2 U}{dt^2} + K \cdot U = F$$

כאשר $F = [f_1, f_2, \dots, f_n]^T$.
טרשים זרימה של שיטת אלמנטים סופיים:

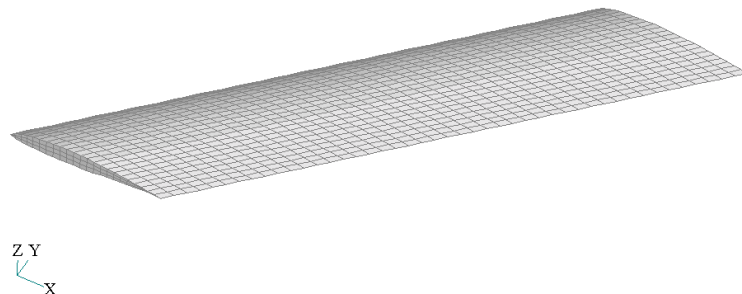


תאור הבעיה

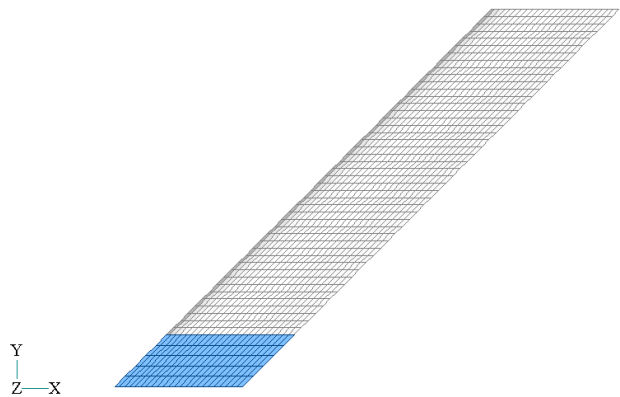
כדי לבדוק התנגנות כנף המטוס (עשויו אלומיניום מלא) בתנאי טיסה נערכה אנליזת מבנה הכנף באמצעות שיטת אלמנטים סופיים. בטור כל חישוב השתמשנו בתוכנה Nastran.

על מנת שתוכנה תוכל לחשב מאמצים ותנועות יש לחלק את הגוף המקורי למספר סופי של אלמנטים קטנים (כ- 5000 צמתים). גיאומטרית הכנף המחולקת לאל-

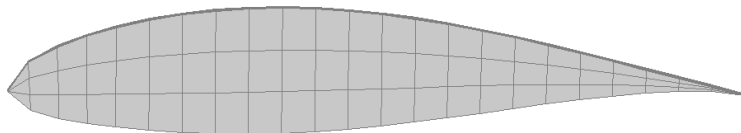
מנטים סופיים מתוארת באיזור הבא:



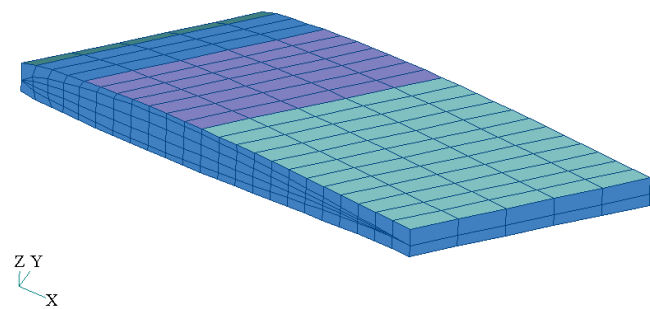
מבט על:



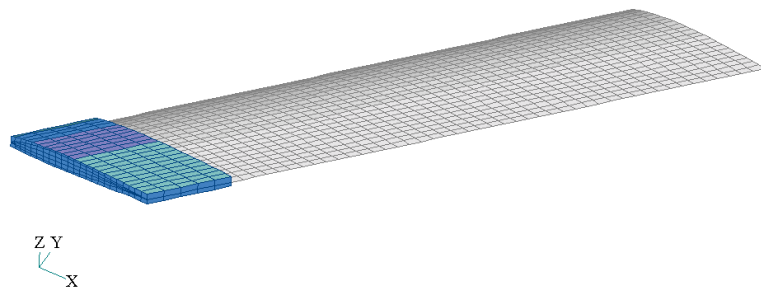
ומմבט צד:



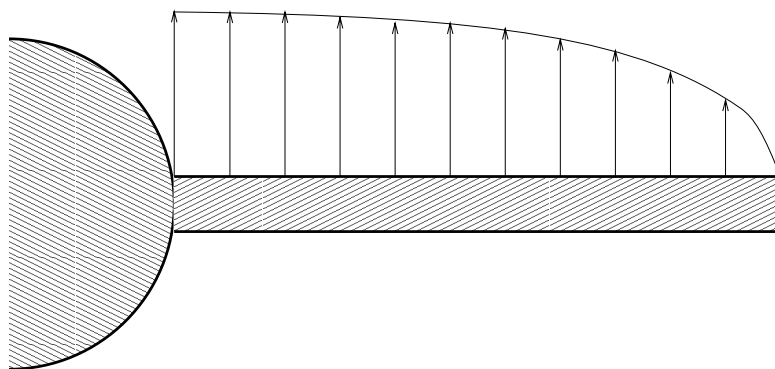
על מנת לחבר את הכנף למערכת קיפול לכנף הוסף מתאים:

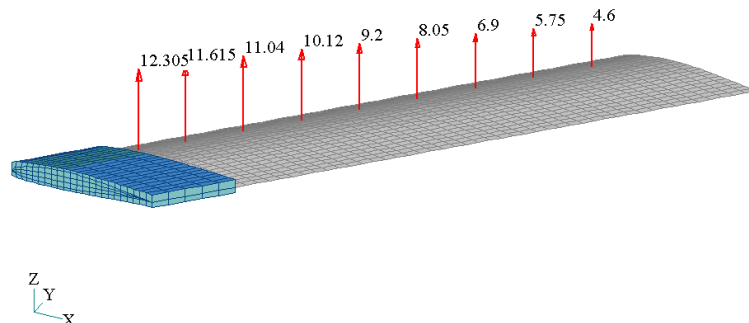


באיור הבא מתוארת כנף ביחד עם מתאם:



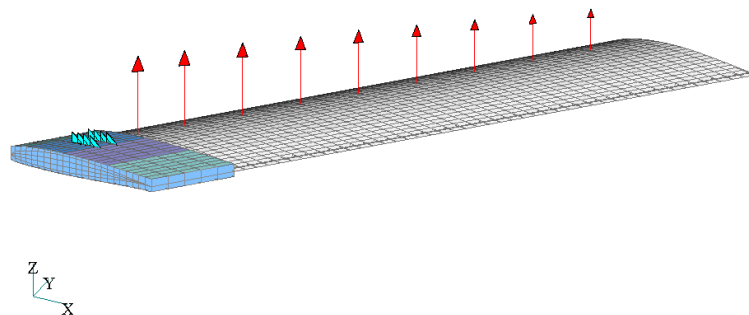
מודל הכנף הועמס בכך המדמה את כוחות העילי ואיינרציה שיפעלו על המזל"ט. כוח עילי על הכנף נתון ע"י 75 ק"ג (מסת הגוף, מחולקת ל-2 כנפיים, ובתנאי $(3g)$, המחולק ב-9 כוחות דיסקרטיים המופעלים ברבע מיתר הכנף שמדמים את פילוג העילי האמיתי לאורך מوطת הכנף:





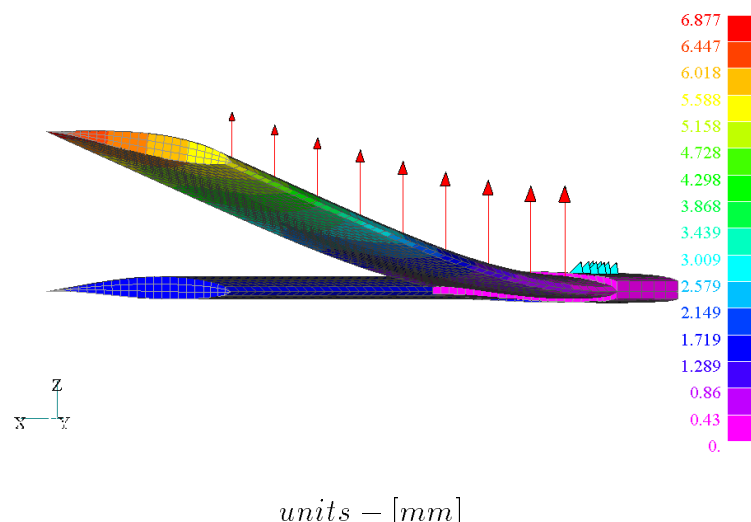
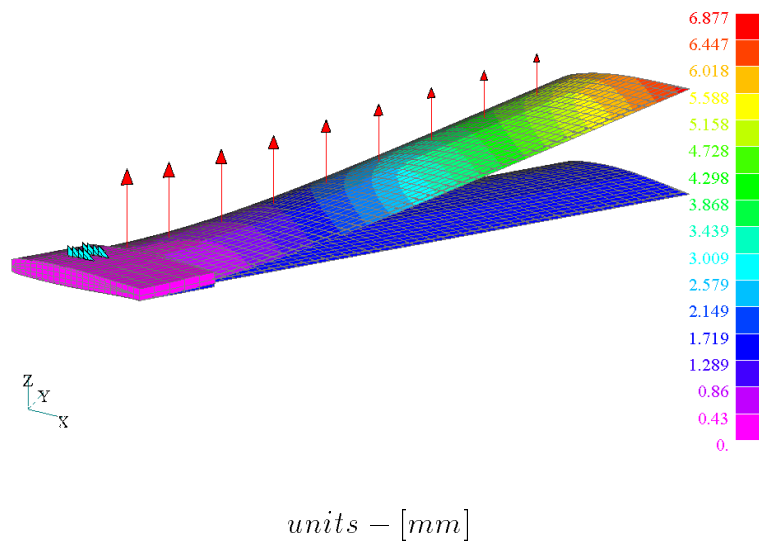
פילוג המוחות הדיסקרטיים מחושב בהסתמך על "Theory of wing sections" של I.H.Abbott

תנאי גבול מציגים חיבור ציר של מנגנון פתיחת הכנפיים. במקומות של ציר הוגדר ריתום בכמה נקודות על שפה עליונה ותחתונה, זהו נוטן קירוב מספק לתנאי שפה של הכנף הנטו:



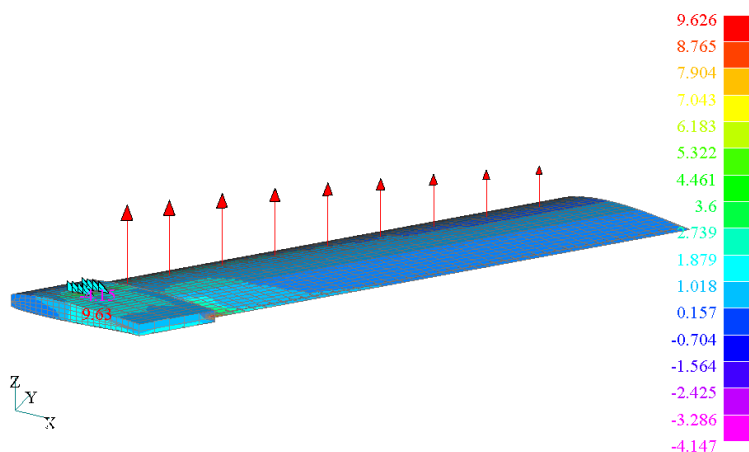
2.2.2. ניתוח תוצאות של האנליזה

במהשך מוצגות התוצאות המתקבלות אחרי הרצת התוכנית. באירורים הבאים מוצגת צורת השקיעה של הכנף:



שקיעה מרבית היא .6.9mm

האיורים הבאים מציגים מאמצים ראשיים מרביים המתפתחים במבנה:

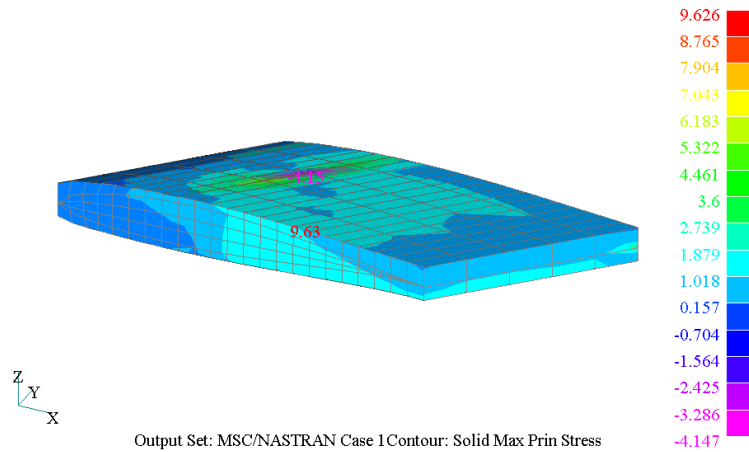


$$\text{units} - \left[\frac{Kg}{mm^2} \right]$$



$$\text{units} - \left[\frac{Kg}{mm^2} \right]$$

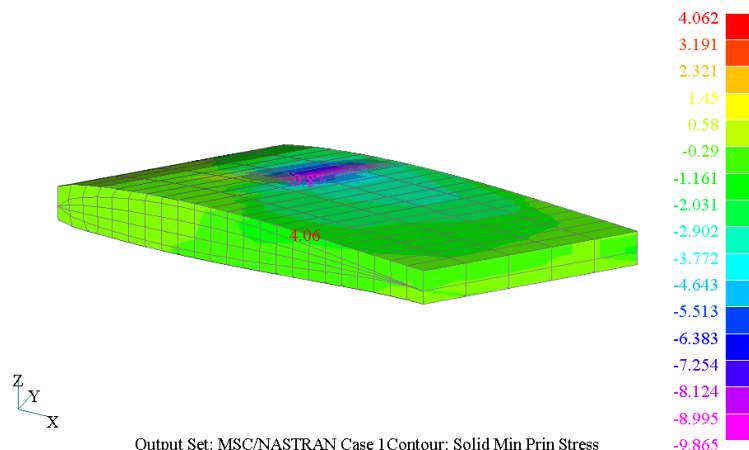
פרק 2. קונספט מבני וניתוח חזק של המבנה



$$\text{units} - \left[\frac{Kg}{mm^2} \right]$$

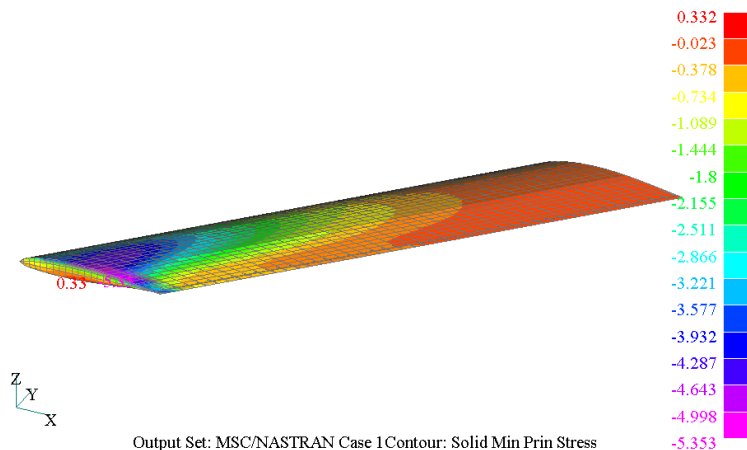
רואים כי המאיצים המרביים המתפתחים במקומות של חיבור הציר, על שפה תחתונה ועליונה. כמו כן, על שפה תחתונה זה מאיצי מתיחה, כאשר על שפה תחתונה מאיצי לחיצה. המאיץ בגודל של $8.93 \frac{Kg}{mm^2}$ בקצה הכנף כנראה נובע מואפיו המתמטי של הפתרון.

האיורים הבאים מציגים מאיצים ראשיים מזעריים המתפתחים במנוף:

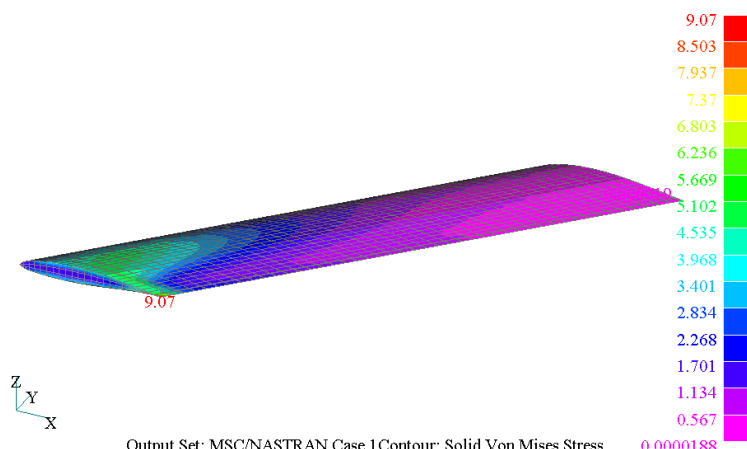


$$\text{units} - \left[\frac{Kg}{mm^2} \right]$$

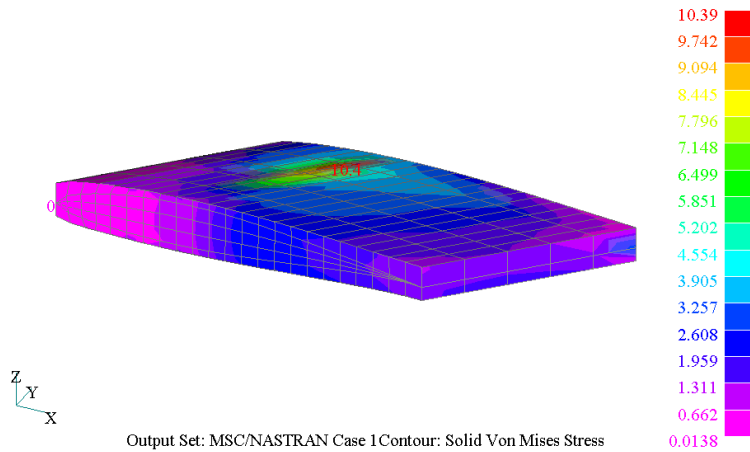
רואים את המאמצים המרביים במקומות של תפיסת הכנף.
בשני האיררים הבאים מוצגים מאמצי ווון מישס המחשבים בכנף.



$$\text{units} - \left[\frac{Kg}{mm^2} \right]$$



$$\text{units} - \left[\frac{Kg}{mm^2} \right]$$



גם כו המאמצים המרביים מתפתחים באורך של ציר.

חשוב לציין שבשום מקום של הכנף לא התקבל ממץ העולה על ממץ כניעה של סגסוגת אלומיניום מסדרת 0001 (ה"חלשה" ביותר) שהוא $\left[\frac{Kg}{mm^2} \right] 25$ ואףילו מתקיים מקדם בטחון בגודל 2.5.

פרק 3

צורת חיבור הכנפיים

מטרת פרק זה להציג את אופן חיבור הכנפיים אל גוף המזול"ט. תיאור זה בא עדיין ללא התייחסות למאיצים ספציפיים שפועלים על ציר/צירים הנמצאים בתחום גוף המזול"ט. חיישבים אלה יפורטו בחלק נפרד ויתחשבו באופן התימורניים שנדרשים מהמזול"ט כפי שהוגדרו במפרט הטכני. נבהיר שני אפשרויות לחיבור הכנף לגוף.

3.1 חיבור חד-צيري

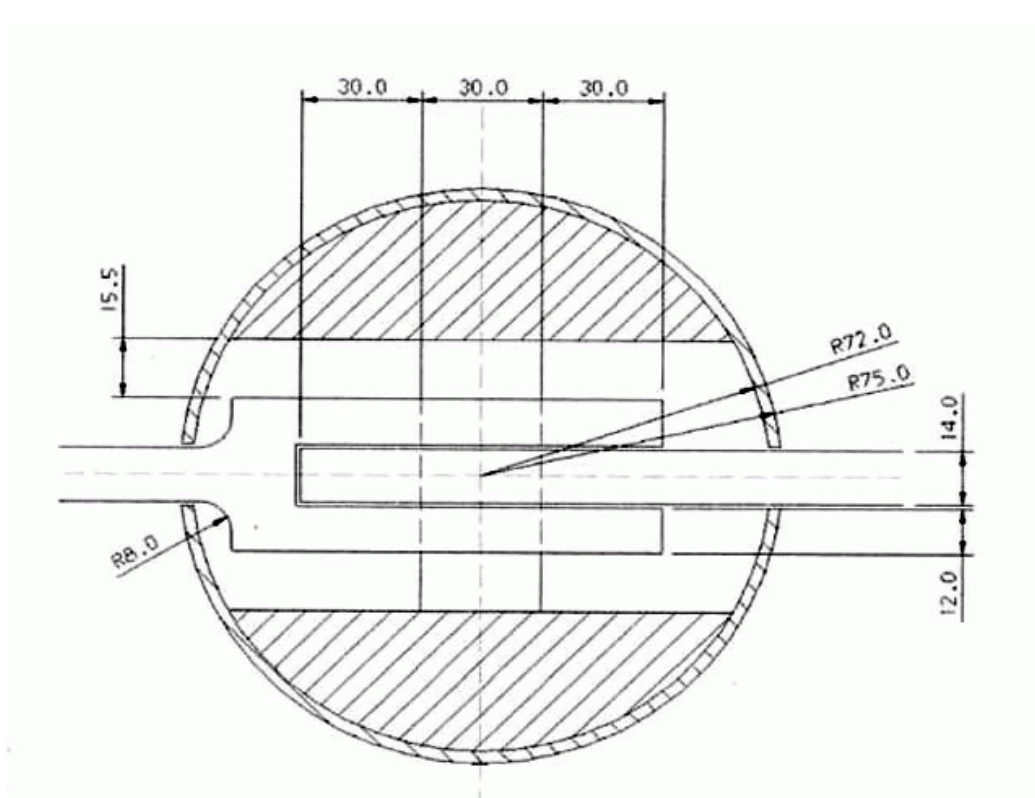
אפשריה ראשונה (ראה תרשימים מס' 1) מתארת חיבור של כנפיים באמצעות שני צירים. כל כנף מחוברת לציר בעורת לג. קויטר חיצוני של כל לג כזה שווה לקוטר של ציר. בתרשים זה קויטר של כל ציר שווה 20 מ'. מחיובי עומסים עולה שמידות אלה הן מספיקות כדי יהיה לנו חשש מכשלון הצירים בגל גזירה או מעיכה.

3.2 חיבור דו-צيري

אפשריה שנייה (ראה תרשימים מס' 2) כוללת חיבור של שתי הכנפיים בציר אחד בלבד עליו נופלים כל העומסים. ברור שבמקרה כזה הציר צריך להיות עבה יותר. לפví חיישבי עומסים נובע שקויטרו של הציר צריך להיות בין 35 – 30 מ".

3.3 יתרונות וחסרונות של שיטות חיבור הכנפיים

יש לנו יתרונות וחסרונות בבחירה אחת משתי האפשרויות



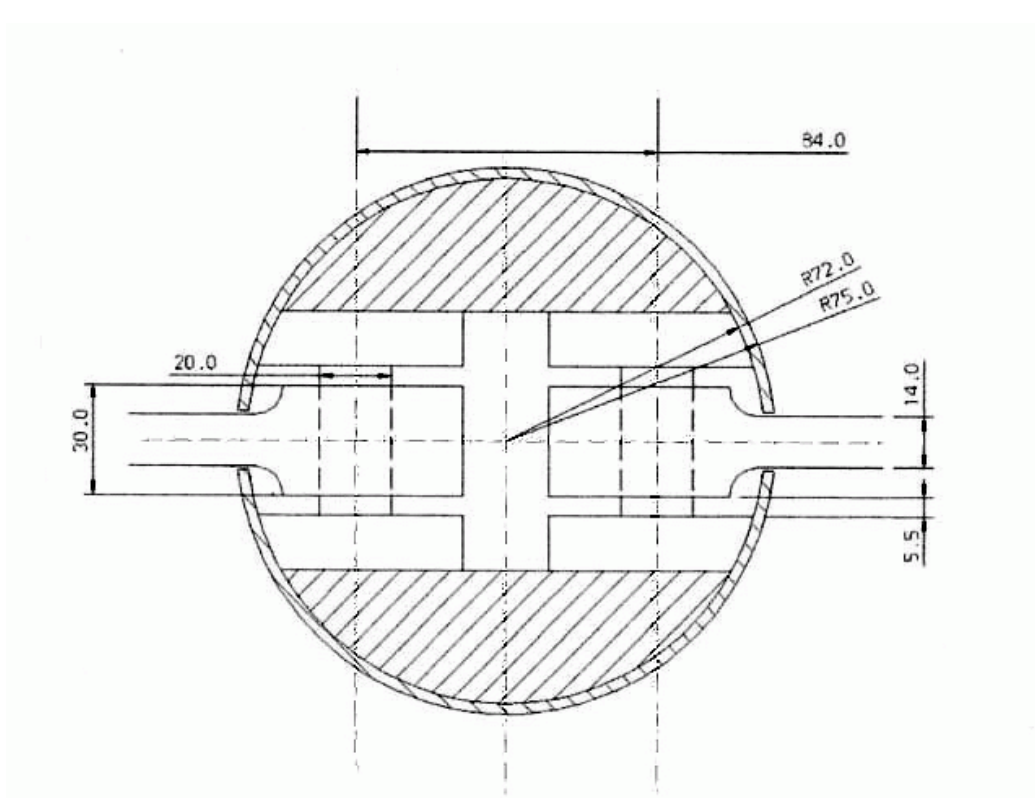
אייר 3.1: חיבור חד-צירי

1. חיבור באמצעות שני צירים:
יתרונות של אפשרות זאת

- (א) מאיצים המפתחים לאורך הכנף יתחלקו חצי-חצי על שני הצירים.
- (ב) שתי הכנפיים הן דומות (סימטריות).

חסרונו: נוצרך לבזבז יותר חומר ליצור של כנפיים.

2. חיבור באמצעות ציר אחד: יתרון של חיבור דו-צירי: חסכו בחומר, נפח הנטאפס ע"י המנגנון והקטנת המשקל. **חסרונו:** סימוכיותה יוצר עולה - מכיוון שכנף אחת נכנסת אל תוך השניה אין יותר סימטריה בין שתי הכנפיים.



איור 3.2: חיבור דו-צרי

3.4 מסקנה

לאור השיקולים הנ"ל הגיעו למסקנה ששחיבור דו-צרי הוא טוב יותר במקרה שלנו לנו לכן נבחר בו כצורת חיבור הכנפיים.

3.5 תאורה של אופן חיבור הכנף

לפנינו היו שתי אפשרויות אפשריות לצורת פתיחת הכנף:

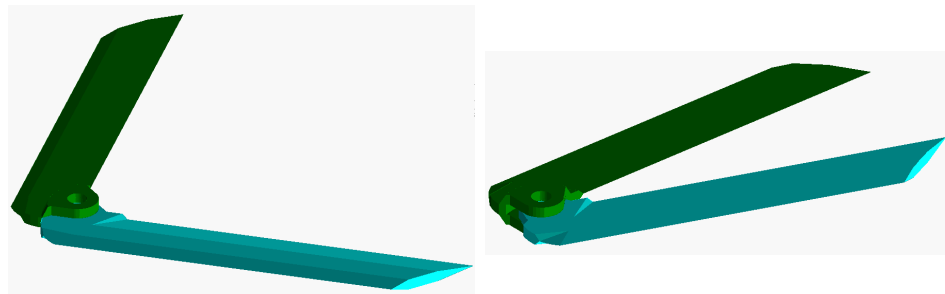
1. כנף המתחברת עם ציר אחד

2. כנף המתחברת עם שני צירים

בשתי האפשרויות האלו הכנפיים נפתחים בתוך גוף המזל"ט החוצה לאומת האופציה הנוספת אשר בה הכנפיים במצב סגור היו צמודות על הגוף ותהליך פתיחתה התבָּצע על ידי פתיחת הכנפיים מלמטה למעלה. אופציה זו נפסלה בשלבים הראשונים של התיכון כי הינה קשה מאד לביצוע גם מבחינת תיכון מכני וגם מבחינת ייצור שוטף. הסיבה הנוסףת שבגללה נפסלה אופציה זו היא - חשש כי צורת חיבור זו לא תחזיק מעמד תחת המאמצים המתפתחים בנקודת חיבור כנף על גוף המזל"ט. להלן השוואה בין שתי האפשרויות הנותרות (חיבור חד-צيري וחברור דו-צيري)

3.5.1 השוואת בין שתי אופציות של חיבור הכנף

בשני התרשימים הבאים ניתן לראות את אופן חיבור הכנף עבור שתי האפשרויות (כנפיים סגורות ופתוחות). הת התאור ניתן לראות בתרשימים 1-4.



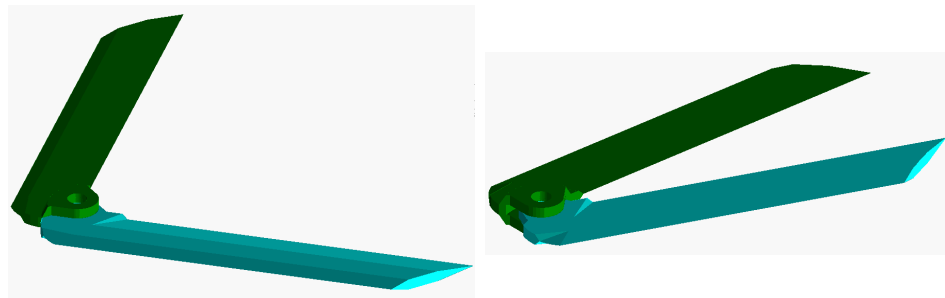
איור 3.3: חיבור חד-צيري, הכנפיים

סגורות

איור 3.4: חיבור חד-צيري, הכנפיים

פתוחות

המטרה העיקרית של ניתוח והשוואה בין שתי האפשרויות הללו הייתה לקבוע האם הן עומדות בשתי הדרישות הבאות:



איור 3.5: חיבור דו-צרי, הכנפיים סגורות

איור 3.6: חיבור דו-צרי, הכנפיים פתוחות

1. עמידות באילוץ של סגירת הכנפיים עד למרחק של 375 מ"מ בין שתי הנ-קודות הרחוקות.

2. קלות תכנן ויצור

אחרי ניתוח מעמיק נקבע כי שתי האופציות עומדות בדרישה הראשונה. ניתוח של נספּף הראה כי אופציה של חיבור כנפיים הדו-צרי עדיף על חיבור חד-צרי ממספר סיבות:

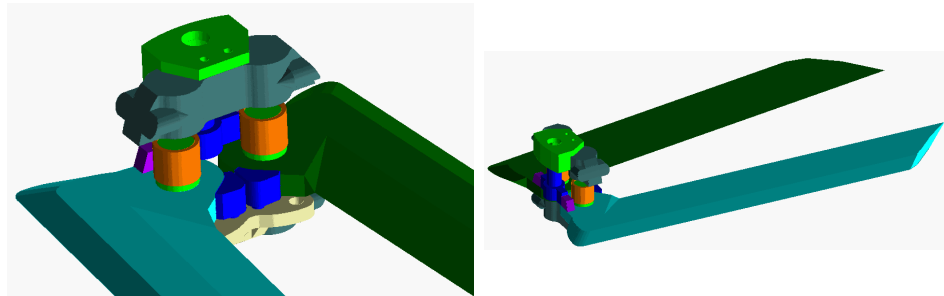
1. ייצור ותכנן כנף שנייה עבור חיבור חד-צרי, כנף מזלג, הם קשים לביצוע
2. ריבוי פינות בכנף שנייה עבור חיבור חד-צרי, כנף מזלג, יכול להביא לריכוז מאמצים בפינות הלו ועל ידי כך להביא לכשל הכנף
3. חיבור חד-צרי דורש הכנסת ציר חיבור בקוטר גדול יותר מאשר עבור אופציה הדו-צראית ולפי כך ישנו צורך בקצת יותר גדול בנקודות העברת הציר בתוך הכנפיים. דבר זה יכול להוביל להחלשות הכנפיים ומайдן להביא לכשל שתי הכנפיים תחת העומסים המתפתחים תוך כדי הטיסה
4. תוך כדי תכנן ראשוני של מנגנון נעילת הכנפיים במצב תרום שיגור הוכח כי ישנו קושי בתכנון של מנגנון זה עבור תצורה בעלת ציר בודד עקב מקום מוגבל שנדרש למנגנון הנעילה.

3.5.2 סיכום

מתוך השיקולים ניתן החלטנו כי צורת החיבור העדיפה עלינו היא צורת חיבור בעלת שני צירי חיבור.

3.6 תאור מפורט של חיבור דו-צيري

את תאור המפורט של אופן חיבור הכנפיים בעזרת שני צירים ניתן לראות בתרשימים- ים 8 – 5



איור 7: חיבור דו-צيري, הכנפיים

איור 8: חיבור דו-צيري, הכנפיים
סגורות סגורות

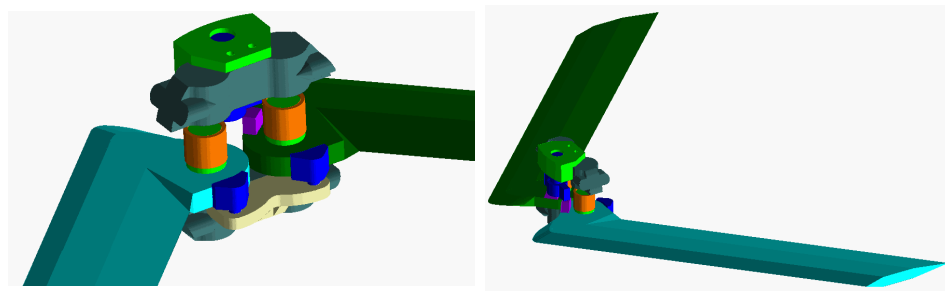
3.6.1 חישוב עומסי חיבור הכנף - חיבור דו-צيري

לצורך ניתוח התנוגות החיבור היה צורך בחישוב מוקרב של עומסים המתפתחים בשורש הכנף, בנקודת חיבורה לציר. דבר זה נעשה עם התחשבות במספר הנחות:

1. כנף המשוכה אחורה דומתה לכנף רגילה בעלת מיתר ממוצע של 100 מ"מ
ואורך של 546.24 מ"מ מנקודת חיבור

2. לצורך החישובים נעשתה הדמיית כנף לקורה מלכנית פשוטה

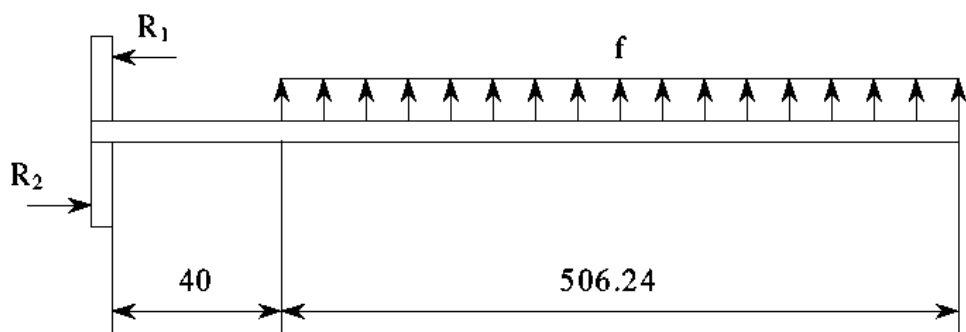
3. ציר סיבוב שעליו הכנף מתחברת הינו באורך של 76 מ"מ והכנף יושבת
במרכז הציר כך שמקל צד של הכנף אורך הציר הינו 30 מ"מ (תזכורת עובי
הכנף הינו בערך 16 מ"מ)



איור 3.9: חיבור דו-ציר, הכנפיים
איור 3.10: חיבור דו-ציר, הכנפיים
פתוחות

4. שתי כוחות הריאקציה הם כוחות מפולגים אחיד ופועלים החל מ - 5 מ"מ מהכנף עד לקצת הציר.

תאור סכמטי של הכנף ניתן לראות בתרשימים הבאים:

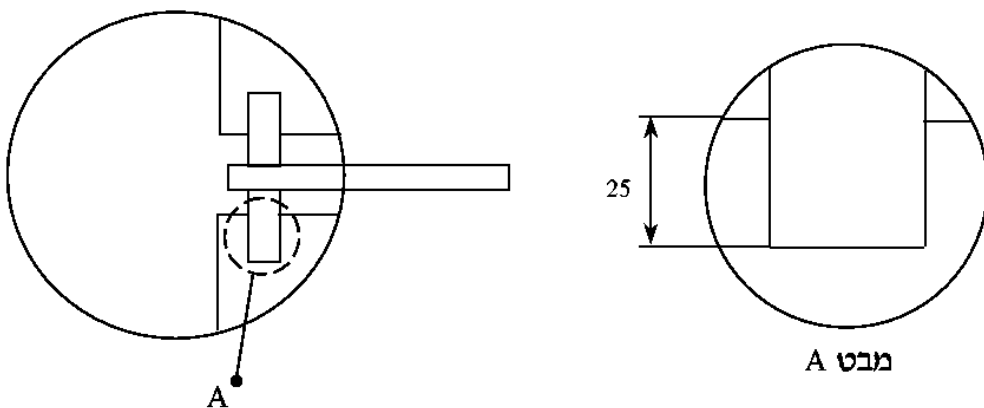


הנתונות טכניות:

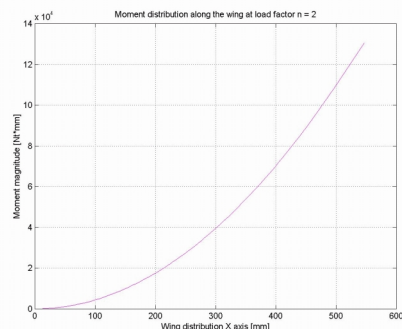
1. כל המיסבבים הם מיסבי החלקה
2. ציר הכנף עשוי חומר PH15 – 5: מעומץ כניעה של $100 \cdot 10^6 [Nt/m^2]$
3. תושבת הציר עשוי מחרומר SAE4340: מעומץ כניעה של $855 \cdot 10^6 [Nt/m^2]$

4. ציר חיבור והכנף מהווים גוף אינטגרלי לחלווטין (הנחה לצורך החישובים)

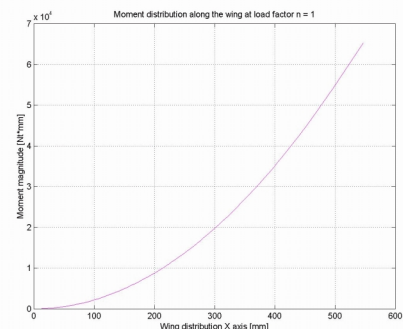
את אופן חיבור הציר לתושבת הציר ניתן לראות בתרשימים הבאים:



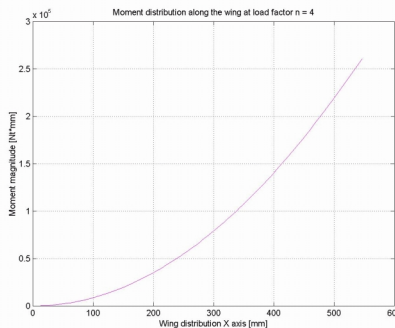
לצורך מציאת העומסים בשורש הכנף נצרכנו למצוא את המומנט הפועל על הכנף בעקבות הפעלת עלייה מוח ממולג של $.50lb f$.
בחישוב זה נעשה והתקבל כי המומנט המקסימלי הפועל בשורש הכנף הוא $M = 391.16[Nt m]$, כאשר ספרת העומס היא $n = 6$. את התוצאות המתוקבלות ניתן לראות גם בציורה גרפי בנספחים (תרשימים 11 עד 16).



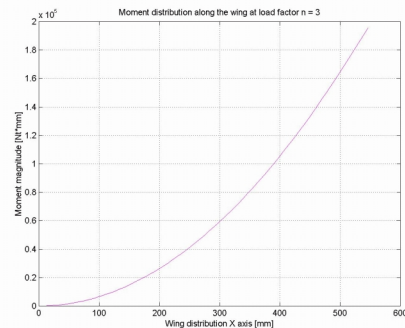
איך 3.12 moments



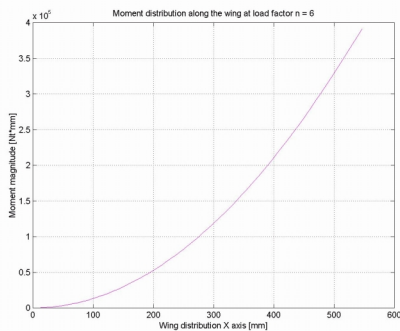
איך 3.11 moments



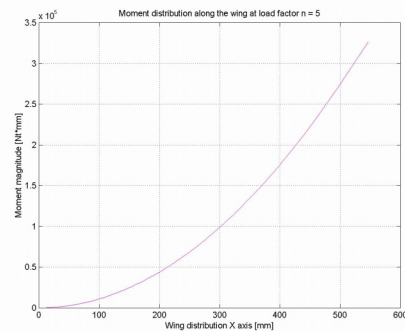
אייר 3.14 moments



אייר 3.13 moments



אייר 3.16 moments



אייר 3.15 moments

כעת כאשר מצאנו את המומנט המקסימלי המתפתח בשורש הכנף ניתן לעשות השוואת מומנטים סביר נקודה O (שורש הכנף) בצד למצא את שתי כוחות הריאקציה R_1 ו- R_2 לפיה:

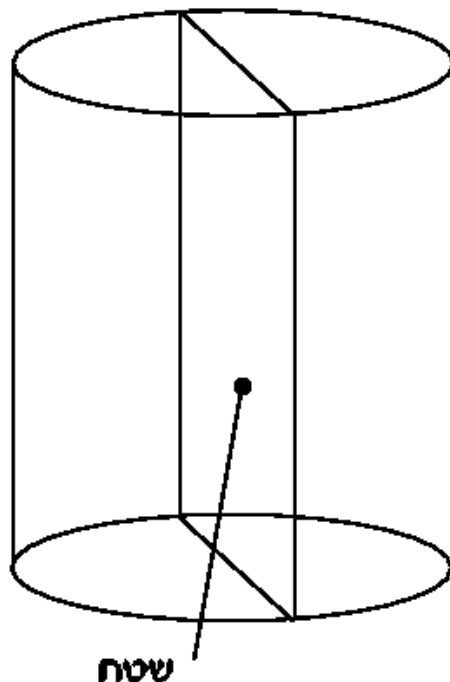
$$(3.1) \quad \begin{aligned} \sum M_0 &= 0 \\ M_1 - (R_1 + R_2) \cot 17.5 \cdot 10^{-3} &= 0 \\ R_1 = R_2 &= [M_1 = 391.6 NT \text{ m}] = \frac{M_1}{2 \cdot 17.5 \cdot 10^{-3}} \end{aligned}$$

כאשר הערך 17.5 מ"מ הינו מרחק מנקודה O עד לנקודת ריכוז כוח ריאקציה או R_2 . אחרים שמציבים את ערך המומנט המקסימלי מקבלים כי:

$$(3.2) \quad R_1 = R_2 = 11.176KNt\ m$$

מכיוון ויש לנו מומנט המתפתח בשורש הכנף ומכאן גם כוח ריאקציה צריך לבדוק האם יש מעיכה על ציר החיבור של הכנף בחלק היושב בתוך תושבת הציר.

$$(3.3) \quad P = \frac{F}{A} = \frac{R_1}{0.25 \cdot 0.25} = 17.882 MPa < 110 MPa$$



כאשר:

A - שטח מעיכה שהוא מכפלה בין אורך חלק הציר לבין קוטר הציר
לפי חישוב זה ניתן לראות כי לא מתפתחת מעיכה בחלק ציר זה עקב המומנט הפועל בשורש הכנף (כוח ריאקציה). בנוסף לכך ניתן להגיד כי מכיוון וחומר תושבת הציר הוא יותר חזק מאשר חומר ציר עצמו, לא תתפתח מעיכה של התושבת עקב פועלות המומנט בשורש הכנף (כוח ריאקציה).

מכיוון וקיים מוח גיר צורה המתפתחת על הכנף תזק כדי פתיחתה, אחד מרכיביו הוא כוח אקסיאלי לאורן הכנף. כוח יכול לגרום לגזירת ציר החיבור של הכנף. לכן כדי לוודאות כי דבר זה לא קורה נעשה חישוב של ממץ הגזירה המתפתח עבורי זווית התקפה שונות. הערה: כוח הגיר המתפתח על הכנף חושב על ידי תוכנת Matlab. תוצאות של חישוב הם:

6	4	2	0	זווית פתיחה [deg]
3112.6	2135.2	1485.8	1487.6	P - Axial [Nt]

בהתמך לתוצאות אלו נעשה חישוב ממץ גזירה לפי:

$$(3.4) \quad P = \frac{P_{axial}}{A} = \frac{P_{axial}}{\pi r^2} = \frac{P_{axial}}{4.9087 \cdot 10^4}$$

אחרי הצבת כל אחד מהכחות עבור זווית שונות מתקבלים תוצאות הבאות:

6	4	2	0	זווית פתיחה [deg]
6.341	4.35	3.027	3.031	ממץ גזירה [Mpa]

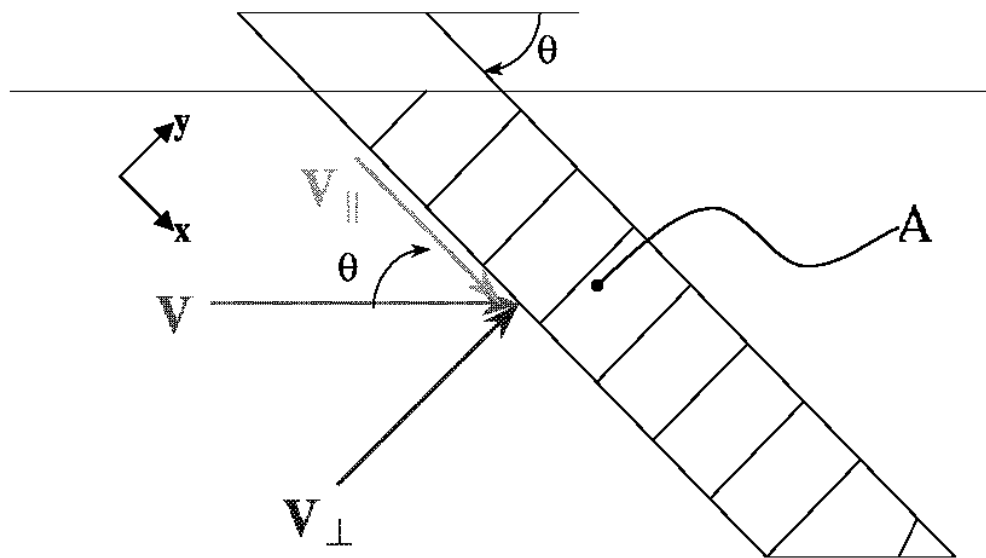
כמו שניתנו לראות התוצאות חישוביות כל ממץ הגזירה המתפתחים בזוויות התקפה שונות הם קטנים בהרבה מאשר 110 Mpa, שהוא ממץ הכנעה של החומר ממנו עשוי הציג. מסקנה: אין חשש לגזירה או לעיכבה בציג.

3.6.2 חישוב כוח הגיר המתפלג על הכנף

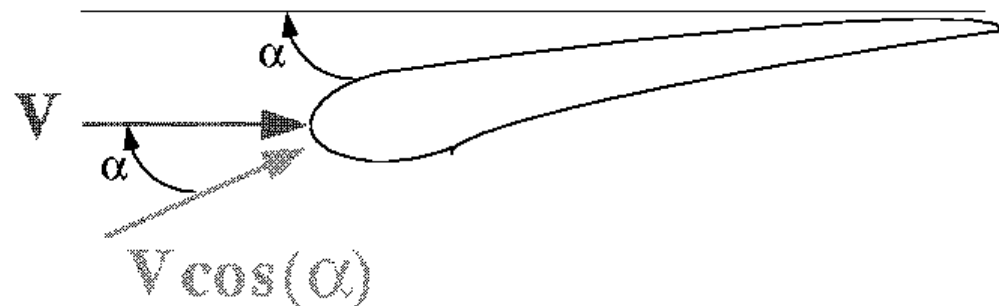
כמו שראינו בסעיף הקודם חישוב זה היה נחוץ בחלוקת לצורך חישוב ממץ הגזירה על ציר סיבוב הכנף. גיר זה הוא גיר שפועל לאורן ציר x של הכנף (ראה תרשימים). בנוסף לזה נדרש גם ערך הגיר הפועל בניצב לכנף (ציר y). רכיב זה של כוח הגיר נחוץ לשם מציאת כוח אשר נדרש להפעיל על מנת לפתוח את הכנפים ממצב טרום שיגור (הכנפים סגורות עד לפטיחה מלאה 45 מעלות מגוף המזילט). בסעיף זה נלקחו בחשבון רק שני רכיבי גיר וهم:

1. גיר צורה טהור

2. גורר המתקבל עקב כוח עילי בזווית התקפה לצורך חישוב הנ"ל צריך להבין היטב קודם כל איך הכנף רואה את הזרימה. הסבר לכך ניתן לראות במספר תרשים הבאים:



בתרשים זה ניתן לראות את פילוג מהירות הזרימה ל מהירות הניצבת ומקבילה לכנף. כאשר דורך רכיב הניצבת יושב גורר צורה ודורך רכיב המקביל יחושב כוח הציר שפועל על ציר החיבור. אבל נדרש להתחשב גם בזווית התקפה ורכיב הגורר הנובע ממנה ולכן:



מכאן ניתן לראות כי הביטוי הסופי עבור מהירות אשר הכנף "רוואה" היא:

$$(3.5) \quad V = V \sin \theta \cos \alpha$$

כآن צריך לציין כי לעומת זוויות התקפה (זוויות פתיחת הכנף) משתנה כל הזמן עד אשר הכנף נפתחת עד הסוף, 45 מעלות מוגף המזל"ט. לצורך חישובי גורר אלו היה צורך לדעת מהי תאוצה זוויותית שבה נפתחה הכנף. לצורך מציאת תאוצה זו הופעלו מספר הנחות יסוד:

1. במצב התחלתי הכנף נמצא באפס תזוזה, ז"א אין מהירות זוויותית וזוויות התחלתית הינה 5 מעלות

2. תאוצה זוויותית הינה קבועה עם הזמן

נשנה הנחה התחלתית של תאוצה זוויותית בערך של $0.1 \frac{\text{rad}}{\text{s}^2}$. מכיון הנחה זו נעשו פיטוש פשוט של משווה דיפרנציאלית בצורה הבאה:

$$(3.6) \quad \begin{aligned} \ddot{\theta} &= 0.1 \\ \dot{\theta} &= 0.1t + A \\ \theta &= 0.1t^2 + At + B \end{aligned}$$

אחרי הצבת כל תנאי ההתחלה, זוויות התחלתית 5 מעלות ומהירות זוויותית בהתחלה השווה לאפס, הנקבלה משווה הבאה:

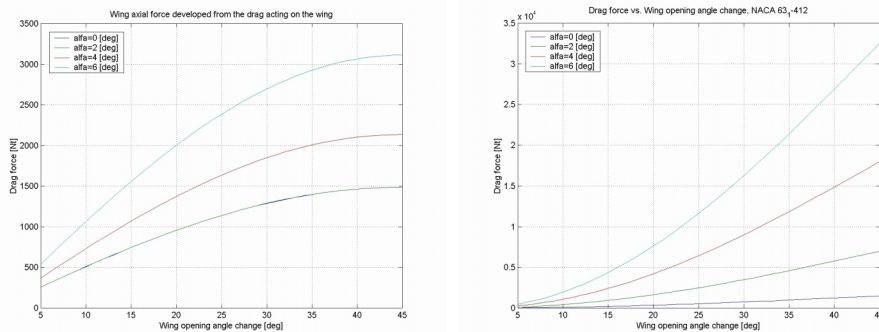
$$(3.7) \quad \theta = 0.1t^2 + \theta_0 = 0.1t^2 + \frac{5\pi}{180} = \frac{45\pi}{180}$$

מכיון משווה זו ניתן בעת למצוא מהו זמן שלוקת לנפחים להיפתח ולפיו לקבוע האם התאוצה שהנחנו בהתחלה מתאימה לדרישות שלנו או שלא. רישום סופי של המשווה הנ"ל נותן:

$$(3.8) \quad t = \sqrt{\frac{\theta - \theta_0}{0.1}} = 2.64s$$

רואים כי הזמן המתkeletal עבור תאוצה זוויותית אשר הנחנו הוא גדול מדי ולכן נדרש להגדיל את התאוצה עוד יותר עד שהזמן המתkeletal יעמוד בדרישות. אחרי ביצוע מספר איטרציות נמצא כי התאוצה התואמת את הדרישות שלנו היא $3 \frac{\text{rad}}{\text{s}^2}$, כאשר תאוצה זו נותנת זמן של 0.484 שניה לפתחה הכנפים מיצב טורם שיגור למצב פתוח מלא. את התוצאות של שני רכיבי כוח הגורר לראות בתרשימים מס' 17, 18.

כוח הגורר המתkeletal לכנף [KNt]	כוח הגורר הניצב לכנף [KNt]	זוויות התקפה [deg] α
1.488	1.488	0
1.486	6.94	2
2.135	18.023	4
3.112	32.69	6



איור 3.18: כח הגרא

איור 3.17: כח הגרא

3.7 מנגנון פתיחה כנפיים

אחרי שנעשה חישוב של כוח הגרא והתאוצה האוזויתית צריך לבחור איך מערכת תהיה אחראית על פתיחת הכנפיים, כאשר הדרישות מהמערכת יהיו:

1. פתיחת הכנפיים תוך זמן קצר

2. מנגנון פתיחה פשוט וזול לייצור המוני

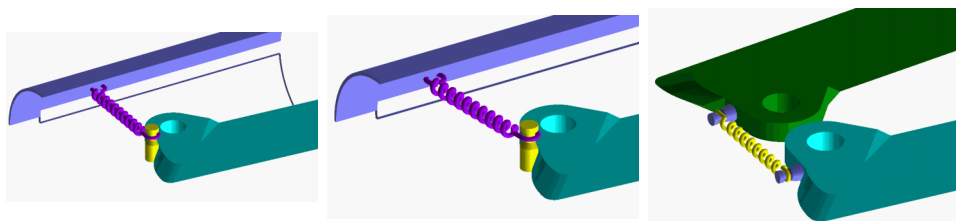
3. כל חלקים המנגנון הם חלקים Off the Shelf

בתווך מערכת זו בחרנו מערכת מכנית פשוטה ביותר ביותר - קפיץ. בשלושת התרשימים הבאים (19 – 21) מתארות שלושה מערכות מסווג זה כאשר: במערכת A שני הכנפיים מחוברים בינהם בקפיץ במערכות B ו-C הכנפיים מחוברים עם קפיץ לדופן המונוגדת לכנה, כאשר השוני ביןן היה אך ורך בזווית ציר אורך של הקפץ לבין ציר המזלט.

3.7.1 חישוב כוח הקפיץ לפתיחה הכנף ממצב סגור למצב פתוח

חישוב זה נעשה בעזרת משווה המתארת סיבוב של קורה סביב נקודה מסוימת כאשר יש לה תאוצה זוויתית מסוימת וישנים כוחות הפועלים עליה.

$$(3.9) \quad I\ddot{\theta} = \sum M_0$$



איור 3.21: קיפול
כנפיים: מערכת C

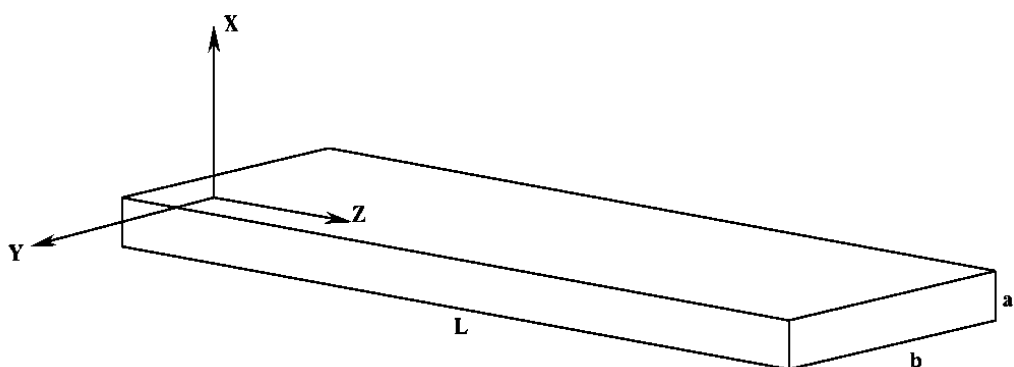
איור 3.20: קיפול
כנפיים: מערכת B

איור 3.19: קיפול
כנפיים: מערכת A

כasher:

- I - מומנט אינרציה של הקורה (במקרה שלנו כנף)
- θ - תאוצה זוויתית של הקורה (במקרה שלנו כנף)
- $\sum M_0$ - סכימה של מומנטים סביב נקודת סיבוב

כדי לחשב את מומנט האינרציה של הכנף נעשתה הדמייה של הכנף לקורה מלכנית פשוטה בממדים הדומים לה.



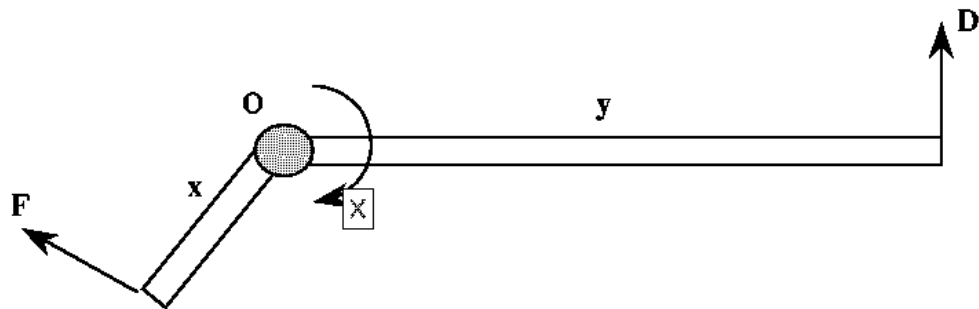
כasher הממדים של הקורה:

- a - 16.97 מ"מ
- b - 4100 מ"מ
- L - 462.9 מ"מ

נוסחת החישוב של מומנט אינרציה זה היא:

$$(3.10) \quad I_{xx} = \frac{1}{12}m(a^2 + 4L^2)$$

מערכת אשר מדמה את הכנף שלנו בפועל נראהת כ:



ופיתוח של משווהה לסיבוב הקורה סביב נקודת מסויימת יביא ל:

$$(3.11) \quad \begin{aligned} I\ddot{\theta} &= \sum M_0 \\ I\ddot{\theta} &= F \cdot x - D \cdot y \\ F &= \frac{I\ddot{\theta} + D \cdot y}{x} \end{aligned}$$

כאשר:

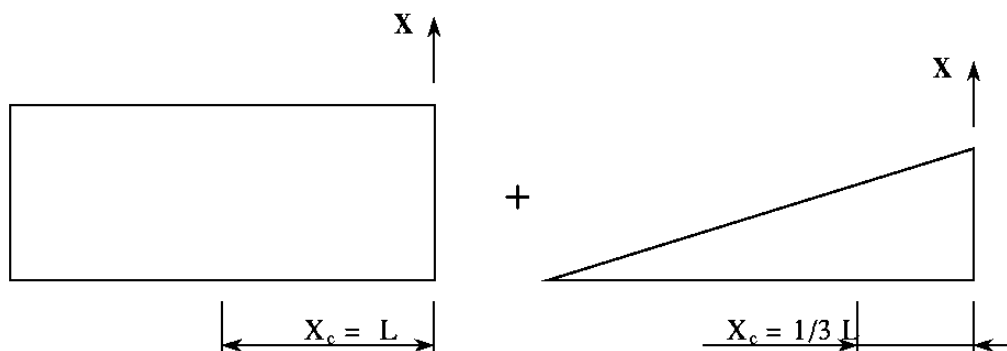
F - כוח הקפיז

D - מוח הגרר המתקבל מחישובים הקודמים

x - מרחק עד להפעלת מוח הקפיז (נתון גיאומטרי = 38.56 מ"מ)

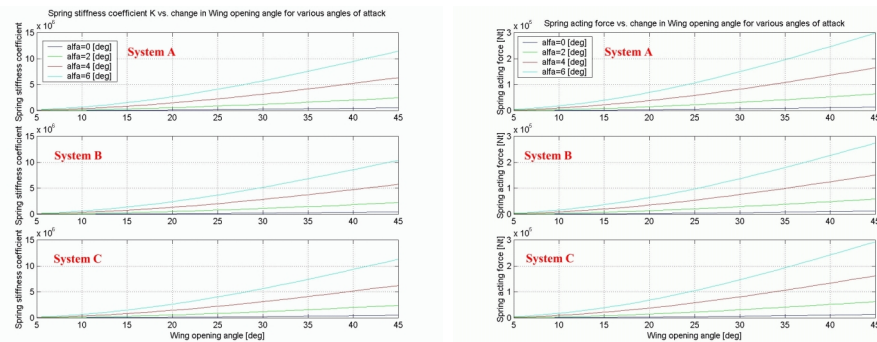
y - מרחק עד להפעלת מוח הגרר

ניתוח של כוח הגרר לאורך הכנף מראה כי כוח הגרר מתפלג בצורה טרפזית לאורך הכנף ולכן y יהיה מרכז המבוקש של שני גופים גיאומטריים: מלבן + משולש. נקודת זו מוחושבת לפי:



$$(3.12) \quad X_c = \frac{\sum \Delta A_i \cdot X_{c,i}}{\Delta A_i}$$

תוצאות החישוב של כוח הקפיצ' גם מקדם הקשיחות ניתן לראות בתרשימים
1-23 כוח הקפיצ'



איור 3.23: מקדם הקשיחות

איור 3.22: כוח הקפיצ'

כוח הקפיצ'			
מערכת C [KNt]	מערכת B [KNt]	מערכת A [KNt]	זווית התקפה [deg] α
13.42	12.54	13.66	0
62.82	58.70	63.95	2
162.41	151.76	163.32	4
294.28	275.6	299.85	6

מקדם הקשיחות של תקציב			
מערכת C [KNt/mm]	מערכת B [KNt/mm]	מערכת A [KNt/mm]	זווית התקפה [deg] α
517	475	525	0
2422	2224	2456	2
6262	5750	6350	4
11359	10430	11517	6

לכעורה ניתנו לראות כי המערכת אשר בחרנו היא מערכת אשר לא תוכל לעמוד בעומסיהם המתפתחים. דבר זה ניתן לראות מכך שמקדמי קשיות של הקפיצים בשלושת המערכות האלה הם גדולים מדי בשבייל שקפיץ במימדים החדשניים לנו יוכל לעמוד בהם. מסקנה: ישנו צורך בניהוה ותכן מערכת חדשה אשר תעמוד בדרישות ובכוחות המתפתחים.

פרק 4

תכנון מערכת בקרת טיסה

4.1 רקע תאורטי

4.1.1 דינמיקה, משוואות תנועה של המזל"ט:

כוחות:

$$(4.1) \quad \begin{cases} \frac{dm}{dt}U + m(\dot{U} + QW - RV + g\sin\theta) = X + T_X \\ \frac{dm}{dt}V + m(\dot{V} - PW + RU - g\sin\phi\cos\theta) = Y \\ \frac{dm}{dt}W + m(\dot{W} + PV - QU - g\cos\phi\cos\theta) = Z \end{cases}$$

משוואות התנועה הם בציריו גוף של המזל"ט.

הנחות במהלך פיתוח המשוואות:

1. דחף עובר רק בציר X_B :

2. בהמשך הפיתוח נניח כי מסה קבועה

הקשר בין כוחות אוירודינמיים, אשר נתונים בציריו רוח, לבין כוחות אוירודינמיים:

$$(4.2) \quad \begin{aligned} X &= -D \cos \beta \cos \alpha + L_y \sin \beta \cos \alpha + L \sin \alpha \\ Y &= -D \cos \beta - L_y \cos \beta \\ Z &= -D \cos \beta \sin \alpha + L_y \sin \beta \sin \alpha - L \cos \alpha \end{aligned}$$

כאשר:

U, V, W : אלו רכיבי מהירות בציריו גוף
 P, Q, R : קבועים זוויתיים בציריו גוף

- ϕ : אווית גלגול (יחסית לצירי הארץ NED)
 θ : אווית עלה-ירוח (יחסית לצירי הארץ NED)
 ψ : אווית סבסוב (יחסית לצירי הארץ NED)

- D : כוח גרא (בצירי רוח)
 L : כוח עילוי (בצירי רוח)
 L_y : עילוי צד (בצירי רוח)

מומנטים:

$$(4.3) \quad \begin{cases} I_x \dot{P} - I_{xz} PQ + (I_z - I_y) RQ = L_A \\ I_y \dot{Q} + I_{xz}(P^2 - R^2) + (I_x - I_z) PR = M_A \\ I_z \dot{R} - I_{xz} \dot{P} + (I_y - I_x) pQ = N_A \end{cases}$$

L_A, M_A, N_A : מומנטים אוויאודינמיים בציר גוף
 בazel'ט קיימת סימטריה סביב מישור $XOZ \Rightarrow I_{xy} = 0$
 בazel'ט קיימת סימטריה סביב מישור $XOY \Rightarrow I_{yz} = 0$
 בazel'ט לא קיימת סימטריה סביב מישור $ZOY \Rightarrow I_{xz} \neq 0$

מומנטי אינרציה:

$$(4.4) \quad \begin{aligned} I_x &= \int_n (x^2 + z^2) dm \\ I_y &= \int_n (x^2 + z^2) dm \\ I_z &= \int_n (y^2 + z^2) dm \\ I_{Pxz} &= \int_n (xz) dm \end{aligned}$$

משוואות קינמטיות:

$$(4.5) \quad \begin{cases} \dot{\phi} = P + Q \sin \phi \tan \theta + R \sin \phi \tan \theta \\ \dot{\theta} = Q \cos \phi - R \sin \phi \\ \dot{\psi} = \frac{Q \sin \phi + R \cos \phi}{\cos \theta} \end{cases}$$

קיבנו מערכת של 9 משוואות המתארות את תנועת המזל'ט, כאשר 6 מתוכן הן משוואות דינמיות ו-3 הן משוואות קינמטיות.

4.1.2 פיתוח פונקציות תמסורת אורכיות ורוחביות

נפריד את משוואות התנועה לאורכיות ורוחביות ע"י לינאריזציה לפי מודל ההפרות.

מערכת אורכית מסדר 4:

$$(4.6) \quad \begin{aligned} \dot{\bar{x}} &= A \cdot \bar{x} + B \cdot \bar{u} \\ \bar{x} &= \begin{pmatrix} u \\ w \\ q \\ \theta \end{pmatrix} \\ \bar{u} &= \begin{pmatrix} \delta_e \\ \delta_T \end{pmatrix} \end{aligned}$$

כאשר:

\bar{x} - וקטור מצב
 \bar{u} - וקטור בקרים

$$(4.7) \quad \begin{aligned} A &= \begin{bmatrix} X_u & X_w & 0 & -g \\ \frac{Z_u}{M_u} & \frac{Z_w}{M_w} & U_0 & 0 \\ 0 & 0 & M_q + M_w U_0 & 0 \\ 0 & 0 & 1 & 0 \end{bmatrix} \\ B &= \begin{bmatrix} X_{\delta_e} & X_{\delta_T} \\ Z_{\delta_e} & 0 \\ \frac{Z_{\delta_e}}{M_{\delta_e}} & 0 \\ 0 & 0 \end{bmatrix} \end{aligned}$$

כאשר: $\overline{M_0} = M_0 + M_{\dot{0}} \cdot Z_0$
 קיבלנו משוואות לינאריות, אשר מתוכן ניתן למצוא את פונקציות התמסורת של כל משתני מצב לכל הבקרים.
 נעביר את המערכת למישור לפלאס:

$$(4.8) \quad \begin{aligned} \bar{x}(s - A) &= B \cdot \bar{u} \\ s - A &= \begin{bmatrix} s - X_u & -X_w & 0 & g \\ -Z_u & s - Z_w & -U_0 & 0 \\ -\frac{Z_u}{M_u} & -\frac{Z_w}{M_w} & s - (M_q + M_w U_0) & 0 \\ 0 & 0 & -1 & s \end{bmatrix} \end{aligned}$$

בעזרת תוכנית ניתן למצוא את פונקציות התמסורת הבאות:

$$\frac{u}{\delta_e}, \frac{w}{\delta_e}, \frac{q}{\delta_e}, \frac{\theta}{\delta_e}, \frac{u}{\delta_T}, \frac{w}{\delta_T}, \frac{q}{\delta_T}, \frac{\theta}{\delta_T}$$

מערכת רוחבית מסדר 4:

$$(4.9) \quad \begin{aligned} \dot{\bar{x}} &= A \cdot \bar{x} + B \cdot \bar{u} \\ \bar{x} &= \begin{pmatrix} v \\ p \\ r \\ \phi \end{pmatrix} \\ \bar{u} &= \begin{pmatrix} \delta_a \\ \delta_r \end{pmatrix} \end{aligned}$$

\bar{x} - וקטור מצב
 \bar{u} - וקטור בקרים

$$(4.10) \quad \begin{aligned} A &= \begin{bmatrix} Y_v & Y_p & -(U_0 - Y_r) & g \cos \theta_0 \\ L_v & L_p & L_r & 0 \\ N_v & N_p & N_r & 0 \\ 0 & 1 & 0 & 0 \end{bmatrix} \\ B &= \begin{bmatrix} 0 & Y_{\delta_r} \\ L_{\delta_a} & L_{\delta_r} \\ N_{\delta_a} & N_{\delta_r} \\ \bar{M}_{\delta_e} & 0 \\ 0 & 0 \end{bmatrix} \end{aligned}$$

קיבלנו משוואות לינאריות, אשר מתוכן ניתן למצוא את פונקציות התמסורת של כל משתני מצב לכל הבקרים.
 נעביר את המערכת למישור לפلس:

$$(4.11) \quad \begin{aligned} \bar{x}(s - A) &= B \cdot \bar{u} \\ s - A &= \begin{bmatrix} s - Y_v & -Y_p & (U_0 - Y_r) & -g \cos \theta_0 \\ -L_v & s - L_p & -L_r & 0 \\ -N_v & -N_p & s - N_r & 0 \\ 0 & -1 & 0 & s \end{bmatrix} \end{aligned}$$

בעזרת תוכנית ניתן למצוא את פונקציות התמסורת הבאות:

$$\frac{v}{\delta_a}, \frac{p}{\delta_a}, \frac{r}{\delta_a}, \frac{\phi}{\delta_a}, \frac{v}{\delta_r}, \frac{p}{\delta_r}, \frac{r}{\delta_r}, \frac{\phi}{\delta_r}$$

במיל"ט שלנו הינו הוא בעזרת אג' בצורת "פלוס" בעל הגה גובה דיפרנציאלי והגה כוון דיפרנציאלי, כאשר:
 δ_e : הגה גובה כמו אג' מונובלוק

δ_a : הגה גובה דיפרנציאלי כמו מאזנות

δ_r : שני הגהי כוון

δ_T : מצערת

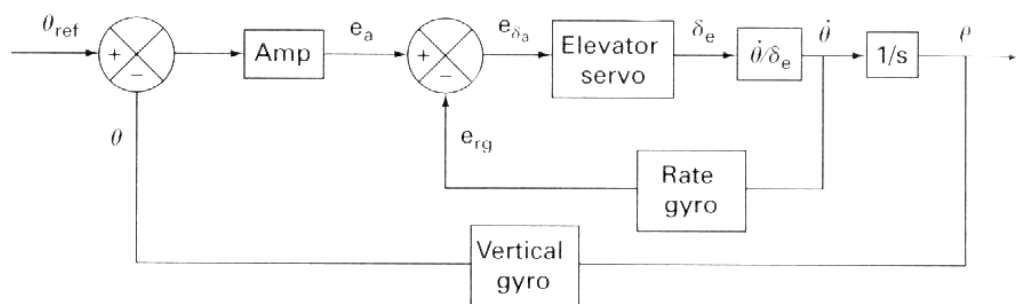
פונקציות תמסורת אותן פיתחנו, מתארות את תגובת המטוס לכניות בהגאים.
את ההתנהגות הזאת צריכים לבקר בעזרת Autopilot.

4.1.3 חוגי בקרה עיקריים

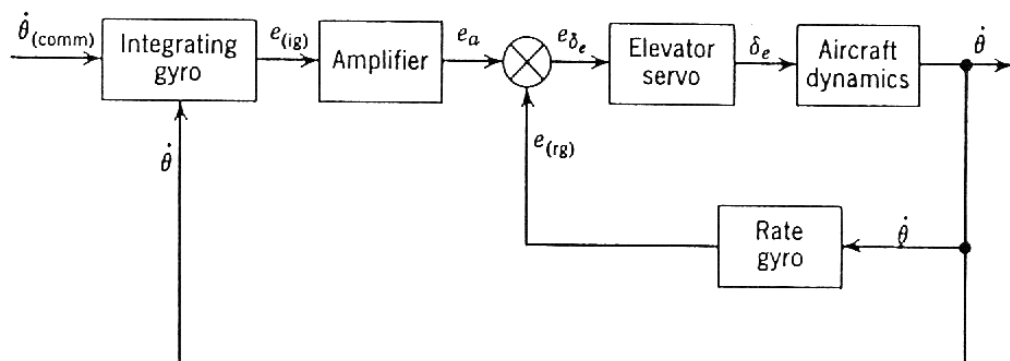
בפרק זה נציג את חוגי הבקרה הקיימים ברוב טיסים אוטומטיים. הבקרה בהם מתחכעת בחוג סגור לפי שיטות קלסיות.

בעזרת דיאגרמות בלוקים נתאר את חוגי הבקרה של משטני מצב הבאים:

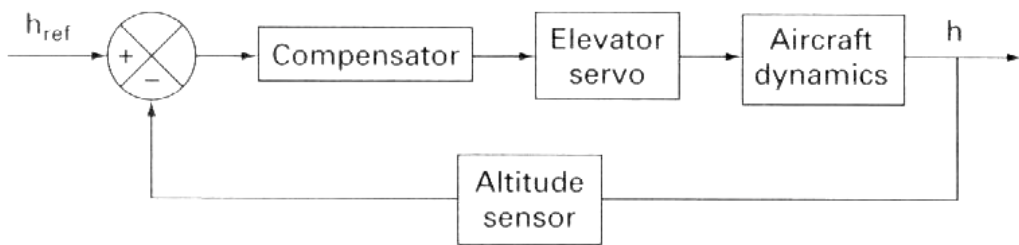
1. בקרת זווית עלרוד θ :



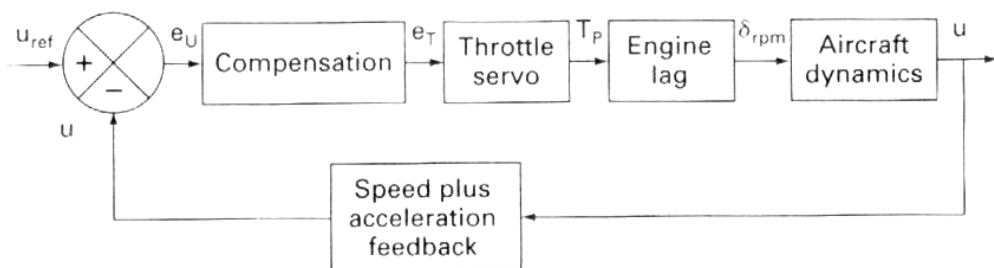
2. בקרת קצב עלרוד $\dot{\theta}$:



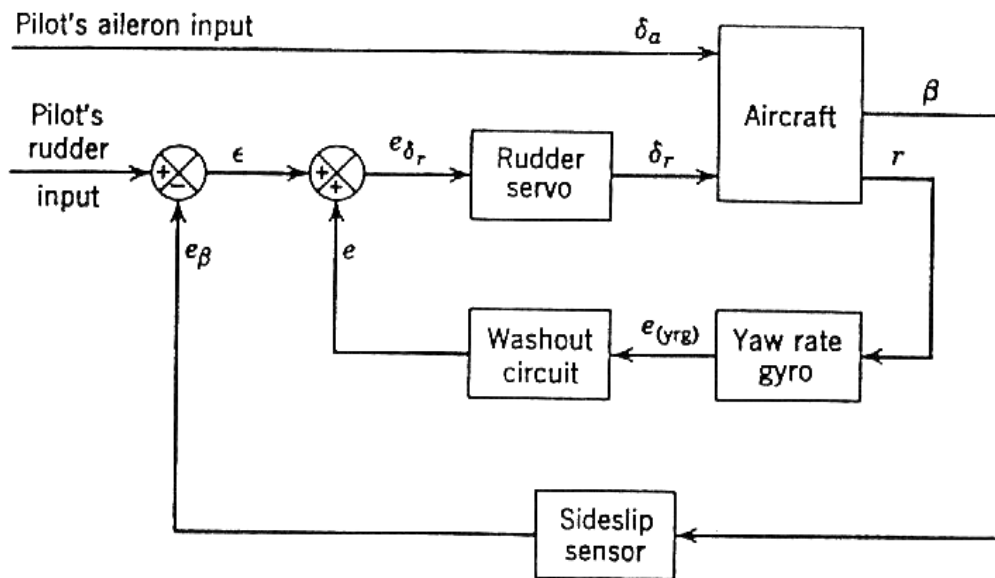
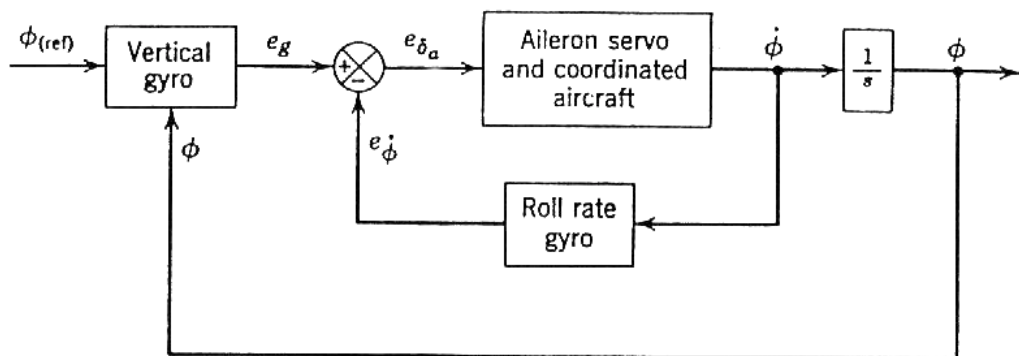
3. שמירת גובה נתון: h :

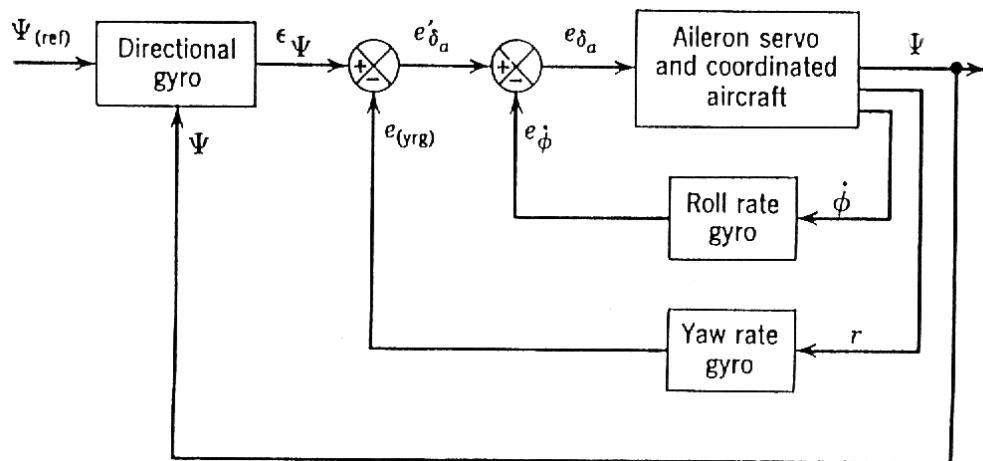


4. בקרת מהירות ע"י מצערת:

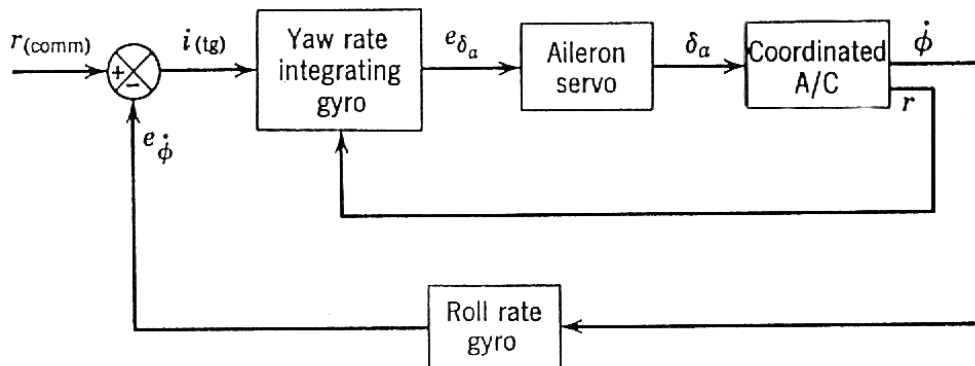


5. תאום בפניה (לדימוי מטוס F-16)

*Block diagram of system using sideslip to obtain coordination.*6. בקרה על זווית גלגול ϕ :

7. שמירת זווית איזימוט ψ :

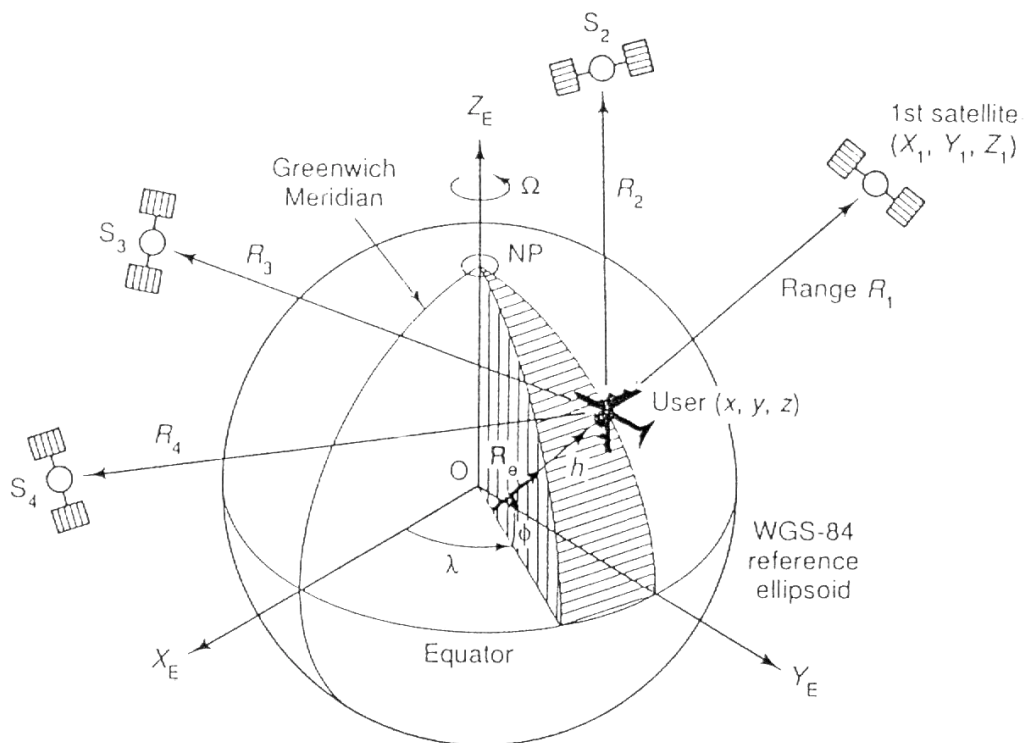
8. בקרת קצב פניה:



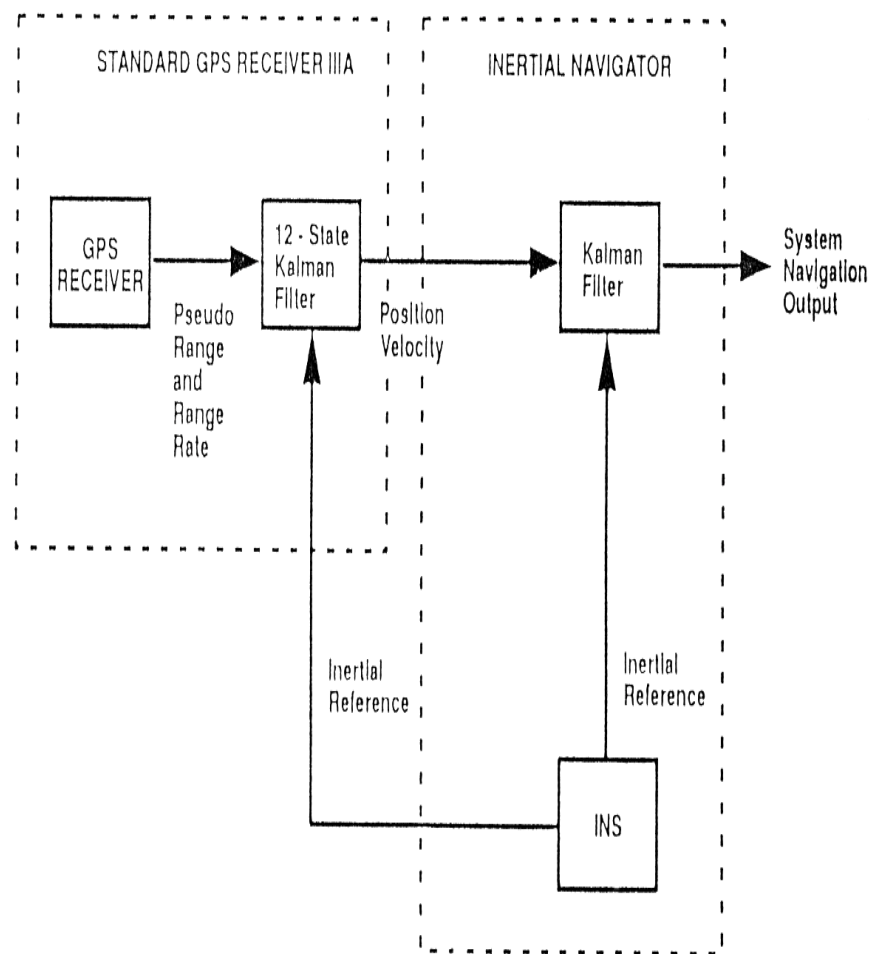
- 4.1.4 מדדים לקביעת אוריאנטציה במרחב לצורך לכוונת ניווט
לכוונת ניווט והנחיה של המזל"ט אנו צריכים לדעת בכל רגע ורגע את:
- מיקום במרחב
 - מהירות ותאוצה
 - מצב זוויתי
 - מהירות זוויתית לצורך מדידה של פרמטרים אלו נשתמש בשתי מערכות מדידה :

1. INS (Inertial Navigation System) : מערכת ניווט אינרציאלית רתומה (Strapdown), ז"א כל המדים רתומים לציריו גוף המזל"ט. המערכת כוללת בתוכה:

- (א) שלושה סיבוני נגורת Rate Gyros, המודדים קצבים זוויתיים לציריו הגוף P, Q, R .
 - (ב) שלושה מדדי תאוצה המודדים את a_x, a_y, a_z לציריו גוף.
 - (ג) מחשב, לצורך חישוב מטריצת הטרנספורמציה מציריו גוף לציראים אינרציאליים. המחשב מקבל נתונים מהמדדים ופותר משוואות דיפרנציאליות למציאת מטריצת מעבר.
- מערכת INS נותנת תוצאות טובות מאוד לטוחה קצר אבל עם הזמן מתפתחות שגיאות גדולות עקב סחיפות בסביבונים ובmdi תאוצה.
2. GPS (Global Positioning System) : מערכת מקבלת אותות לפחות מ-4 לוויינים שונים, אשר מצויים במרחב ידוע. על סמך הפרשי זמן בין שידור החוות ע"י לוין לקלטתו ע"י מקלט GPS, המערכת מчисבת את קוארדי-натות X, Y, Z של המזל"ט במרחב, אפשר ע"י אינטגרציה גם לקבל מהירות ותאוצה. המערכת לא נותנת מצב זוויתי. המדידות של GPS הן טובות לטוחה ארוך, אך רועשות מאוד בטוחה קצר.
3. INS משולב GPS: ע"י שילוב דו-כווני של שתי המערכות אפשר לקזז את רוב השגיאות ולקבל את וקטור המצב של המזל"ט בדיק טוב מאוד.



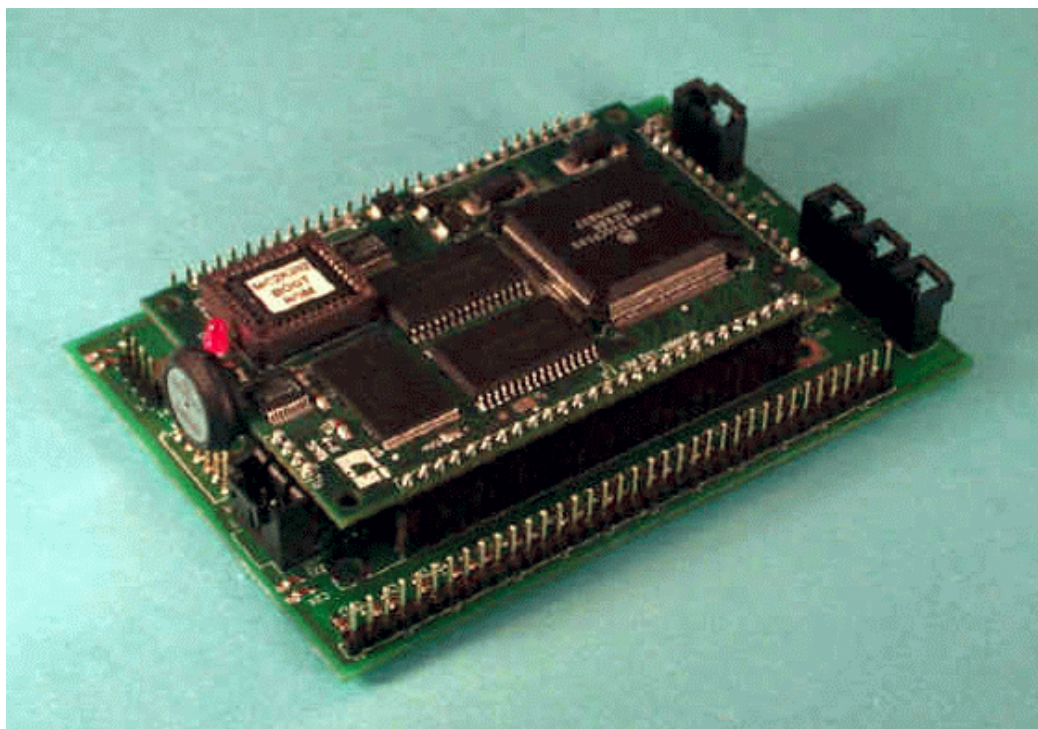
איור 4.1: דיאגרמה GPS



איור 4.2: דיאגרמה INS+GPS

למימוש מע' הבקשה של המזול"ט בחרנו במערכת קיימת ואולה יחסית.

Control system devices and MP-2000 (Full- 4.2 Feature Autopilot)



4.2.1 תאורה כללית

1. מימדים קטנים: $24/76/109mm$

2. משקל נמוך: $0.4kg$

3. מחיר נמוך: $5000\$$

4. מערכת מתאימה ליצוב והנחיה של כל מזול"ט

5. תקשורת דו-כיוונית ע"י RF Modem

4.2.2 תאורה טכני

1. מערכת אוטונומית לחלווטין

2. יכולת סימולציה בעזרת המחשב

3. חיבור למחשב PC מאפשר הזנת נתוניים לפני המראת:

(א) נתוני טיסה-מסלול

(ב) תכונות הזנה של הגברי הבקרה לביצועים אופטימליים

4. מעבד מהיר: *Motorolla68332*

5. מערכת משתמש ב-GPS משולב עם INS

6. חיבור למערכת הסרוו המתאימה לצורכי העברת פקודות להగברים

7. יכולת בקרה קרקעית

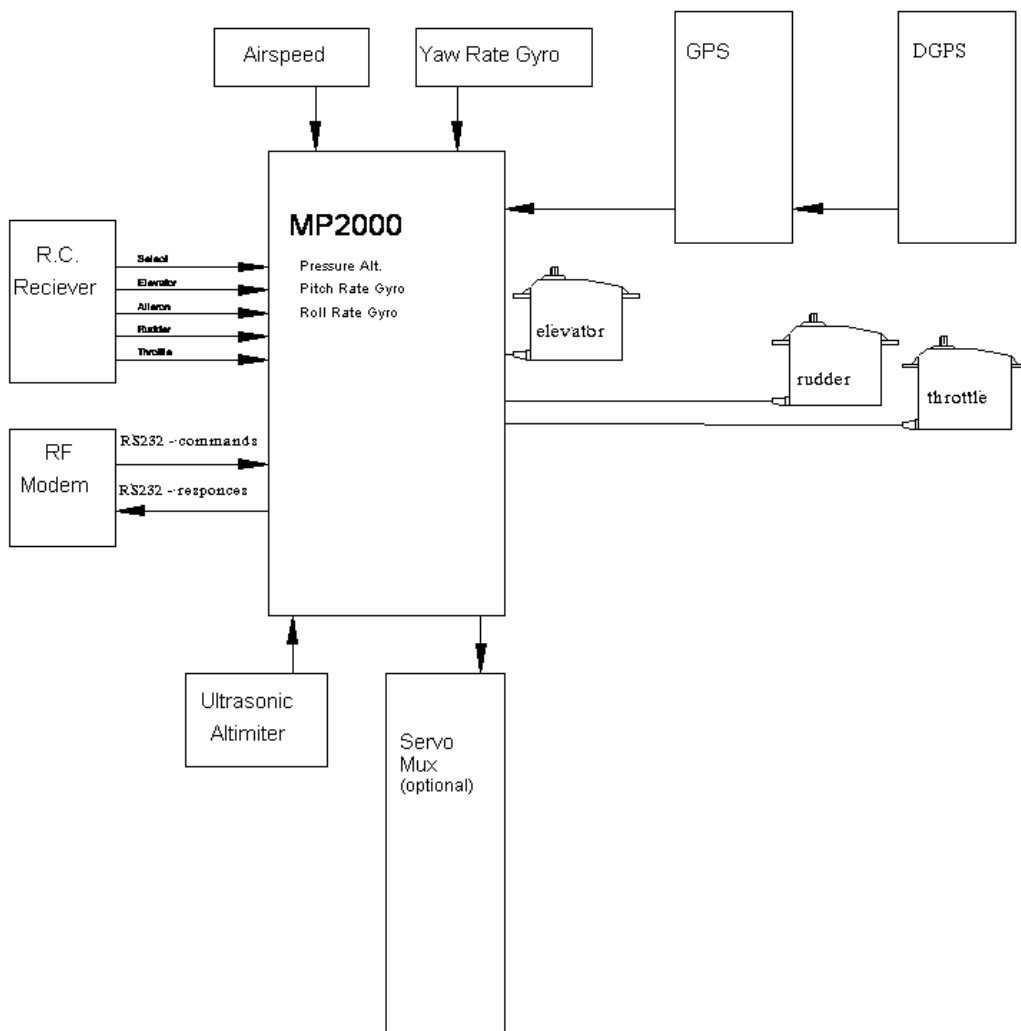
4.2.3 מערכות בקרה עיקריות

1. שמירת מהירות

2. שמירת גובה

3. תיאום בפנים (דימיוי למוטס F-16)

4.2.4 דיאגרמת בלוקים



4.2.5 Installation

The MP2000 should be mounted close to the center of gravity, with the processor board upright, and the power connectors facing forward (the direction of flight). Table 2.1 lists the sizes and weights of the components that make up a typical MP1000 system. Note that additional room around some of

Device	Size	Weight
MP2000CORE	4.3 by 3.0 by 0.9 inches 109 by 76 by 23 mm	3.5oz (100g)
MP2000SP1 (airspeed sensor)	1.4 by 1.0 by 0.6 inches 35 by 25 by 15 mm	<0.5oz (<15g)
MP2000AGL (AGL sensor)	2.9 by 1.9 by 1 inch 73 by 48 by 24 mm	1oz (28g)
Trimble GPS (GPS receiver)	3.2 by 1.3 inches by 0.5 (w. con. 3.7 by 1.3 inches) 1 by 33 by 13 mm (w. con. 94 by 33 mm)	0.5oz (14g)
DCI OEM DGPS (DGPS receiver)	3.5 by 2.3 by 0.5 inches (w con. 4.0 by 2.3 inches) 89 by 58 by 13 mm (w. con. 101 by 58 mm)	2oz (57g)
MP2000ANT (GPS antenna)	2.3 by 1.9 by 0.6 inches 58 by 48 by 15 mm	5oz (140g)
MP2000CMPS (compass)	2.0 by 2.0 by 0.8 inches 51 by 51 by 20 mm	1oz (28g)
Total		<14oz (<400g)

Table 4.1: MP2000 Components: Sizes and Weights

these components is required to accommodate connectors. This is especially true of the MP2000CORE, the Trimble GPS and the DCI OEM DGPS. The dimensions do not provide any space for connectors as the amount of room required depends upon the actual connector used.

4.2.6 תכנון זהנת של הגברי הבקרה לביצועים אופטימליים:

ראשית מתכננים את כל הגברים בעזרת סימולציה מחשב לאחר מכון ממצאים ניסויי טיסה, כאשר השיליטה על המזל"ט נעשת מהAKERKAU בעזרת RC Receiver הגברים מתואימים עד לקבלת התנהלות המזל"ט הרצiosa

4.2.7 הסדר המומלץ לתכנון הגברי המחשב

שמירה על זווית עילרוד אoit החלקה הרצויות

שמירת מהירות וכיוון

שמירת גובה, כולל בקורס מצערת

שמירת מהירות, כולל בקורס מצערת

שמירה על גובה בגבהים נמוכים

4.2.8 פקודות טיסה ומסלול

בתוכן מחשב האוטופילוט מתוכנות פקודות לתוכן מזנים פרמטרי טיסה נדרשים (עבור כל פקודה פרמטרים שונים) ומול"ט מבצע אותן אוטומטית:

approach origin, destination

Initiate an approach along a line stretching from the origin waypoint and ending at the destination waypoint. The aircraft turns and follows this line while loosing altitude until it reaches the flare altitude at the destination waypoint. The engine power is increased if the aircraft is below the glideslope and decreased if the aircraft is above the glideslope. If the aircraft is above the glideslope, and its descent rate with the engine at idle is insufficient to restore it to the glideslope, the aircraft will end up at an altitude higher than the flare altitude when it crosses the destination waypoint. In this case, the aircraft will continue along the line defined by the origin waypoint and the destination waypoint. It is important to ensure that the aircraft is sufficiently far from the destination waypoint to allow it to descend. The throttle idle setting also has a significant effect on descent rate. The MP2000 automatically turns the engine off once it passes the destination waypoint.

climb altitude

Initiate a climb to altitude. The climb is performed at best climb speed with full throttle. The MP2000 attempts to maintain the current heading. The climb command sets the desired altitude.

waitClimb

Waits until a climb, initiated by the climb command, is complete (i.e. the aircraft reaches the desired altitude).

pClimb altitude

Initiate a climb to altitude. The climb is performed at best climb pitch with full throttle. The MP2000 does not attempt to maintain the current heading, but does attempt to keep the wings level.

circuit

Start a circuit from the current position. The MP2000 flies from the current location to the circuit entry point while descending to circuit altitude. If the aircraft is still above circuit height when it reaches the circuit entry point, it circles at the circuit entry point while descending, until the circuit altitude is reached. The MP2000 flies a downwind, base and final circuit legs, flares and lands. The aircraft lands at the same location and in the same direction as it took off. The orientation of the circuit (left or right) can be changed in the runway settings. Also, the aiming point can be offset from the takeoff point.

flare

Initiates a flare. The MP2000 stops the engine and holds the flare altitude as long as possible.

fromTo origin, destination

Follows the line defined by the points origin and destination while maintaining the current altitude and airspeed. The fromTo command sets the desired heading.

flyLow

The MP2000 follows the current heading at an altitude of eight feet. This command is used for testing.

flyTo waypoint

Fly to waypoint while maintaining the current altitude and airspeed. The flyTo command sets the desired heading.

initFromTo origin, destination

Setup MP2000 to fly along the line defined by origin, destination. Similar to the fromTo command except that the MP2000 does not wait until the destination waypoint has been reached but rather immediately executes the next instruction.

waitFromTo

Wait until the destination has been reached.

takeoff

The MP2000 initiates a takeoff once either S1 is closed or the throttle is advanced (assuming RC throttle override is enabled). The aircraft accelerates to flying speed and then becomes airborne. During the takeoff run, the aircraft maintains its initial heading. The takeoff command sets the desired heading.

turn direction, right

The MP2000 initiates a turn to direction. If right is one the turn is to the

right, if right is negative one the turn is to the left, otherwise, the turn is in the closest direction. The turn command sets the desired heading.

turnCont duration

The MP2000 initiates a continuous turn for duration ticks (a tick is one fifth of a second). If duration is set to zero, the MP2000 turns continuously.

setControl type, parameter Described in Table 2.

4.2.9 מדידים

במזל"ט שלנו משתמשים במערכת GPS משולב INS. כאן מוצגת טבלת מערכות שונות של חברות Garmin, Trimble, King Iimorrow, Denel וכו' ב-GPS .Bendix King - Kln 35/135

4.2.10 בחירת קונפיגורציה servos

במערכת MP2000 קיימים חמיש Конфигурации שונות למערכת הservo לזרות שונות של היגוי הכליה הטיס:

Type	Description	parameter
elFromPitch	The elevator position is calculated from pitch error using a PID loop.	desired pitch
elFixed	The elevator is fixed in its neutral pos.	
elFromPitchNoI	The elevator position is calculated from pitch error using a PD loop (note no I term	desired pitch
rdFromSlip	The rudder position is calculated from y acceleration, to eliminate sideslip, using a PID loop.	
rdFromHdg	The rudder position is calculated from heading error using a PID loop. Used during takeoff ground roll.	
rdFixed	The rudder is fixed in its neutral position.	
rdFromHdgNoI	The rudder position is calculated from heading error using a PD loop. Used during takeoff ground roll.	desired heading
rdFromHvHdg	Yaw cyclic (rudder) position is calculated from heading error using a PID loop.	heading
thFixed	The throttle position is fixed.	throttle
thApproach	The throttle position is calculated from distance above glide slope via a PID loop.	position
thSpeed	The throttle position is calculated from airspeed error using a PID loop.	desired speed
thAlt	Throttle position is calculated from altitude error using a PID loop.	desired altitude
pitchAlt	Desired pitch is calculated from altitude error using a PID loop.	desired altitude
pitchDescend	Desired pitch is calculated from airspeed	
pitchFlare	Desired pitch is calculated from altitude error using a PID loop.	desired altitude
pitchSpd	Desired pitch is calculated from airspeed error using a PID loop.	desired airspeed
pitchOff	Desired pitch is not calculated.	
rollFixed	Desired roll is set to a fixed value of zero.	
rollFromHdg	Desired roll is calculated from heading error using a PID loop.	desired heading
rollOff	Desired roll is not calculated.	
hdgFromDest	Desired heading is set to the track between the current location and the next w.p.	
hdgOff	Desired heading is not calculated	

Table 4.2: MP2000:setControl commands and parameters

GPS								
manuf.	model	size mm x mm x mm	weight kg	time [min]	accuracy pos/alt/ speed	dynamics	\$\$\$	i/f
garmin	gps150	159x100x51	1.27	2/2.5	15m 0.1kn	695kn 3g		RS232, CDI, Autopilot
garmin	gps150xl	159x100x51	1.08	0.25/0.75	5m 0.1kn	999kn 6g	2590	ARINC 429, Aviation, PC Interface, Altitude Serializer, NavData® Card
garmin	gps155	159x140x51	1.57	3	15m 0.1kn	999kn 3g	3670	RS-232, RS-422, ARINC429 NMEA 0183, CDI/HSI; RMI
trimble	2101lio	146x197x76	21.48	3.5	15/35m 0.1kn	800kn 4g	?	Inputs: ARINC 407: Heading, Altitude, and TAS; ARINC 545/565:TAS (AC&DC) Outputs: ARINC 407 419/429 RS-232/422
trimble	8100	368x197x57	22.73	1	15/35m 0.1kn	800kn 3g	?	Inputs: Synchros: TAS, HDE, ALT, Pitch, ROLL ARINC 429:10 (high or low speed) Outputs: Synchros: 3 prng, Roll Steering; left-right; glide slope ARINC 561/568 ARINC 429: 5 discrete; 16
king	kln90b	160.3x30.8x334	2.66				4950	
king	kln89/89b	160.3x30.8x272	2.16				2450 4190	RS232, Database update using PC
king	kln35/135	158.7x50.8x28	0.94/2				1475	RS232, Database update using PC +COMM
IIImorrow	px50	158.6x50.8x28	0.61.179	25-55[sec]	15/25m	1000kn 4g	3995	Rs232
IIImorrow	px60	158.6x50.8x28	0.61.409	25-55[sec]	15/25m	1000kn 4g	2670	2xRs232 Outputs: CDI, annunciators?
IIImorrow	px65	158.6x50.8x28	0.61.409	25-55[sec]	15/25m	1000kn 4g	3180	Rs232 Outputs: CDI, annunciators?
Denel	nimbus n500	237x178x152	<8	25-55[sec]	50/100m 0.1k	12g		Rs422 (MIL STD 1553b) ARINC 429,
AutoPilots								
manuf.	model	size	type		\$\$\$	i/f		
s-tec	sys40 computer	83.2x63.8x191	.51.08	single axis	3596			
	yun coordinator	83.2x63.2x42.75	0.87	roll stabilization				
	roll servo	95.5x95.5x184.2	1.4					
s-tec	sys40x computer	83.2x63.8x191	.51.16	single axis			ARINC429	
	yun coordinator	83.2x63.2x42.75	0.87	roll stabilization				
	roll servo	95.5x95.5x184.2	1.4					
s-tec	sys60 computer	83.2x63.8x123	10.864	full single axis	3996			
	yun coordinator	83.2x63.2x42.75	0.87	roll axis				
	roll servo	95.5x95.5x184.2	1.4					
	roll computer	3.4x5.3x37.8	1.584					

טבלה 4.3: מערכות AutoPilots- GPS

Servo	normal	separate flaps	combined flaperons	separate flaperons	Elevons (our configuration)
S1	ailerons	ailerons	left aileron	left aileron	left elevon
S2	elevator left V tail	elevator or left V tail	elevator or left V tail	elevator or left V tail	right elevon
S3	rudder, right V tail or left split rudder	rudder, right V tail or left split rudder	rudder, right V tail or left split rudder	rudder, right V tail or left split rudder	upper rudder
S4	throttle	throttle	throttle	throttle	throttle
S5				right flap	
S6			right aileron	right aileron	
S7		flaps		left flap	
S8	right split rudder	right split rudder	right split rudder	right split rudder	down rudder

טבלה 4.4: קונפיגורציות שונות וקונפיגורציה של מזל"ט שלנו

4.3. מציאת מקדים אוירודינמיים

על מנת לתכנן מערכת בקרה שתמלא את דרישות שהוגדרו במפרט טכני יש להער-ץ את המקדים האוירודינמיים של המזל"ט. מתוך המקדים נוכל לקבל את הנורות האוירודינמיות בהם נשתמש בסימולציית מערכת הקרה של המזל"ט. הסימולציה מאפשרת מציאת ההגברים האופטימליים הנדרשים לתוכנות המכשור שבחנו.

האמצעים שעמדו ברשותנו הם:

1. בניית דגם מנהרה והרצתו במנהרה עבר-קולית. הדגם תוכנן בשתי גרסאות המתאימות למנהרה שנמצאת בפקולטה: גרסה שהותאמת במיוחד ליכולת הייצור של בית מלאכה הנמצא בפקולטה לאחר שהתברר שאין אפשרות לייצור הדגם בפקולטה תוכננה גרסה לייצור ב-CNC מהוץ בפקולטה.
2. בעקבות הסחתת בנושא של אישור הייצור של הדגם החלנו לבצע ניתוח אוירודינמי של המזל"ט באמצעות ה-CFD.

4.3.1. ניתוח אוירודינמי באמצעות CFD

יצירת הרשת חישובית

הרשת הינה מסוג "C-type hyperbolic, structured". הקואורדינטות במרחב חישובי מקיימות משווה דיפרנציאלית היפרבולית שבמקרה דו-ממדי מקבלת את הבאה:

$$[A] \overline{\left(\begin{matrix} x \\ y \end{matrix} \right)}_{\xi} + [B] \overline{\left(\begin{matrix} x \\ y \end{matrix} \right)}_{\eta} = \left(\begin{matrix} v \\ \bar{v} \end{matrix} \right)$$

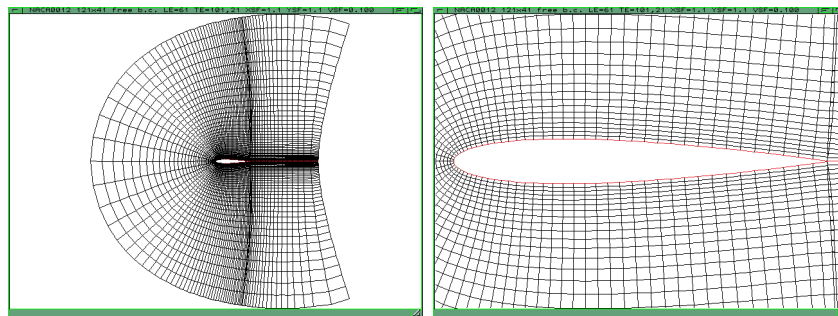
or with finite differences :

$$\left[-\frac{A_{i,j}}{2} \right] \overline{\left(\begin{matrix} x \\ y \end{matrix} \right)}_{i-1,j+1} + [B_{i,j}] \overline{\left(\begin{matrix} x \\ y \end{matrix} \right)}_{i,j+1} + \left[\frac{A_{i,j}}{2} \right] \overline{\left(\begin{matrix} x \\ y \end{matrix} \right)}_{i+1,j+1} = \left(\begin{matrix} v_{i,j} \\ \bar{v}_{i,j+1} \end{matrix} \right)_{i,j} + [B_{i,j}] \left(\begin{matrix} x \\ y \end{matrix} \right)_{i,j}$$

where :

$$[A] = \begin{bmatrix} x_{\eta}y_{\eta} \\ y_{\eta}x_{\eta} \end{bmatrix}; [B] = \begin{bmatrix} x_{\xi}y_{\xi} \\ y_{\xi}x_{\xi} \end{bmatrix}$$

רשת של פרופיל NACA 0012 נראית כפי שמתואר באירועים 3 ו-4. ניתן לראות הקטנת אורך התאים ליד שפות התקפה/orימה וציפוי נפח התאים ליד משטח הכנף. רשתות חישוביות של חלקים מזל"ט שונים מוצגות באירועים 5-7.



איור 4.3 Example of "C"-type grid **איור 4.4** Example of "C"-type grid (zoom on airfoil)

שיטת פיתרון

במקרה 2D חוקי שימור (מסה, תנע ואנרגניה) בזירה אוילרית מבוטאים ע"י משוואות:

$$\frac{\partial \hat{Q}}{\partial t} + \frac{\partial \hat{E}}{\partial \hat{\eta}} + \frac{\partial \hat{F}}{\partial \hat{\eta}} = 0$$

where :

$$\hat{Q} = \frac{1}{J} \begin{pmatrix} \rho \\ \rho u \\ \rho v \\ e \end{pmatrix}; \hat{E} = \frac{1}{J} \begin{pmatrix} \rho U \\ p\xi_x + \rho u U \\ p\xi_y + \rho v U \\ (p+e) U \end{pmatrix}; \hat{F} = \frac{1}{J} \begin{pmatrix} \rho V \\ p\eta_x + \rho u V \\ p\eta_y + \rho v V \\ (p+e) V \end{pmatrix}$$

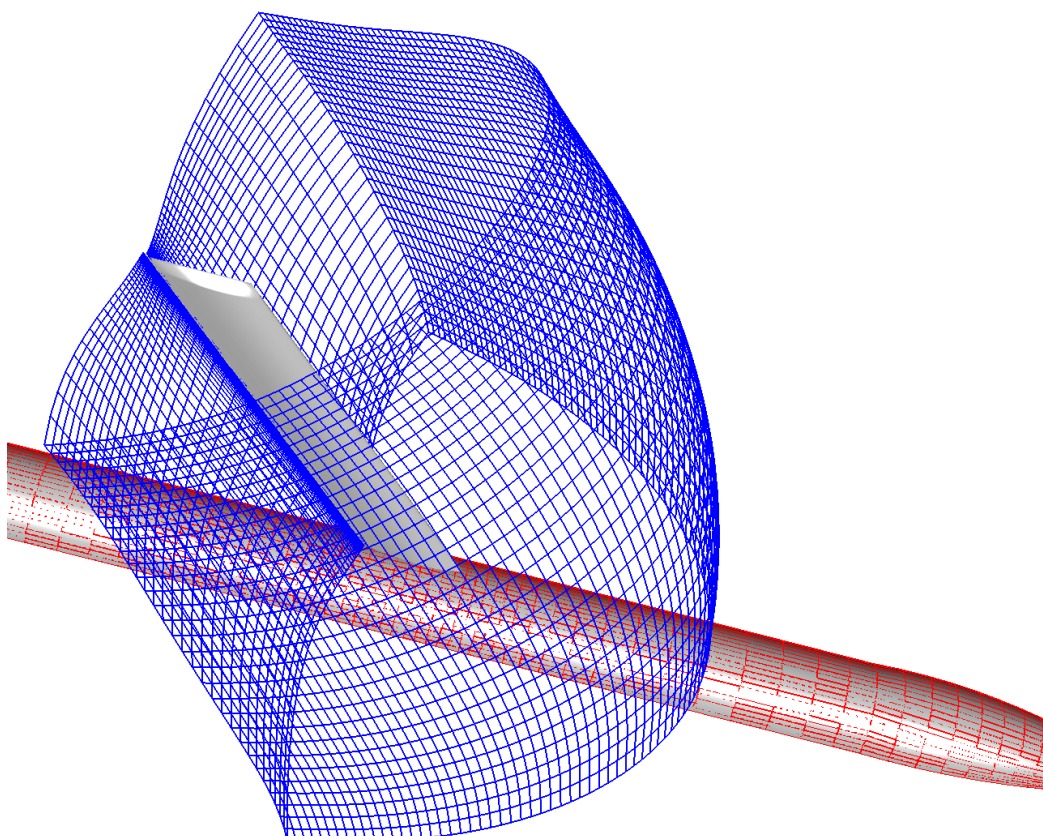
$$J = (x_\xi y_\eta - y_\xi x_\eta)^{-1}$$

u, v – physical velocities

U, V – contravariant velocities

מכאן הרחבת למקהה תלת ממדית היא מידית (למרות הביטויים הסופיים המשורבלים).

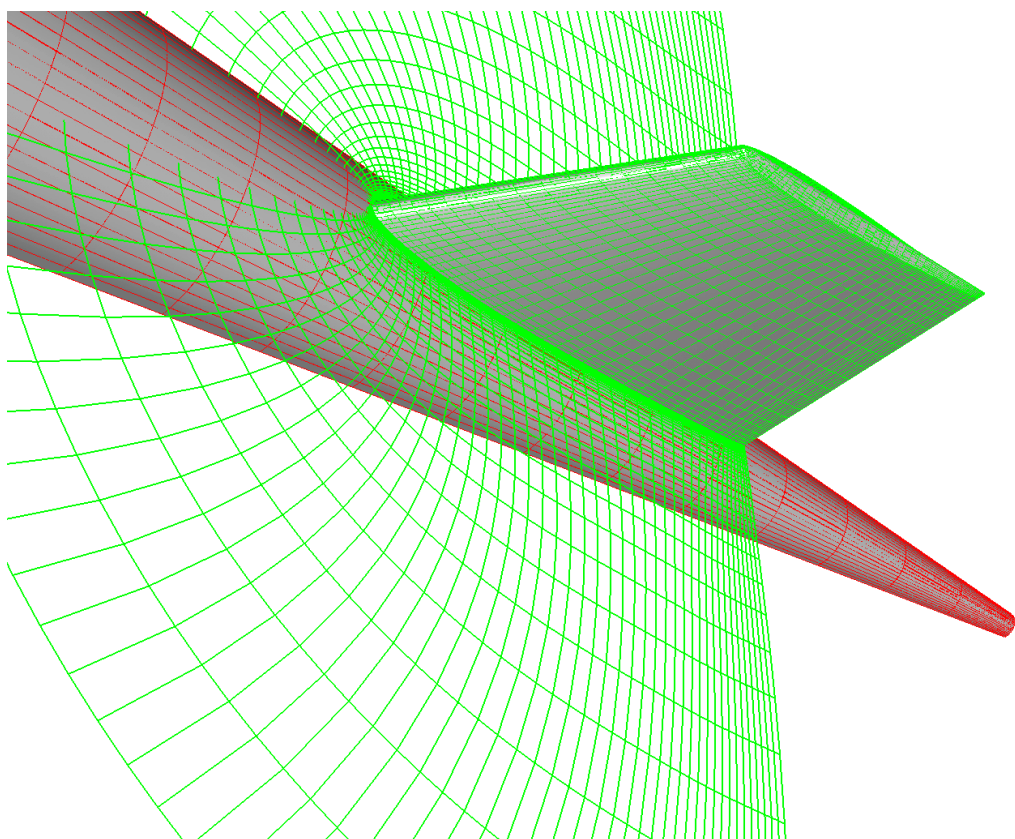
הפתרון יבוצע ע"י שיטה איטרטיבית כאשר כל אלמנט של המול"ט יפתר ברשות נפרד ובסКОמות החיבור בין האלמנטים יבוצע מעבר מידע כך שבסוף נקבל פתרון של שדה זרימה שלם.



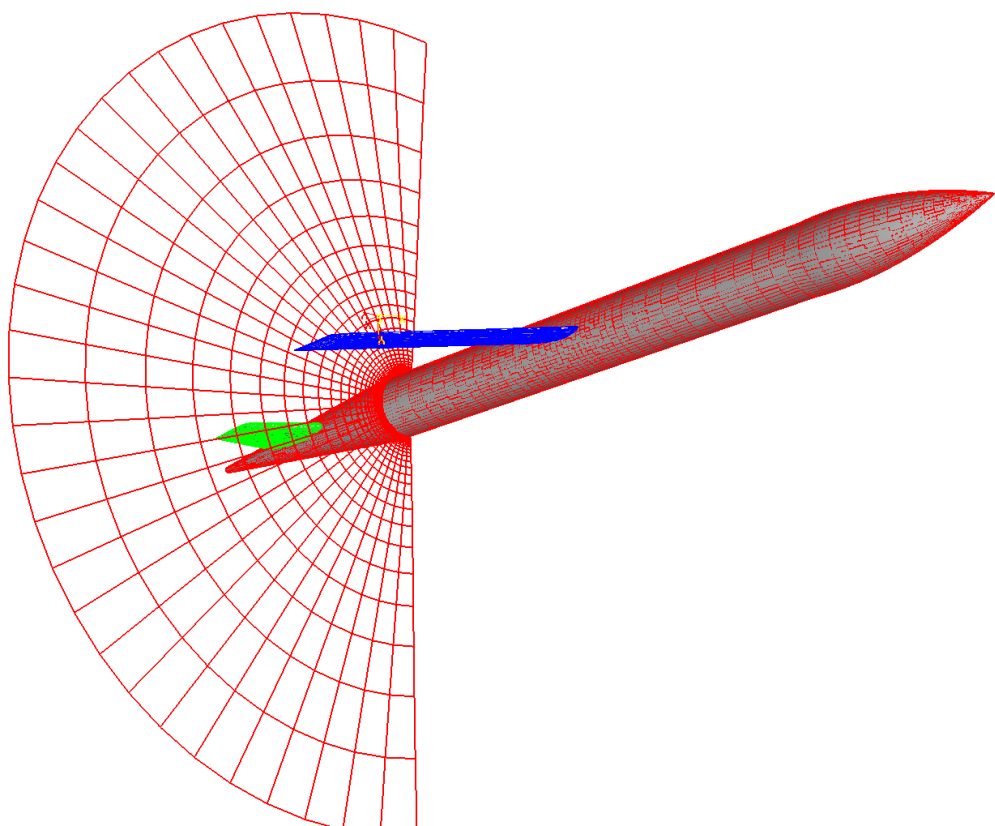
איור 4.5: "C"-type grid on the wing

ניתוח תוצאות

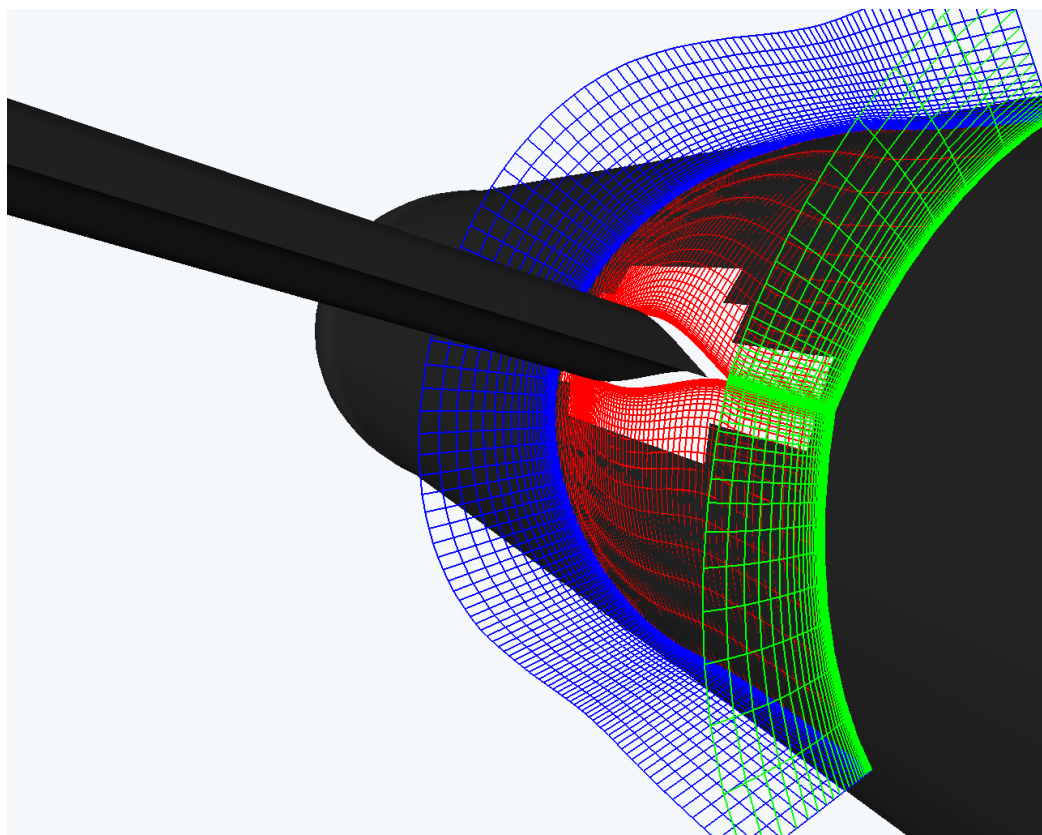
чисובים התבכשו בעזרת תוכנית של דר' יובל לוי. התוכנית מקבלת רשותות של חלקים המזל"ט, מأتරת נקודות חיבור ביניהם ויוצרת רשת הדבקה (Collar grid). הפתרונו מתבצע על רשותות תוך מעבר מיידע בין רשותות סמוכות (איורים 8 ו-9) דוגמאות של פתרון מובאות באיורים 10-11. נכון לרגע זה - אין עדין מספיק פתרונות כדי לקבל את המקדמים האוירודינמיים (чисובים מתבצעים על מחשבים שעומדים לרשות הסטודנטים ובמקרים רבים אינם מספיק משאבים לקבל פתרון).



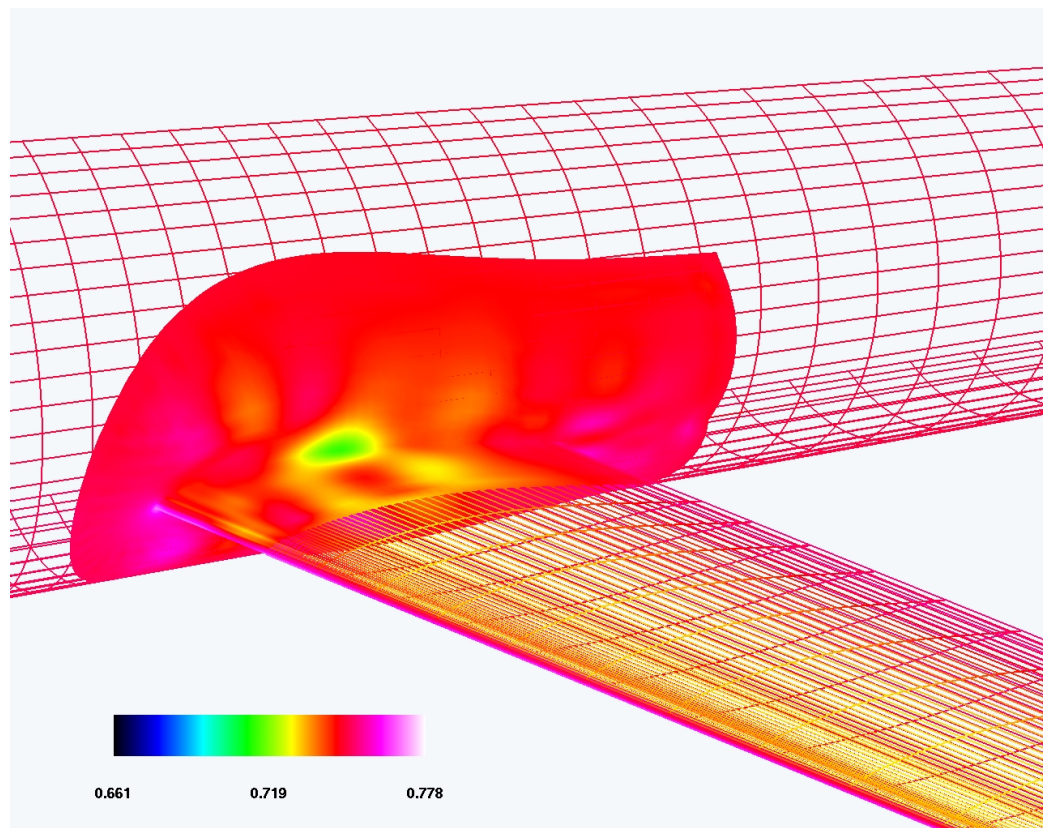
אייר 4.6 "C"-type grid on the tail :
המקרה של מטוס F/A-18



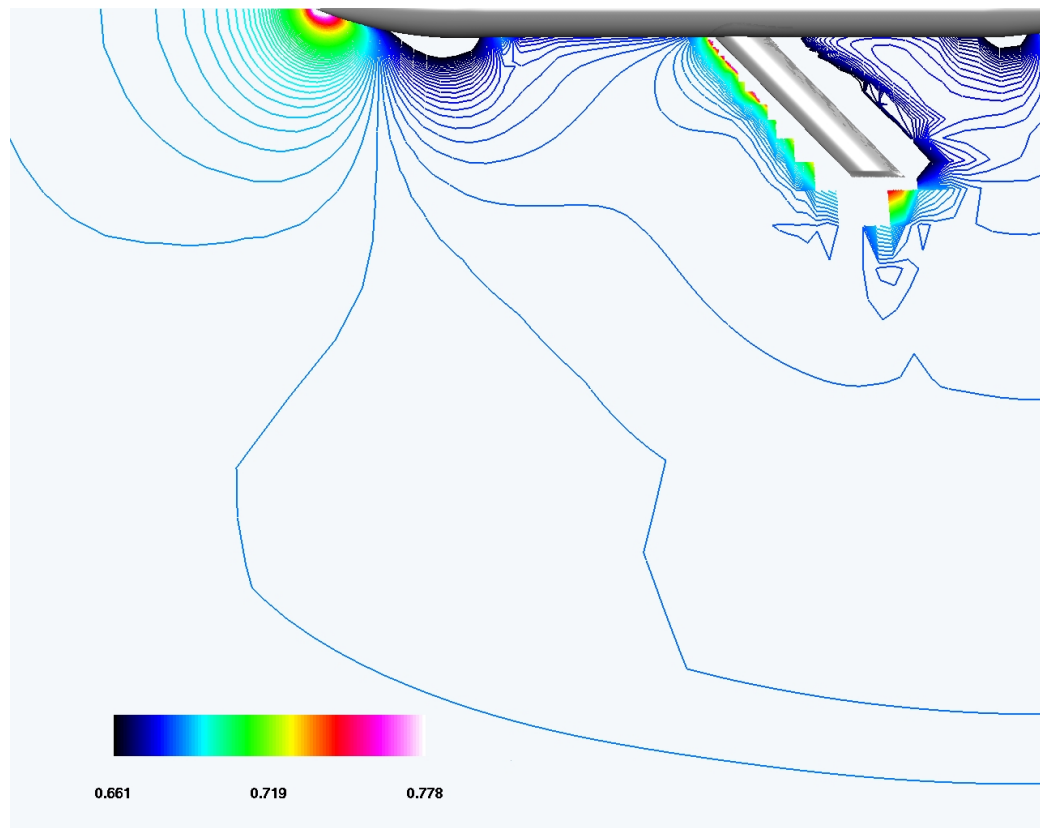
איור 4.7 Body grid



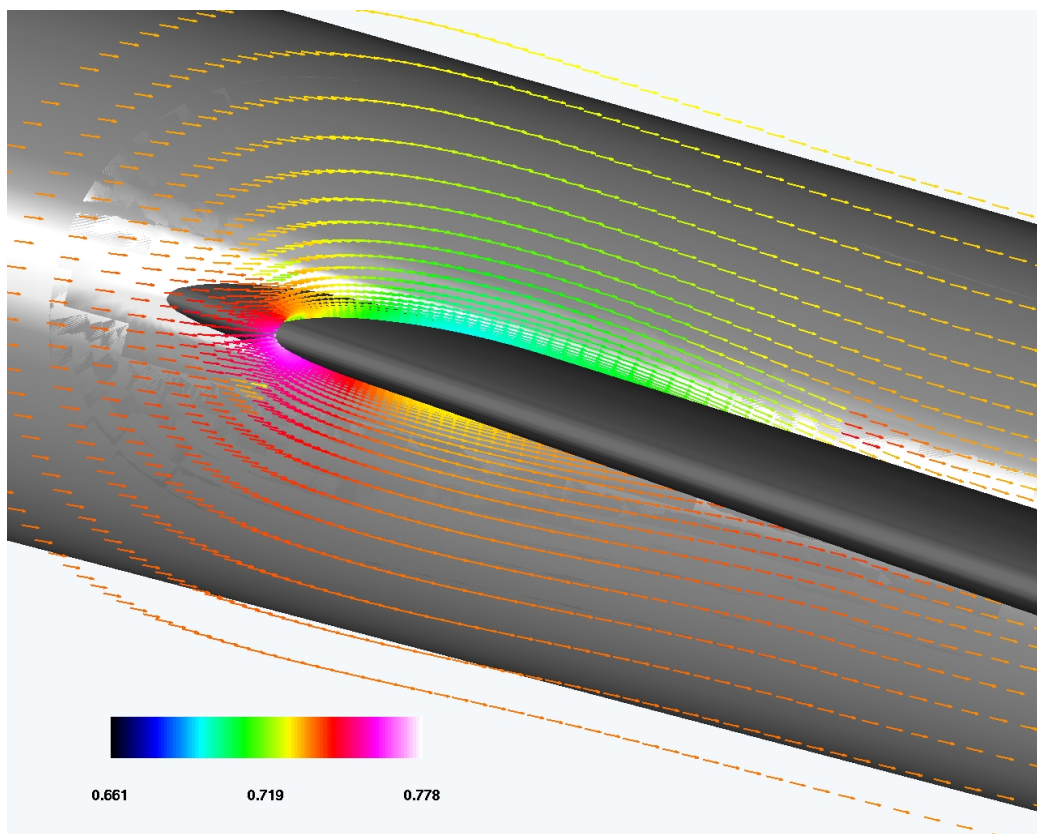
איך Collar grid :4.8



אייר 4.9 Collar grid - pressure distribution(Attack angle - 4° , $Mach = 0.6$)



איור 4.10 normalized pressure contours, (Attack angle - 4° , $Mach = 0.6$)



Vector field slice colored with normalized pressure, (Attack angle :**4.11**
- 4° , $Mach = 0.6$)

פרק 5

שטח חתך מכ"ם

5.1 מבוא

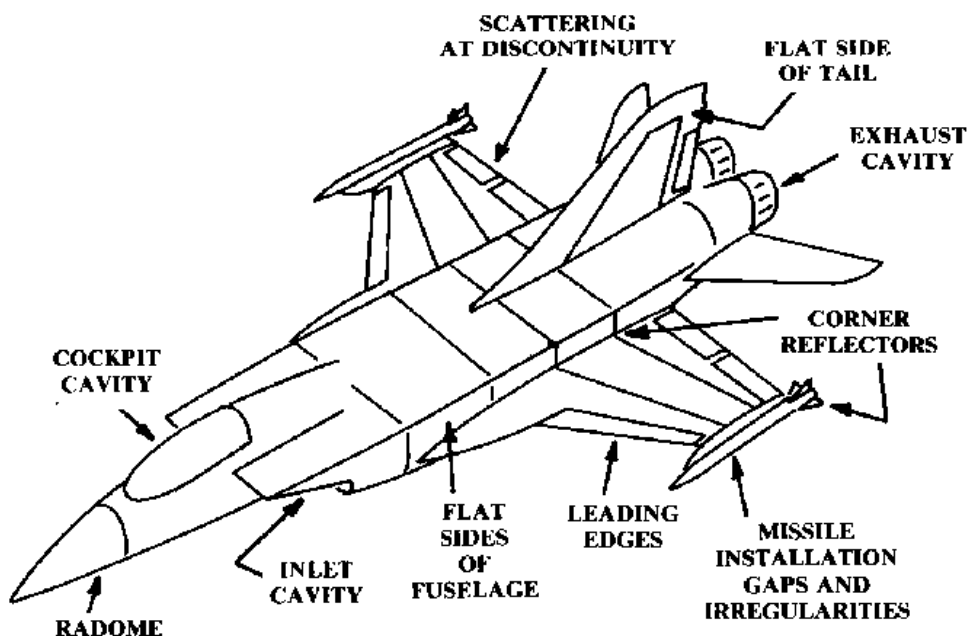
על מנת שמכ"ם יזהה מטרה או יוכל להשוות בין שני גופים, יש צורך בגודל כמותי המיצג את החזoor האלקטרומגנטי מהגוף, גודל זה מכונה שטח חתך מכ"ם-שח"ם (Radar Cross Section - RCS) שח"ם של גוף הוא שטח החתך של כדור מתכתי אקוויולנטי, שוות החזoor שלו זהה לאות החזoor של הגוף. בגוף כלשהו (כמו כלי טיס לדוגמה) החזoor בכל זוויתפגיעה הוא שונה (בניגוד לכדור), על כן שח"ם של גוף הוא פונקציה של זווית הפגיעה, כמו-כן משתנה השח"ם של הגוף על פי גודל הגוף, צורתו, אורך הגל של המכ"ם, והחומריים מהם עשויי הגוף. שח"ם לפי הגדרתו כשטח החתך של כדור נמדד במטרים בריבוע (m^2), יחידה נוספת בשימוש כאשר עוסקים בהגברים היא דציביל-מטר בריבוע (dbm^2). המעבר בין היחידות הוא על פי הנוסחה:

$$(5.1) \quad \sigma([db m^2]) = 10 \log_{10} \sigma([m^2])$$

אלמנטים נוספים המגדילים את השח"ם של כלי טיס הם: מנועים (נחים ומנסים), משטחים המקבילים לקרקע, פינות, שפות התקפה ושות זרימה, ואי רציפות מבניות כגון מדפים ומאזנות.

5.2 דרישות המזל"ט

מטרת המזל"ט היא לבצע הרוויה אלקטרוניות ע"י כך שהמזל"ט ידמה מטוס קרב בחתימת המכ"ם ולכך המטרה היא להגדיל את השח"ם של המזל"ט קטן הממדים כך שיזוהה כמטוס קרב בסזר גודל של ה- F-16, כלומר יש להגדיל את השח"ם

**Major RCS contributors.**

אייר 5.1: גורמים עיקריים להגדלת חתך מכ"ם

של המזל"ט מערכיים אופייניים של מזל"טים בגודלו $0.1m^2$ ($-10dbm^2$) לערכיים אופייניים של ממוצע קרב $100m^2$ ($-20dbm^2$) - 10 . בשל אופיו הצבאי של המזל"ט נטרכו בהגדלת השט"ם בתחום התדרים: S Band ($2GHz - 4GHz$) - מכ"מים צבאיים קרקעיים גדולים. X Band ($8GHz - 12.5GHz$) - מכ"מים צבאיים ניידים ומכ"מים נישאים על מטוסים וטילים. כמו כן על התקנים להיות פסיביים (לא הספק חיצוני משיקולי חיבור ומקום). עליהם להתאים למוגבלות הגיאומטריות של המזל"ט, להיוות בעלי משקל נמוך, פשוטים להתקנה ולהחלפה,אמניים, ובועל מחיר נמוך כך שיישמרו דרישות המחיר הכלול של המזל"ט.

5.3 סקירת התקנים פסיביים להגדלת שט"ם

5.3.1 פינוט החזרה

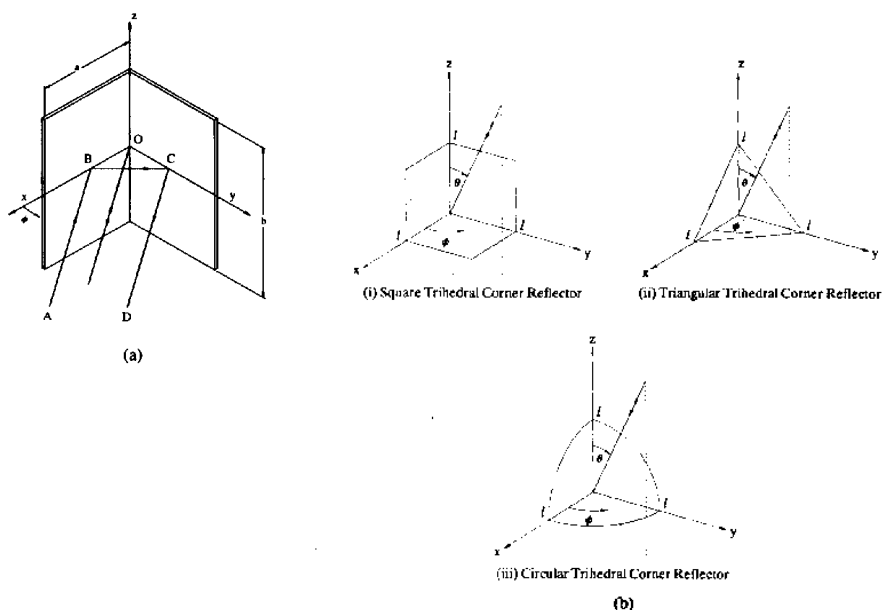


Figure 5.2: Corner Reflector types

מבנה מתכת המורכבים משני משטחים (dihedral) להחזר במישור (איפור) או (a)

שלושה משטחים להחזר במרחב (trihedral) (איור b).

יתרונות: פשוטות, אמינות, מחיר נמוך, ניתן לרכישה "ה ישיר מהמדף".
 חסרונות: תחום זווית אפקטיבית קטן מאוד, בעיות מיקום גיאומטריות במול"ט.

Table 3.1
Dihedral Corner Reflectors

Particulars	Radar Cross Section
Dihedral reflector Monostatic Broadside incidence	$\sigma \approx \frac{4\pi A_e^2}{\lambda_0^2}$ (A_e = area of projected aperture on the incident ray)
Dihedral reflector Monostatic Angular coverage $\pm 30^\circ$	$\sigma = \frac{4\pi a^2 b^2 \sin^2(\pi/4 + \phi)}{\lambda_0^2}$ (see Figure 3.1(a)) First-order PO formula. Polarization effects not accounted for.
Dihedral reflector Bistatic	$\sigma(\beta) = \sigma(0) e^{-2\nu\beta}$ β = bistatic angle ν = design parameter given by Peter's design curve [1]

Table 3.2
Comparison of Trihedral Corner Reflectors

Trihedral Corner Reflector Type	Maximum RCS	Average RCS	Angular Coverage	RCS as a Function of θ, ϕ
Square	$\sigma = 12\pi a^4 / \lambda_0^2$	$\langle \sigma \rangle = \frac{0.7a^4}{\lambda_0^2}$	25° cone about symmetry axis	(a)
Triangular	$\sigma = \frac{4\pi a^4}{\lambda_0^2}$	$\langle \sigma \rangle = \frac{0.17a^4}{\lambda_0^2}$	40° cone about symmetry axis	(b)
Circular	$\sigma = \frac{15.6a^4}{\lambda_0^2}$	$\langle \sigma \rangle = \frac{0.47a^4}{\lambda_0^2}$	32° cone about symmetry axis	—

Notes: The PO formulas are from [1].

(a) = The RCS with θ, ϕ near symmetry axis (or, $\theta \approx 54^\circ - 74^\circ$, $\phi \approx 45^\circ$):

$$\sigma(\theta, \phi) = \frac{4\pi}{\lambda_0^2} \cos^2 \theta (4 - \cot \phi)^2 a^4$$

(b) = The term σ represents the side. The RCS with θ, ϕ for angles near grazing symmetry axis:

$$\sigma(\theta, \phi) = \frac{4\pi}{\lambda_0^2} [\cos \theta + \sin \theta (\sin \phi + \cos \phi) - 2(\cos \theta + \sin \theta (\sin \phi + \cos \phi)^{-1})]^2$$

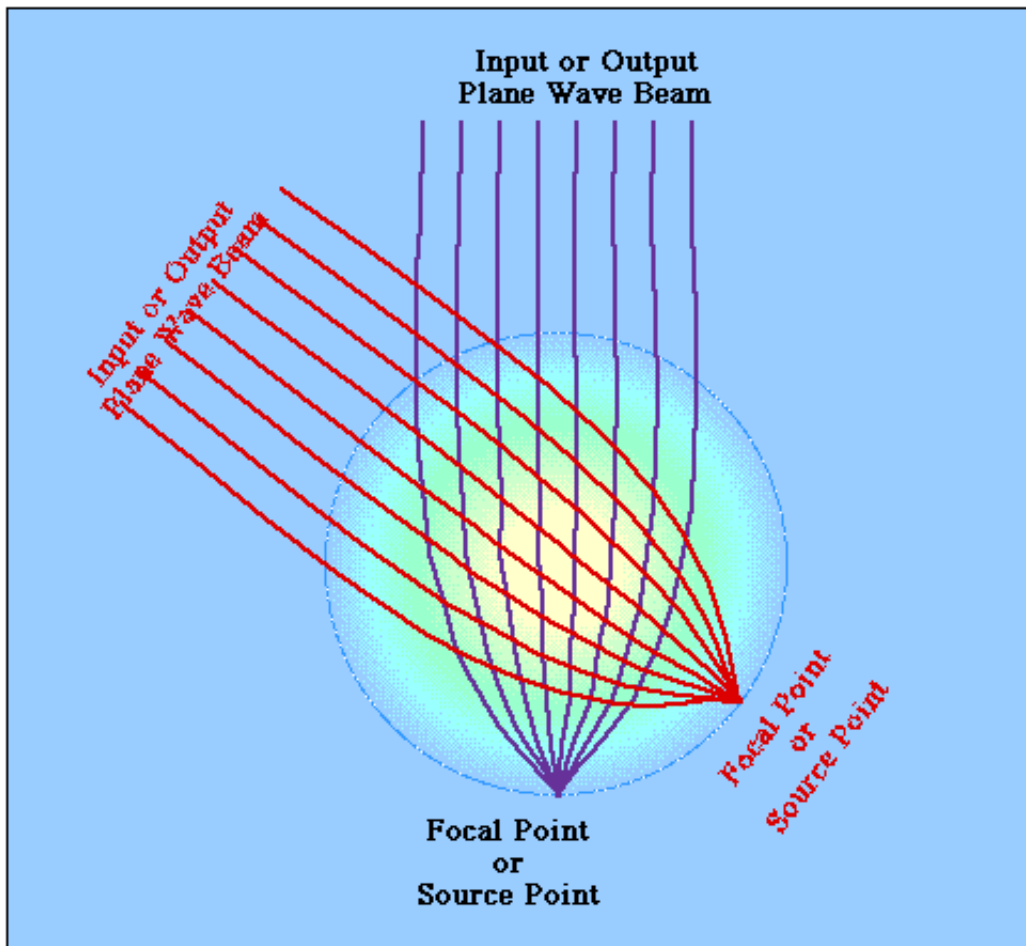
5.3.2 עדשות לונברג Luneberg Lenses

מבחןת תיאורטיות בעדשות לונברג מקדם השבירה משתנה לאורך הרדיוס בצורה רציפה מ- 2 במרכז ועד 1 במעטפת החיצונית, על פי הנוסחה:

$$n = 2 - \left(\frac{r}{l} \right)^2$$

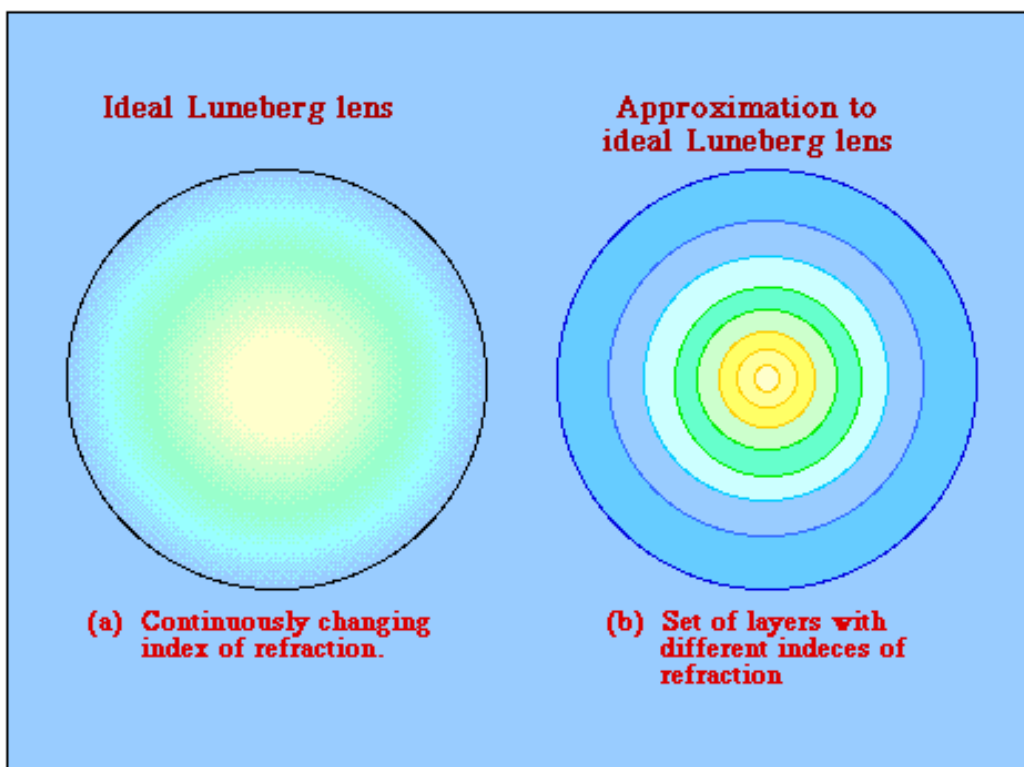
באופן זה מתקיים מוקד העדשה מול המקור, כך שהחזר הוא בכיוון המקור. החזר המקסימלי של עדשת לונברג (הגבר השח"ם המקסימלי שהוא תורמת) ניתן לחישוב על פי הנוסחה:

$$\sigma_{max} = \frac{4\pi^2 a^2}{\lambda_0^4}$$



בפועל מייצרים עדשה המורכבת ממספר קליפות בעלות מקדם שבירה משתנה, ככל שמספר השכבות גדול (וההפרש בין מקדמי השבירה של כל שכבה קטן) כך קטנים אפקטי השבירה בין שכבה לשכבה, וביצועיה של העדשה מתקרבים

לביצועים התיאורטיים.



במידה ודרוש החזק רק בחלק מהמרחב ניתן להשתמש בשתי גרסאות מעט שונות המשפרות את ביצועי העדשה. אופצייה אחת היא לייצר חצי עודה הסגורה עם משטח מתכתי מחזיר, אופצייה שנייה היא לכנות חלק מהמעטפת החיצונית האחוריית של העדשה בocos מתכנית מחזירה. על עיקרונו עדשת לנברג מבוסס פתרונות מסחריים רבים להגברת שח"ם.
 יתרונות: אמינות, תחום זווית אפקטיביות רחב יחסית, ניתן לרכיבה "ה ישיר מהמדף".
 חסרונות: מחיר גבוה יחסית.

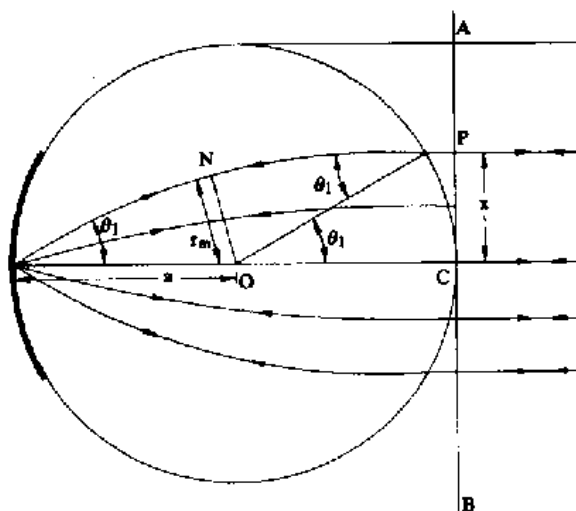


Figure 3.11 Luneberg lens with a reflector cap for RCS enhancement.

5.3.3 כרטיסים מגדליים יש"ם Retro-reflector circuits

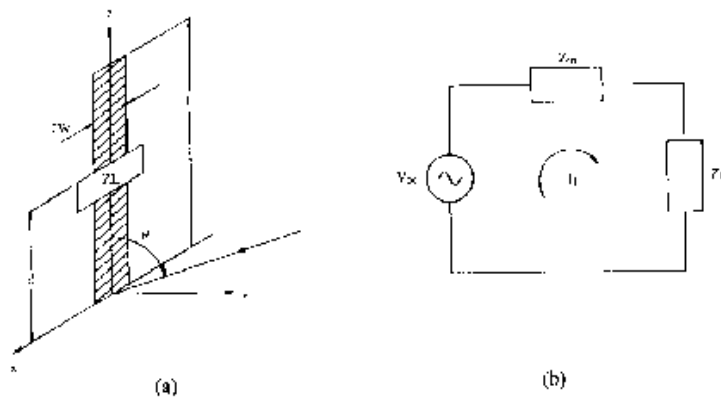


Figure 3.13 The (a) loaded strip dipole and (b) its equivalent circuit.

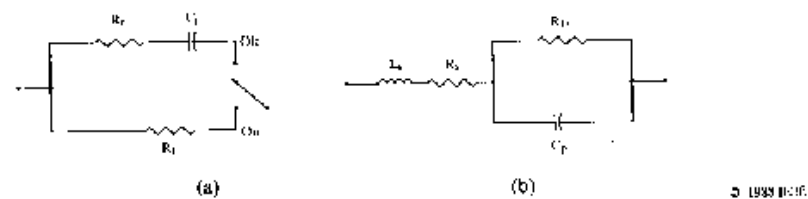
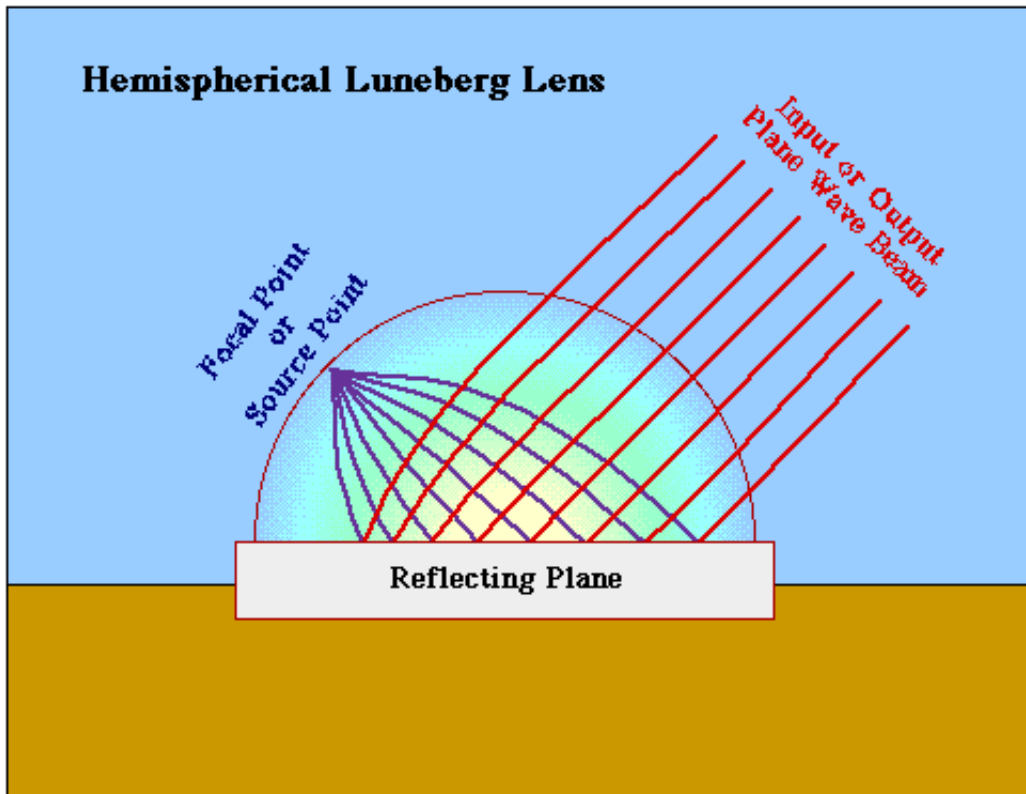


Figure 3.14 Equivalent circuits of x-band diodes: (a) beam-lead PIN, where $R_f = R_i = 7 \Omega$, $C_j = 0.03 \text{ pF}$; and (b) negative resistance diode, where $L_s = 0.25 \text{ nH}$, $R_s = 1 \Omega$, $R_D = -200 \Omega$, $C_p = 0.25 \text{ pF}$ (from [12]).



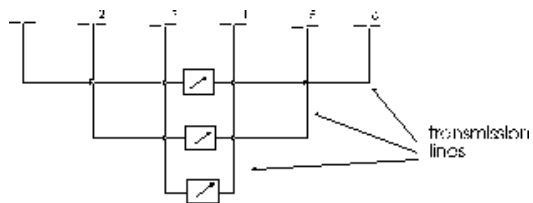
כרטיס עם רכיבים אלקטרוניים ללא מקורות מתח חיצוניים, המחזיר את הקרןינה הפוגעת בו. במידה ויש צורך בהגדלת שח"ם נקודתי ניתן לחבר את הkartisim בתמסורת, כך שקרןינה שנקלטה תוחזר במקום הנדרש, יישום זה נקרא אנטנת ואן-אטא (Van-atta antenna). הגבר השח"ם באנטנת ואן-אטא ניתן לחישוב לפי הנוסחה:

$$(5.2) \quad \sigma = \frac{\lambda^2 G(\theta, \phi)^2}{4\pi}$$

$$G(\theta, \phi) = N \cdot g(\theta, \phi)$$

Rozendaal associates Inc.	צרכן:
127mm	קוטר:
0.9072kg	משקל:
	גובה:
0.2 – 0.3m ²	2GHz – 4GHz
2 – 3m ²	8GHz – 12.5GHz
120°	زاوية כיסוי:

Table 5.1: Lens Reflector data

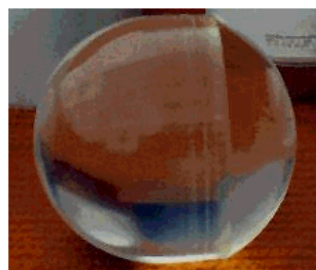


יתרונות: מחיר נמוך, אמינות, יכולת התאמה לגיאומטריה המזל"ט.
חסרונות: צריך להזמין בתכנון ייחודי, לא ניתן לרכוש "הישר מהמדף".

5.4 התקנים שנבחרו עבור ה- EWAL-UAV-2000

5.4.1 Lens Reflector

הعدשה שנבחרה היא עדשה מסחרית המבוססת על עקרון חדש לונברג, העדשה תמוקם בחלק הקידמי של המזל"ט.



מס' יחידות	מחיר ליחידה [₪]
1000	1
1000	5
600	50
534	100

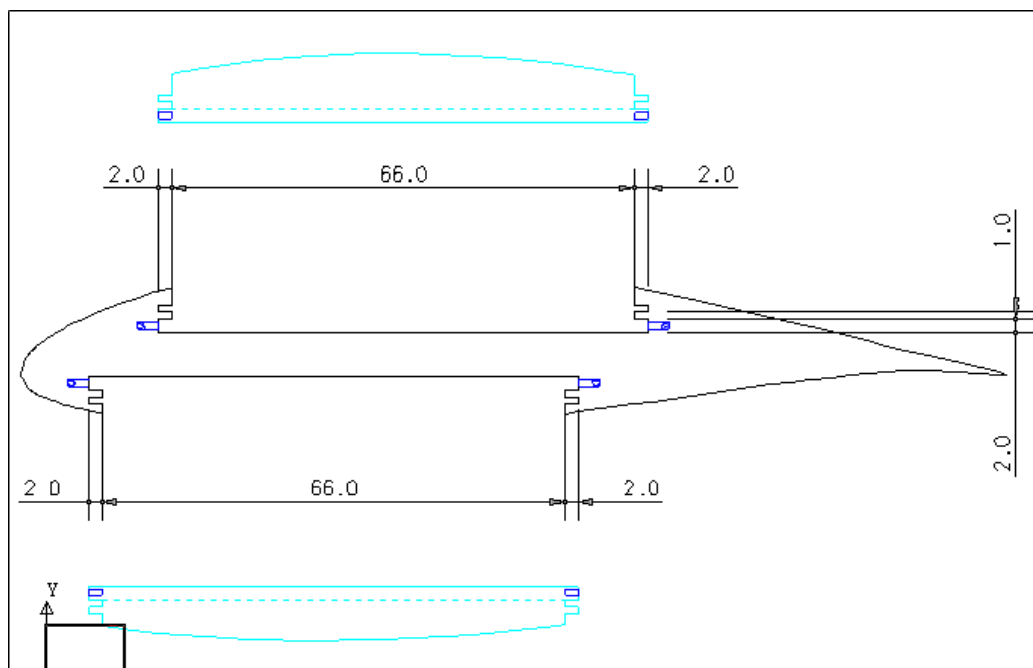
Table 5.2: Lens Reflector prices

Retro-reflector circuits 5.4.2

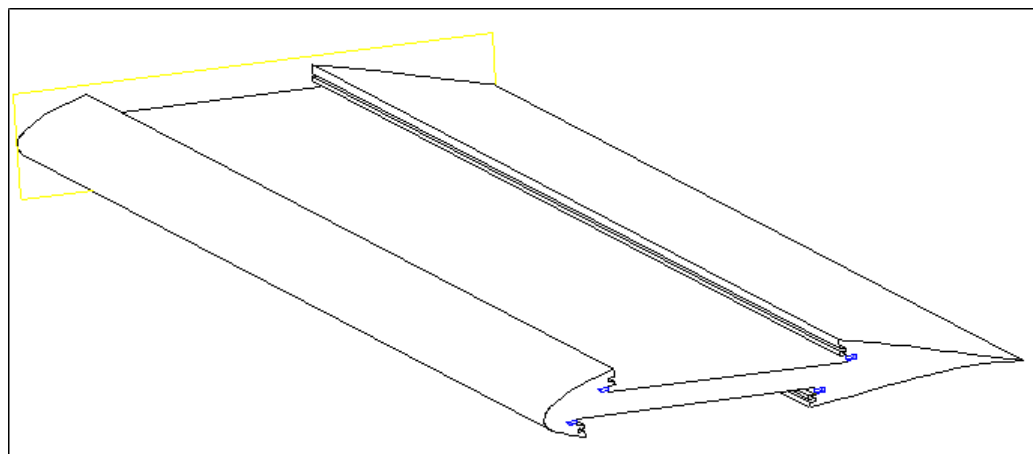
הקרטיסים יוזמו מספק חיצוני בממדים: $500mm \times 70mm \times 2mm$.
הקרטיסים ימוקמו לאורך הכנפיים בחלק העליון ובחלק התיכון של כל כנף (4 קרטיסים למול"ט) בתעלה שהוכנה עבורם ויכסו בשכבות פרספקט שקופה אל-קטרומוננטית.

התאמות הכנף להתקנות הקרטיסים:
כל כנף מורכבת מחלק בסיס העשויה אלומיניום ושני כיסויי פרספקט עליון ותחתון שכאשר הם מרכיבים יחד נשמרת גיאומטרית הפרופיל, ונוצר חלל פנימי המתאים לממדיהם הדרושים. יריעות הפרספקט מוחזקות בקצוות הכנף על ידי פינים.

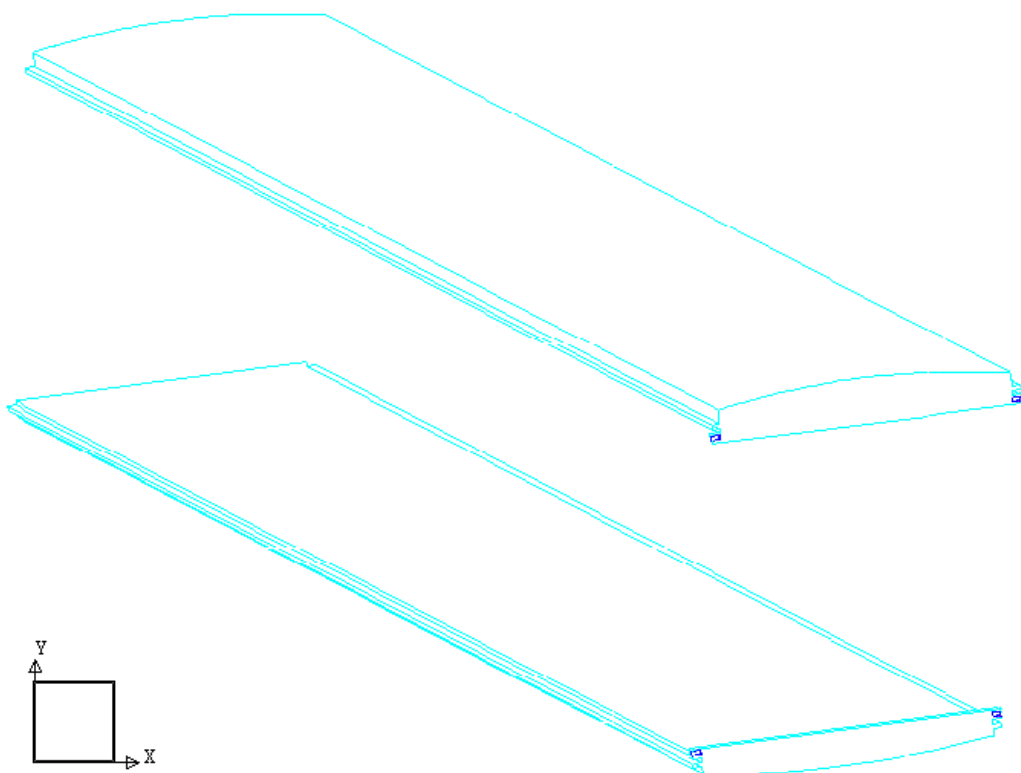
מבט צד של הכנף והכיסויים:



איומטריה של הכנף הבסיסית:



איומטריה של הכיסויים:



פרק 6

ניתוח עלויות

6.1 מבוא

פרויקט “ EWAL UAV 2000 ” הוא פרויקט למזל”ט ששימושו הוגדר סימולציה מטוס קרב / תקיפה והטיית מערכות ההגנה של אויב. למזל”ט אין יכולת חזרה, לכן הערכת עלויות של הפרויקט הינה בעלת חשיבות עליונה. ניתן לפרט את עלות הפרויקט ל- 3 חלקים עיקריים: פיתוח, ייצור ואחזקה. ניתוח התבכע בשתי גישות:

1. חישוב פרמטרי בעורף IV-DAPCA.
 2. חישוב על סמך ניסויים (בהדרכת המנחה של הפרויקט).
- להלן חישב עלות של כל אחד מהחלקים.

6.2 חישובים

פיתוח:

עלות הפיתוח כוללת עלות פיתוח הנדסי, עלות ניסויי טיסה + ייצור מזל”טי ניסוי ועלות בקרת איכות. את התרומה של כל המקדים אלה ניתן לסכם למקדם הנקרא (R&D) (Research, Development, Test and Evaluation).
חישוב המקדם נשתמש במודל IV המעודכן, אשר נבנתה ע”י Rand Corporation

$$R&D = H_E R_E + H_Q R_Q + H_M R_M + C_D + C_F + C_M$$

כאשר:

$$H_e = 4.86 W_e^{0.777} V^{0.894} Q^{0.163}$$

$$\text{עלות שעת עבודה הנדרשת: } R_E = 50\$$$

$$H_q = 0.133 H_M$$

$$\text{מספר שעות בקרת איקות המטוס: } R_q = 45\$$$

$$H_T = 5.99 W_e^{0.777} V^{0.696} Q^{0.263}$$

$$\text{עלות שעת עבודה בהכנות יצור מטוסי ניסוי: } R_T = 30\$$$

$$H_M = 7.37 W_e^{0.82} V^{0.484} Q^{0.641}$$

$$\text{עלות שעת העבודה בבנייה המטוס: } R_M = 25\$$$

$$C_D = 45.42 W_e^{0.63} V^{1.3}$$

$$\text{עלות יצור החלקים הנדרשים במהלך הפיתוח: } C_D = 1243.03 W_e^{0.325} V^{0.822} FTA^{1.21}$$

$$C_M = 11 W_e^{0.921} V^{0.621} Q^{0.799}$$

$$\text{משקל של המטוס ריק: } W_e = 61.73 lbs = 28 kg$$

$$\text{מהירות מירבית: } V = 420 kts (0.65 Mach)$$

$$\text{כמויות המטוסים המיוצרים לצורכי פיתוח: } Q = 6$$

$$\text{מספר ניסויי טיסה: } FTA = 12$$

אחרי החישוב מתתקבל:

Cost (in millions \$)	
1.34	עלות הנדסה
0.04	עלות בקרת איקות
0.214	עלות הבנות יצור מטוסי ניסוי
0.166	עלות עבודה בבנייה מטוסי ניסוי
0.953	עלות יצור החלקים הנדרשים במהלך הפיתוח
10.64	עלות ניסויי טיסה
13.353	סה"כ

בhzבת הערכים האלה לנוסחה 1 התוצאה מתקבלת היא כמעט $13.4 \cdot 10^6 \$$.
 תוצאה זו גבולה יחסית, ולכן יש צורך להשתמש בדרך אחרת לחישוב עלות המטוס. בטבלה הבאה מסומנת עלות הפיתוח אשר שוחזרה בעזרת הערצת הע-

לוט של כל שלב הפיתוח:

הוצאות פיתוח (non-recurring)	
תקציב המmmo	הוצאות כוללת (\$)
4356000	
3600000	הוצאות שעות ההנדסה
90000	הוצאות מנהליות
120000	הוצאות שירות, תקשורת, וכו'
150000	הוצאות החלקים המדרשים במהלך הפיתוח
396000	הוצאות בלתי-צפויות
250000	
100000	הוצאות מבנה והרכבה
150000	הוצאות מערכות אינטגרציה
3550000	
1100000	הוצאות בית מטוסי ניסוי (10)
300000	הוצאות שעות טיסה
450000	הוצאות המכשור הדרוש לניסויים
750000	הוצאות עבודה של טיסים, מהנדסי ניסוי, טכאים, וכו'
950000	הוצאות פיענוח, ניתוח והפקת לקחים להמשך ניסויים
830000	
200000	הוצאות בית מטוסים לניסוי מבנה (2)
250000	הוצאות בית מתקני עדר לניסוי
180000	הוצאות המכשור הדרוש לניסויים
200000	הוצאות שעות עבודה של צוות ניסוי
307800	הוצאות צוות בקרה איות המmmo
סה"כ עלות פיתוח המmmo	
9293800	

עלות מטוס בודד כפונקציה של מספר המכירות (שבתוכם עלות הפיתוח הראשונית מכוסה):

Production of Units					
#	Name	Unit Cost (\$)	Quantity	Installation & Integration	Total Cost (\$)
	Total Structure				2000
	Nose Cone				
	Wings				
	Fuselage				
	Tall Unit				
	Design				
	Painting				
UAV Systems Installation & Integration					
1	Nose Cone	800		500	1300
	Luneberg Lens		1		
	Radome				
	Van Ata Antenna System		1		
2	Avionics Bay	6500		1500	8000
	Sys40 Computer		1		
	Turn Coordinator		1		
	Roll Servo		1		
	GPS		1		
	Accumulator		1		
	Electric System		1		
3	Fuel Tank	500		200	700
	Fuel Tank		1		
	Fuel System		1		
4	Propulsion Module	6000		300	6300
	Engine SW B-45		1		
5	Wings System	120		50	170
	Folding Mechanism		1		
6	Reserve	1500			1500
	Total	20000			20000

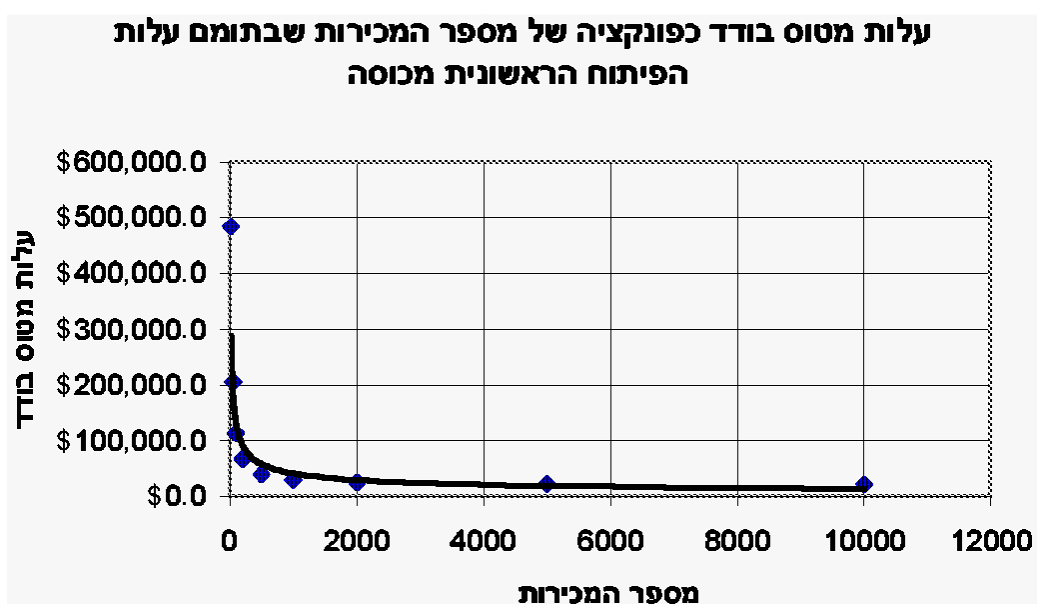
כדי לבחון מחיר מזל"ט בודד מתוך סדרת ייצור בוצע חישוב בו מחולקת עלות

פיתוח לכמות הפריטים ייצור סידרתי:

TOTAL DEVELOPMENT COST (Non Recurring)				9293800 \$
PRODUCTION COST (Recurring)				20000 \$
UNIT COST PER QUANTITY.				
	20			484690.0 \$
	50			205876.0 \$
	100			112938.0 \$
	200			66469.0 \$
	500			38587.6 \$
	1000			29293.8 \$
	2000			24646.9 \$
	5000			21858.8 \$
	10000			20929.4 \$

כפי שניתן לראות מהטבלה הנ"ל ומהגרף המצורף למטה עלות של מטוס בודד יורדת עם הגדלת מספר המכירות. ניתן להערכץ, כי המחיר האופטימלי למטוס בודד הוא \$ 25,000. במקרה זה אחרי המכירה של בערך 2000 מטוסים (או 165

סיטים של 12 מטוסים) יתחל הרווח.



מקורות: Daniel P. Raymer, An Aircraft Design: A Conceptual Approach, AIAA Education Series, Second Ed.

פרק 7

סיכום

מצב הפרויקט לאחר שני סמסטרים נגד הגדרות המפרט הטכני:

ממשק חיבור למטוס נושא (F-16)

- חיבור של 10 מזל"טים ל- F-16 ע"י TER(Triple Ejector Rack) - ניתן לחבר 22 מזל"טים ב-4 נקודות תליה
- חיבור ל-TER ע"טפסים 14 סטנדרטיים - כנ
- מרכז המכובד בהתאם לדרישות MIL STD - כנ
- מרוחכים וקוי קרע בהתאם לדרישות MIL STD - כנ

שייגור

- ממטוס נושא מגבהים נמוכים וגובהים

מערכת בקרה

- יכולת טיסה אוטונומית עם מסלול מתוכנת ובקרה עצמית לדימוי מטוס מאווי-יש - נבחרה מערכת קיימת זולה יחסית.
- תכונות המסלול תוך 30 שניות - כנ
- תהיה באוויר 30 דקות

נתוני טיסה

- גובה טיסה [ft] – 30000 – 10000
- מהירות שייגור עד 0.95 Mach

יכולת תמרון

- מהלך תמרונים מתוכנות: פניות של 30° , 45° , 60° לאורך 4-1 מיילים ימיים - כן
- זמן תמרון: 0,360,300,240,180,120,60,420 שניות - כן
- טווח מירבי של 76 מיילים ימיים ללא תמרון

חתימת מכ"ם

- הגברת חתימה אקטיבית/פסיבית להדמית מטוס קרב אמיתי - נבחרו אמצעי אקטיבי (עדשת לונברג) ואמצעי פסיבי (אנטנת ואן-אטא)

משקל מירבי

- [lb] 100 - הערכת משקל במצב נוכחי אינה חריגה בהרבה מהדרישות

תחזוקתיות

- בדיקת תקינות תוך 15 שניות

יכולת נחיתה

- אין

מחיר מטרה

- \$ 20000 ליח' ביצור סידרתי - מחיר של \$ 25000 נראה כמחיר מטרה ריאלי

פרק 8

תודות

אנו אסירים תודה לך:

דר' יובל לוי על עזרתו ותוכניות מחשב בתחום ה-CFD
דר' חיים אברמוביץ' על עזרתו בתכנון מנגנון פתיחת כנפיים מר יאיר מוש-יוסי
על עזרתו ביצירת רשת לחישובי ה-CFD בתוכנית GRIDGEN
מר שבתאי תימורז מחברת RAIDOM על עזרתו בניתות מודל אלמנטים סופיים
ותוכנת NASTRAN

פרק 9

משתתפים

מנחה: מר' דרור ארצי

בליצקי איליה
בקשי אנטולי
בר-אור דורין
ולדמן מקסים
ורוננו מיכאל
מינדליס יעקב
מנוב יבגני
עבדאלחך באסיל
פרומנוב ליוניד
קריקוון איליה
רמקוביץ' ולדייסלב
שוויחט זאב